

ΣΧΟΛΗ ΜΗΧΑΝΙΚΩΝ  
ΤΜΗΜΑ ΜΗΧΑΝΙΚΩΝ ΠΛΗΡΟΦΟΡΙΚΗΣ  
ΚΑΙ ΗΛΕΚΤΡΟΝΙΚΩΝ ΣΥΣΤΗΜΑΤΩΝ

ΠΤΥΧΙΑΚΗ  
«Αυτόματη μηχανή ψαρέματος»  
Automatic fishing mashine



Του φοιτητή  
Σπυρίδωνα Γρηγοριάδη  
Αρ.Μητρώο: 514327

Επιβλέπων  
Άγγελος Γιακουμής  
Επίκουρος Καθηγητής

Σεπτέμβριος 2023

«Automatic fishing mashine».

Κωδικός Π.Ε. 22252

Φοιτητής: Σπυρίδωνας Γρηγοριάδης

Εισηγητής: Άγγελος Γιακουμής

Ημερομηνία ανάληψης Π.Ε. 14-10-2022

Ημερομηνία περάτωσης Π.Ε. 23/01/24

*Βεβαιώνω ότι είμαι ο συγγραφέας αυτής της εργασίας και ότι κάθε βοήθεια την οποία είχα για την προετοιμασία της είναι πλήρως αναγνωρισμένη και αναφέρεται στην εργασία. Επίσης, έχω καταγράψει τις όποιες πηγές από τις οποίες έκανα χρήση δεδομένων, ιδεών, εικόνων και κειμένου, είτε αυτές αναφέρονται ακριβώς είτε παραφρασμένες. Επιπλέον, βεβαιώνω ότι αυτή η εργασία προετοιμάστηκε από εμένα προσωπικά, ειδικά ως πτυχιακή εργασία, στο Τμήμα Μηχανικών Πληροφορικής και Ηλεκτρονικών Συστημάτων του ΔΙ.ΠΑ.Ε.*

*Η παρούσα εργασία αποτελεί πνευματική ιδιοκτησία του φοιτητή Σπυρίδωνα Γρηγοριάδη που την εκπόνησε. Στο πλαίσιο της πολιτικής ανοικτής πρόσβασης, ο συγγραφέας/δημιουργός εκχωρεί στο Διεθνές Πανεπιστήμιο της Ελλάδος άδεια χρήσης του δικαιώματος αναπαραγωγής, δανεισμού, παρουσίασης στο κοινό και ψηφιακής διάχυσης της εργασίας διεθνώς, σε ηλεκτρονική μορφή και σε οποιοδήποτε μέσο, για διδακτικούς και ερευνητικούς σκοπούς, άνευ ανταλλάγματος. Η ανοικτή πρόσβαση στο πλήρες κείμενο της εργασίας, δεν σημαίνει καθ' οιονδήποτε τρόπο παραχώρηση δικαιωμάτων διανοητικής ιδιοκτησίας του συγγραφέα/δημιουργού, ούτε επιτρέπει την αναπαραγωγή, αναδημοσίευση, αντιγραφή, πώληση, εμπορική χρήση, διανομή έκδοση, μεταφόρτωση (downloading), ανάρτηση (uploading), μετάφραση, τροποποίηση με οποιονδήποτε τρόπο, τμηματικά ή περιληπτικά της εργασίας, χωρίς τη ρητή προηγούμενη έγγραφη συναίνεση του συγγραφέα/δημιουργού.*

Η έγκριση της πτυχιακής εργασίας από το Τμήμα Μηχανικών Πληροφορικής και Ηλεκτρονικών Συστημάτων του Διεθνούς Πανεπιστημίου της Ελλάδος, δεν υποδηλώνει απαραίτητως και αποδοχή των απόψεων του συγγραφέα, εκ μέρους του Τμήματος.

## Πρόλογος

Για την εκπόνηση της πτυχιακής μου εργασίας ανέλαβα την κατασκευή μιας προγραμματιζόμενης αυτόματης μηχανής ψαρέματος, για την χρήση αλιείας απο σκάφος. Η ιδέα για την αλιεία, επαγγελματική η ερασιτεχνική χόμπι και γενικώς η αγάπη για το ψάρεμα, μου οδήγησε στην αναζήτηση πληροφοριών εως και την ολοκλήρωση της δικής μου αυτόματης μηχανής αλιείας. Μέσα απο την ιστορική διαδρομή δίνονται τρόποι αλιεύματος απο την αρχαιότητα εως και σήμερα. Στο εμπόριο μετά απο έρευνα υπάρχουν κάποιες εταιρίες οι οποίες κατασκευάζουν τέτοιου είδους προγραμματιζόμενες αυτόματες μηχανές για επαγγελματική και ερασιτεχνική χρήση. Στην αλιεία ως επαγγελματική και ερασιτεχνική χρήση βασίστηκε και η δική μου εργασία.

## Περίληψη

Περιγραφή: Η εργασία αφορά την κατασκευή αυτόματης μηχανής ψαρέματος «Automatic fishing mashine».

Βασιζόμενο στην αναπτυξιακή πλακέτα STM32 NUCLEO-144 με STM32H743ZIT6U MCU. Στην κατασκευή χρησιμοποιείται ένα DC μοτέρ το οποίο είναι οδηγούμενο απο μία γέφυρα για την ρύθμιση στροφών και κατεύθυνσης, καθώς υπάρχει μια πλακέτα απομόνωσης μεταξύ του επεξεργαστή και της οδήγησεις μοτέρ. Η μηχανή αλιείας διαθέτη επίσης ένα ηλεκτρομαγνητικό φρένο το οποίο οδηγείται απο ενα mosfet δια μέσου ενος μετατροπέα step up, μια lcd οθόνη η οποία εμφανίζει σε πραγματικό χρόνο τον αισθητήρα, καθώς επίσης και ένα πληκτρολόγιο για τις ανάλογες ρυθμίσεις. Ολα τα υλικά (πλακέτες) είναι εσωτερικά τοποθετημένα σε πλαστικό στεγανό κιβώτιο ενώ μεταλική πλάκα 3mm συγκρατεί εξωτερικά τον ηλεκτρομαγνήτη και εσωτερικά το μοτέρ, καθώς η πλαστική ρόδα τοποθετείτε εξωτερικά επάνω στον άξονα του μοτέρ.

Λειτουργία: Ο χρήστης πρέπει να φορτώσει το νήμα, να ρυθμίσει τον αισθητήρα ανίχνευσης, το φρένο ,και τα μέτρα στα οποία θέλει να επιλέξει για να αλιεύση.

Εξοπλισμένο με ένα κύριο διπλό μεγάλο μπουτόν, για standby και engine start και έναν γενικό διακόπτη. Καθώς γίνει εφικτός ο ορισμός των ρυθμίσεων, ο χρήστης διευθετεί τον πλάνο στη θάλασσα και ενεργοποιεί την μηχανή με το εμφανή μπουτόν . Ο αισθητήρας θα ενεργοποιηθεί όταν ο πλάνος φθάσει στο επίπεδο ψαρέματος τον οποίο έχει επιλέξει ο χρήστης. Εάν ο αισθητήρας ανιχνεύσει σήμα μεγαλύτερο απο το σήμα που του έχει οριστεί, τότε ενεργοποιείται το φρένο, και στην συνέχεια το μοτέρ για την επιστροφή του νήματος.

## «Automatic fishing mashine»

«Spyridon Grigoriadis»

### Abstract

Description: The work concerns the construction of an automatic fishing machine.

Based on STM32 NUCLEO-144 development board with STM32H743ZIT6U MCU. In the construction, a DC motor is used which is driven by a bridge to adjust the speed and direction, as there is an isolation board between the processor and the motor drive. The fishing machine also has an electromagnetic brake which is driven by a mosfet through a step up converter, an LCD screen which displays the sensor in real time, as well as a keyboard for the corresponding settings. All the materials (plates) are placed internally in a plastic sealed box, while a 3mm metal plate holds the electromagnet externally and the motor internally, as the plastic wheel is placed externally on the motor shaft.

Operation: The user needs to load the line, set the detection sensor, the brake, and the gauges he wants to choose for fishing.

Equipped with a main double large button for standby and engine start and a general switch. As it becomes possible to define the settings, the user arranges the plan in the sea and activates the machine with the visible button. The sensor will activate when the shot reaches the fishing level selected by the user. If the sensor detects a signal greater than the signal set for it, then the brake is activated, and then the motor to return the thread.

## Ευχαριστίες

Θέλω να ευχαριστήσω την οικογένεια μου για την συμπαράσταση τους, καθώς και τον επιβλέπων επίκουρο καθηγητή κ.Γιακουμή Άγγελο για την επιστημονική και παιδαγωγική του καθοδήγηση.

## Conents

Πρόλογος .....	3
Περίληψη .....	4
Abstract .....	5
Ευχαριστίες .....	6
Κατάλογος Σχημάτων-Εικόνων .....	9
Κεφάλαιο 1ο .....	12
1.1 Εισαγωγή – Σκοπός της εργασίας .....	12
1.2 Βιβλιογραφική Ανασκόπηση .....	13
1.2.1 Η αλιεία στα παλιά χρόνια .....	13
1.2.2 Είδη Αλιείας .....	13
1.2.3 Παλιοί και νεότεροι μέθοδοι αλιείας .....	14
1.3 Δομή της εργασίας .....	17
Κεφάλαιο 2ο: Θεωρητική προσέγγιση εξαρτημάτων του συστήματος .....	18
2.1 Εισαγωγή .....	18
2.2 Σχηματική διάταξη συστήματος .....	19
2.3 Ηλεκτρικός κινητήρας DC .....	20
2.3.1 Ηλεκτρομειωτήρας στροφών .....	23
2.3.2 Τι είναι και πως λειτουργεί ο ηλεκτρομειωτήρας; .....	24
2.4 Πληκτρολόγιο 1x7 .....	25
2.5 Πλακέτα μετατροπέα DC-DC 12v σε 24v .....	26
2.5.1 Ειδη μετατροπέων ηλεκτρικής ενέργειας .....	27
2.5.2 Λειτουργία ανύψωσης της τάσης .....	29
2.6 Πλακέτα αισθητήρων .....	30
2.6.1 Αισθητήρας Hall sensor .....	31
2.6.1.1 Τι είναι οι αισθητήρες .....	32
2.6.1.2 Περιγραφή κυκλώματος tle4905l .....	33
2.7 Πλακέτα οθόνης 4x20 .....	33
2.7.1 Λειτουργία οθόνης .....	43
2.8 Σταθεροποιητής τάσης LM7805 .....	44
2.9 Πλακέτα μονάδας optocoupler .....	45
2.9.1 Optocoupler .....	47
2.9.1.1 Opto-isolator .....	47
2.9.1.2 Υπολογισμός των τιμών της αντίστασης των Optocoupler .....	49
2.9.1.3 Mosfet IRLZ44N .....	50
2.10 Εξωτερική είσοδος USB. ....	51

2.11 Μπουτόν ελέγχου - Γενικός διακόπτης.....	52
.....	52
2.11.1 Αρχή λειτουργίας .....	52
2.12 Πλαστικό κιβώτιο.....	53
.....	53
2.13 Πλαστική καρούλα .....	53
.....	53
2.14 Μεταλική βάση.....	54
2.15 Ηλεκτρομαγνητικό φρένο .....	55
2.15.1 Electromagnetic clutch.....	55
2.16 Τροφοδοσία συστήματος.....	56
2.16.1 Μπαταρία 12v / 60Ah.....	56
2.17 Πλακέτα οδήγησης dc κινητήρα.....	58
2.17.1 Χαρακτηριστικά προγράμματος οδήγησης κινητήρα BTS7960.....	58
2.18 Μικροελεγκτής.....	60
2.18.1 Εισαγωγή .....	60
Κεφάλαιο 3 <sup>ο</sup> : Προγραμματισμός μικροελεγκτή.....	62
3.1 STM32h743zit6u.....	62
3.2 Ποια η διαδικασία ανάπτυξης προγράμματος .....	66
3.3 Λειτουργία συστήματος αλιείας .....	67
3.3.1 Λήψη και καταγραφή εισόδου .....	69
Κεφάλαιο 4ο: Συμπεράσματα – Βελτιώσεις.....	74
ΒΙΒΛΙΟΓΡΑΦΙΑ.....	75
.....	78
ΠΑΡΑΡΤΗΜΑ Β.....	79

## Κατάλογος Σχημάτων-Εικόνων

Εικόνα 1.1: Ψαρεύοντας.....	14
Εικόνα 1.2: Ηλεκτρονικός μηχανισμός .....	15
Εικόνα 1.3: Ηλεκτρικός μηχανισμός καθετής .....	15
Εικόνα 1.4: Ηλεκτρονικός μηχανισμός καθετής .....	16
Εικόνα 1.5: Σπαστό καλάμι ψαρέματος.....	17
Εικόνα 2.1: Σχηματική διάταξη ηλεκτρονικού κυκλώματος.....	19
Εικόνα 2.2 Ηλεκτρικός DC κινητήρας 12v/250w/3000RPM.....	20
Εικόνα 2.3 Ηλεκτρικό σχήμα DC κινητήρα.....	22
Εικόνα 2.4 Ηλεκτρομειωτήρας στροφών NMRV030 1:20.....	23
Εικόνα 2.5 Πληκτρολόγιο 1x7.....	25
Εικόνα 2.6 Μετατροπέας 150w dc-dc 12 σε 24v.....	26
Εικόνα 2.7 Γενικό σύμβολο του ανορθωτή AC to DC .....	27
Εικόνα 2.8 Γενικό σύμβολο του ανορθωτή AD to AC.....	27
Εικόνα 2.9 Γενικό σύμβολο του ανορθωτή DC to DC.....	28
Εικόνα 2.10 Γενικό σύμβολο του ανορθωτή AC to AC.....	28
Εικόνα 2.11 Κυκλωματική δομή του μετατροπέα ανύψωσης της τάσης.....	29
Εικόνα 2.12 Ηλεκτρονικό διάγραμμα 150w dc-dc boost converter.....	29
Εικόνα 2.13 Πλακέτα αισθητήρων Hall sensor εμπρός/πίσω όψη (3D).....	30
Εικόνα 2.14 Πλακέτα αισθητήρων Hall sensor πίσω όψη (3D).....	30
Εικόνα 2.15 Διάγραμμα αγωγών Hall sensor (4 layer).....	30
Εικόνα 2.16 Ηλεκτρονικό διάγραμμα αισθητήρων.....	31
Εικόνα 2.17 Αισθητήρας TLE4905L.....	31
Εικόνα 2.18 Σχέδιο φυσικού μεγέθους σε ηλεκτρικό.....	32
Εικόνα 2.19 Διάγραμμα TLE4905L.....	32
Εικόνα 2.20 Οθόνη lcd 4x20 NHD-0420E2Z-NSW-BBW.....	33
Εικόνα 2.21 Αρχικό πρώτο μήνυμα.....	33
Εικόνα 2.22 Αρχικό δεύτερο μήνυμα.....	34

Εικόνα 2.23	Βασικές ενδείξεις οθόνης, μετά από την ρύθμιση του menu.....	34
Εικόνα 2.24	Ένδειξη ρύθμισης φρένου.....	35
Εικόνα 2.25	Ένδειξη ρύθμισης αισθητήρα.....	35
Εικόνα 2.26	Ένδειξη ρύθμισης load or unload thread.....	36
Εικόνα 2.27	Ένδειξη ρύθμισης του βάθους ψαρέματος.....	36
Εικόνα 2.28	Ένδειξη παρακαλω περιμένεται, μετά από enter, φόρτωση η εκφόρτωση νήματος.....	37
Εικόνα 2.29	Ένδειξη επιστροφής νήματος μετά από (delete).....	37
Εικόνα 2.30	Ένδειξη φόρτωσης νήματος.....	38
Εικόνα 2.31	Ένδειξη εκφόρτωσης νήματος.....	38
Εικόνα 2.32	Ένδειξη ρυθμίσεις της τιμής φρένου.....	39
Εικόνα 2.33	Ένδειξη ρυθμίσεις της τιμής φρένου.....	39
Εικόνα 2.34	Ένδειξη ρυθμίσεις της τιμής αισθητήρα.....	40
Εικόνα 2.35	Ένδειξη ρυθμίσεις της τιμής αισθητήρα.....	40
Εικόνα 2.36	Ένδειξη ρυθμίσεις της τιμής των μέτρων ψαρέματος.....	41
Εικόνα 2.37	Ένδειξη ρυθμίσεις της τιμής των μέτρων ψαρέματος.....	41
Εικόνα 2.38	Ηλεκτρονικό διαγράμμα σύνδεσης οθόνης 4bit.....	42
Εικόνα 2.39	Voltage regulator.....	44
Εικόνα 2.40	optocoupler board 3D.....	45
Εικόνα 2.41	optocoupler board κατασκευή από την <b>JLCPCB</b> .....	45
Εικόνα 2.42	Διάγραμμα αγωγών του optocoupler board (2 layer).....	46
Εικόνα 2.43	Ηλεκτρονικό διάγραμμα πλακέτας optocoupler (Altium Designer) .....	47
Εικόνα 2.44	Γαλβανική απομόνωση.....	48
Εικόνα 2.45	Optocoupler PC817.....	48
Εικόνα 2.46	Χαρακτηριστικά Mosfet IRLZ44N.....	50
Εικόνα 2.47	Εξωτερική είσοδος USB.....	51
Εικόνα 2.48	Γενικώς διακόπτης – Διπλό μπουτόν.....	52
Εικόνα 2.49	Πλαστικό κιβώτιο.....	53
Εικόνα 2.50	Διαμόρφωση καρούλας.....	53
Εικόνα 2.51	Μεταλλική βάση.....	54
Εικόνα 2.52	Ηλεκτρομαγνητικό φρένο.....	55
Εικόνα 2.53	Σχήμα μπαταρία αυτοκινήτου.....	56
Εικόνα 2.54	Πλακέτα οδήγησεις κινητήρα BTS7960.....	58

Εικόνα 2.55 Διαμόρφωση πλάτους παλμού (PWM).....	59
Εικόνα 2.56 Βασική δομή ενός μικροελεγκτή.....	61
Εικόνα 3.1 Πλακέτα Nucleo- STM32H743zi2.....	62
Εικόνα 3.2 Συνδέσεις καλωδίων με επεξεργαστή.....	63
Εικόνα 3.3 Συνδέσεις καλωδίων με επεξεργαστή.....	63
Εικόνα 3.4 Ολική φωτογραφία κατασκευής.....	64
Εικόνα 3.5 Κονέκτορ C11 Nucleo- STM32H743zi2.....	65
Εικόνα 3.6 Κονέκτορ C12 Nucleo- STM32H743zi2.....	65
Εικόνα 3.7 Διαδικασία ανάπτυξης προγράμματος.....	66
Εικόνα 3.8 Ενεργοποίηση HSE.....	67
Εικόνα 3.9 Επιλογή ακίδας MCO για την πηγή ρολογιού.....	68
Εικόνα 3.10 Χρονισμός συστήματος .....	68
Εικόνα 3.11 Σχηματικό διαγράμμα καταγραφής παλμού.....	69
Εικόνα 3.12 Λήψη ακμών σε ανερχόμενο μέτωπο.....	70
Εικόνα 3.13 Προγραμματισμός χρήστη.....	70
Εικόνα 3.14 Ρύθμιση TIM2 στο STM32CubeIDE.....	71
Εικόνα 3.15 Εμφάνιση λήψης παλμού από τον παλμογράφο.....	71
Εικόνα 3.16 Εμφάνιση λήψης παλμού από τον παλμογράφο.....	72
Εικόνα 3.17 Εμφάνιση λήψης παλμού από τον παλμογράφο.....	72
Εικόνα 3.18 Λειτουργία του κώδικα λήψης παλμού.....	73

## Κεφάλαιο 1ο:

### 1.1 Εισαγωγή – Σκοπός της εργασίας

Ο κύριος στόχος αυτής της εργασίας είναι η κατασκευή ενός αυτόματου συστήματος αλιείας με αισθητήρες που υλοποιείται με STM32H743ZIT6U MCU έχοντας επικοινωνία πραγματικού χρόνου.

Συγκεκριμένα, οι επιμέρους στόχοι της εργασίας είναι:

Ο χρήστης να μην χρειάζεται να έχει την συνεχή επαφή της αίσθησης του νήματος προς το αλιευμα.

Ο χρήστης να παρακολουθεί την αλιεία προγραμματίζοντας την μηχανή , καθώς η χρήση ενός τέτοιου συστήματος καθιστάτε επαγγελματική.

Ποιο συγκεκριμένα η κατασκευή ενός τέτοιου μηχανήματος έχει σαν στόχο την ημιεπαγγελματική , και επαγγελματική χρήση.

Έτσι, στόχος του κάθε ψαρά με βάρκα είναι να μπορεί να αλιεύσει σε μεγαλύτερο βάθος, καθώς εκεί βρίσκονται και τα μεγαλύτερα ψάρια.

Η χρήση χειροκίνητου μηχανισμού όμως πρακτικά θεωρείται πολύ κουραστική, όχι μόνο για τους απλούς ερασιτέχνες αλλά και για τους ημιεπαγγελματίες και επαγγελματίες ψαράδες, διότι απαιτεί αρκετή δύναμη μεν, για να ελέγξεις την δύναμη ενός μεγάλου ψαριού, ιδίως από μεγάλο βάθος, αφετέρου, ο χρόνος ο οποίος θα χρειαστεί για να ανεβάσει ο ψαράς το ψάρι από τον βυθό, θα είναι αρκετά μεγάλος, έτσι λοιπόν όπως έχω αναφέρει και ποιο πάνω η εργασία μου στοχεύει στην επαγγελματική χρήση αυτού του μηχανήματος .

## 1.2 Βιβλιογραφική Ανασκόπηση

Προτού αναλυθεί ο μηχανισμός ψαρέματος, θα αναφερθούμε στην ιστορική αναδρομή της αλιείας, και σε παρόμοια συστήματα ερασιτεχνικά και επαγγελματικά που προτείνονται στην βιβλιογραφία και έχουν υλοποιηθεί.

### 1.2.1 Η αλιεία στα παλιά χρόνια.

Η αλιεία, όπως και η γεωργία είναι μια μορφή πρωτογενούς παραγωγής.

Ιστορικά, τα θαλάσσια μαλάκια ήταν μεταξύ των πρώτων ειδών διατροφής του ανθρώπου και ιδιαίτερα οι αχηβάδες, τα μύδια και τα στρείδια. Αυτό αποδείχθηκε από τον εντοπισμό σε πολλές περιοχές σε ολόκληρο τον κόσμο.

Ο προϊστορικός άνθρωπος, όταν ψάρευε, δεν ήξερε ακόμη να χρησιμοποιεί, ούτε το δίχτυ ούτε και το αγκίστρι, άλλωστε και τα δυο αυτά δεν είχαν ακόμη εφευρεθεί. Τα ψάρια τα έπιανε, είτε με το χέρι είτε χρησιμοποιούσε ένα μυτερό ξύλο για να τα καρφώνει. Ο τρόπος αυτός χρησιμοποιείται ακόμη από πολλούς πρωτόγονους λαούς και σήμερα, ενώ τον χρησιμοποιούν και οι δικοί μας ψαράδες για τα χταπόδια κλπ. (το καμάκι).

Αργότερα, άρχισε να χρησιμοποιεί και το βέλος, για να χτυπάει τα ψάρια που βρίσκονται στα ανάβαθα νερά. Τον τρόπο αυτό του χρησιμοποιούν ακόμη πρωτόγονες φυλές.

Στη νεολιθική περίοδο κάνουν την εμφάνισή τους τα πρώτα αγκίστρια από κόκαλο ή ξύλο με τη μορφή περιπίου που τα ξέρουμε και σήμερα. Στην εποχή του σίδηρου χρησιμοποιούνται πλέον αγκίστρια από σίδηρο, που δε διέφεραν σχεδόν καθόλου από τα σημερινά. Το ψάρεμα με το καλάμι πρέπει να εμφανίστηκε πολύ αργότερα και σε περιοχές που είχαν βράχους στις ακτές.[1]

### 1.2.2 Είδη Αλιείας

Η Αλιεία βασικά διακρίνεται σε θαλάσσια και εσωτερικών υδάτων (λιμνών, ποταμών).

Η Θαλάσσια αλιεία τυγχάνει πολλών διακρίσεων όπως:

- Ατομική αλιεία (μικρής έκτασης χειρωνακτική) και Μεγάλη αλιεία ή βιομηχανική αλιεία, (με χρήση μηχανοκινήτων σκαφών για αλιεία μεγάλων ποσοτήτων ψαριών).
- Παράκτια αλιεία (inshore fishery) και Αλιεία βαθέων υδάτων ή Αλιεία ανοικτής θάλασσας ή Ωκεάνια αλιεία ή Υπερπόντια αλιεία (offshore fishery).
- Αλιεία επιφανείας (αφρόψαρων όπως τόνοι, παλαμίδες, ρέγγες, κολιοί, σαρδέλες κ.ά.) και Αλιεία βυθού (π.χ. για γλώσσες, μπακαλιάρους, μπαρμπούνια κ.ά.).
- Αλιεία χειρωνακτική και σε Αλιεία μηχανοκίνητη. [1]



Εικόνα 1.1 Ψαρεύοντας[1]

### 1.2.3 Παλιοί και νεότεροι μέθοδοι αλιείας

α) *Η αλιεία με ηλεκτρισμό.* Στήνονται, σ' ορισμένα σημεία, δίχτυα ή φράχτες. Από την αντίθετη μεριά, με αδιάκοπο ή εναλλασσόμενο ρεύμα, τα ψάρια αναγκάζονται να πάνε προς τα δίχτυα ή τα φράγματα και εκεί πιάνονται από τους ψαράδες.

β) *Ψάρεμα με τράτα.* Μικρό αλιευτικό πλοίο, συνήθως πλατύ και μεγάλης αντοχής, εφοδιασμένο με μεγάλο σάκο. Το ψάρεμα με τράτα γίνεται με μια μεγάλη συρόμενη σαγήνη (γρίπο) μακριά από την ακτή. Σαρώνει το βυθό και μαζεύει στο σάκο ότι βρίσκει.

γ) *Με δίχτυα.* Απλούστερος και συνηθέστερος τρόπος είναι η αλιεία με τα *δίχτυα*. Ανάλογα με το ψάρι που επιδιώκει να πιάσει ο ψαράς, είναι κατασκευασμένο και το δίχτυ. Αν πρόκειται, για μικρά ψάρια (σαρδέλες, μπαρμπούνια, γαρίδες κ.ά.), το δίχτυ είναι κατασκευασμένο από ψιλό νήμα κι έχει μικρές τρύπες. Αν πρόκειται για μεγάλα ψάρια, το δίχτυ είναι χοντρό και γερό και τ' ανοίγματα μεγάλα. Πάνω στο δίχτυ είναι δεμένοι φελλοί και βαρίδια. Τα δίχτυα διακρίνονται σε δίχτυα βυθού και σε δίχτυα επιφάνειας.

δ) *Ψάρεμα με γρι\_γρι.* Όνομα αλιευτικού συγκροτήματος, το οποίο αποτελείται από ένα καΐκι που σέρνει από πίσω του 5-6 βάρκες· αυτές φέρνουν στο πίσω μέρος από μια μεγάλη λάμπα η οποία ανάβει με υγραέριο ή ασετυλίνη και δίνει πολύ δυνατό φως με το οποίο προσελκύονται τα ψάρια. Το ψάρεμα γίνεται με δίχτυα και κυρίως τη νύχτα.

ε) *Η αλιεία με αγκίστρι και πετονιά.* Είναι η ατομική αλιεία, συνήθως ερασιτεχνών ψαράδων, που δε χρησιμοποιούν βάρκες ή άλλα μέσα για πιο συστηματικό ψάρεμα.

ζ) *Υποβρύχια αλιεία.* Στην ανάπτυξη της υποβρύχιας αλιείας οδήγησε το επιστημονικό ενδιαφέρον για την εξερεύνηση του βυθού των θαλασσών. Το ψαροτούφεκο, που χρησιμοποιείται στην υποβρύχια αλιεία, κατασκευάζεται από ένα είδος αλουμινίου για να είναι ελαφρύ. Μ' αυτό, και χρησιμοποιώντας βέλη, σκοτώνονται τα ψάρια ή τα άλλα θαλάσσια ζώα. Τα εξαρτήματα του δύτε είναι: στολή από ελαστικό που δεν τη διαπερνάει το νερό, προσωπίδα, ζώνη, μαχαίρι, βατραχοπέδιλα, μετρητής βάθους, μετρητής πίεσης, ρολόι και αναπνευστική συσκευή με πιεσμένο αέρα. Τέτοιοι αλιείς είναι οι σφουγγαράδες και οι αλιείς μαργαριταριών[1].

η) *Η αλιεία απο βάρκα*. Εξοπλισμένοι οι αλιείς με διάφορων τύπων μηχανισμών, καλάμια, καθώς και ηλεκτρικά συστήματα για ημιεπαγγελματική ή επαγγελματική χρήση.



Εικόνα 1.2 Ηλεκτρονικός μηχανισμός [2].



Εικόνα 1.3 Ηλεκτρικός μηχανισμός καθετής [3].



Εικόνα 1.4 Ηλεκτρονικός μηχανισμός καθετής[4].



Εικόνα 1.5 Σπαστό καλάμι ψαρέματος[5].

### 1.3 Δομή της εργασίας

Στο κεφάλαιο πρώτο παρουσιάζεται μια εισαγωγή της εργασίας καθώς και οι στόχοι της, επίσης αναφέρεται βιβλιογραφική ανασκόπηση στην αλιεία και σε παρόμοια προγραμματιζόμενα ηλεκτρονικά συστήματα ψαρέματος.

Στο κεφάλαιο δεύτερο περιγράφεται η θεωρητική προσέγγιση των εξαρτημάτων καθώς και η ηλεκτρονική διάταξη του συστήματος.

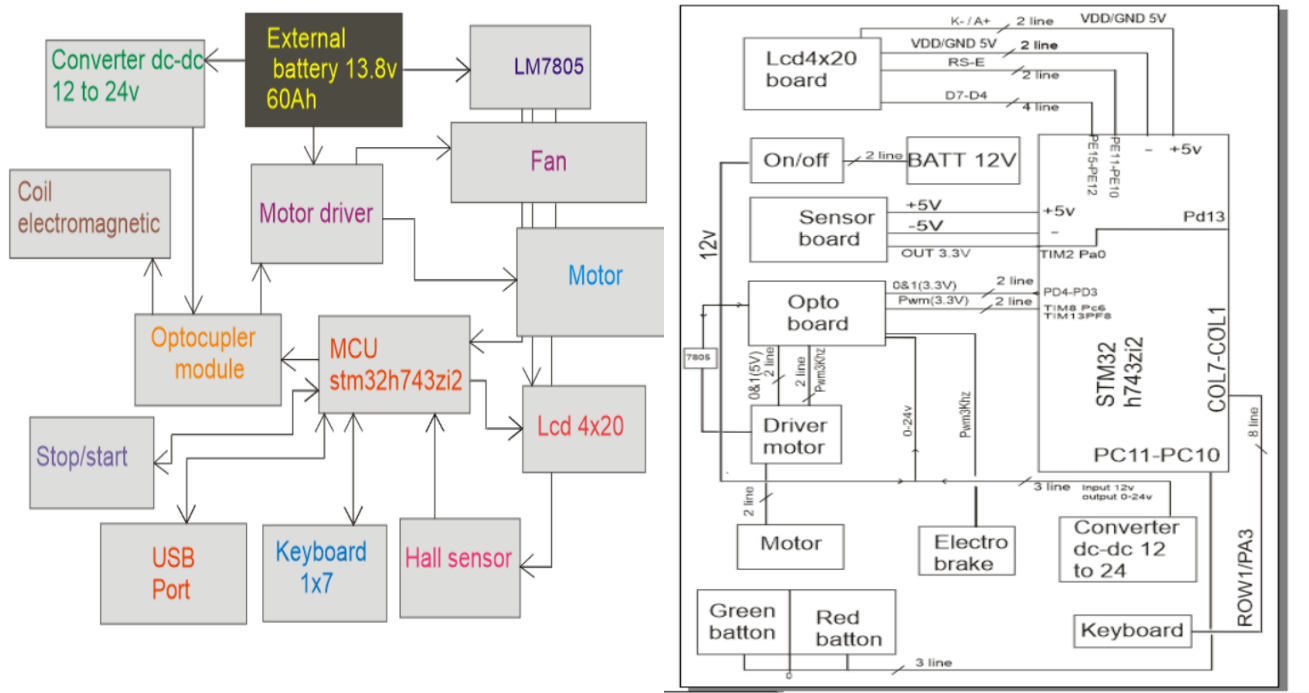
## Κεφάλαιο 2ο: Θεωρητική προσέγγιση εξαρτημάτων του συστήματος

### 2.1 Εισαγωγή

Το σύστημα αυτόματου μηχανισμού που υλοποιήθηκε, αποτελείται από τα εξής υλικά:

- 1) Ηλεκτρικός κινητήρας 12v/ DC 250W.
- 2) Μειωτήρας στροφών.
- 3) Πληκτρολόγιο 1x7.
- 4) Πλακέτα μετατροπέα DC-DC 12v σε 24v.
- 5) Πλακέτα αισθητήρων.
- 6) Πλακέτα οθόνης 4x20.
- 7) Σταθεροποιητής τάσης.
- 8) Πλακέτα μονάδας optocoupler.
- 9) Βοηθητική εξωτερική είσοδος USB.
- 10) Ένα διπλό μπουτόν.
- 11) Ενας κύριος διακόπτης.
- 12) Πλαστικό στεγανό κιβώτιο.
- 13) Πλαστική καρούλα.
- 14) Μεταλλική πλάκα 5mm.
- 15) Ηλεκτρομαγνητικό φρένο.
- 16) Μπαταρία 12v / 60Ah.
- 17) Πλακέτα οδήγησεις κινητήρα.
- 18) Πλακέτα μικροελεγκτή.

## 2.2 Σχηματική διάταξη συστήματος



Εικόνα 2.1 Σχηματική διάταξη του ηλεκτρονικού συστήματος & διασύνδεση των επιμέρους μονάδων

### 2.3 Ηλεκτρικός κινητήρας DC



Εικόνα 2.2 Ηλεκτρικός DC κινητήρας 12v/250w/3000RPM. [\[6\]](#)

Οι κινητήρες αυτής της κατηγορίας τροφοδοτούνται από κάποια πηγή συνεχούς τάσης. Από κατασκευαστικής απόψεως, δεν παρουσιάζουν καμία διαφορά σε σχέση με τις γεννήτριες ΣΡ. Βασικό πλεονέκτημα τους αποτελεί η ευκολία ελέγχου της ροπής και της ταχύτητάς τους σε ένα μεγάλο εύρος τιμών.

Ένα μέτρο σύγκρισης μεταξύ διαφορετικών κινητήρων ΣΡ είναι η **διακύμανση ταχύτητας**, η οποία ορίζεται από τη σχέση

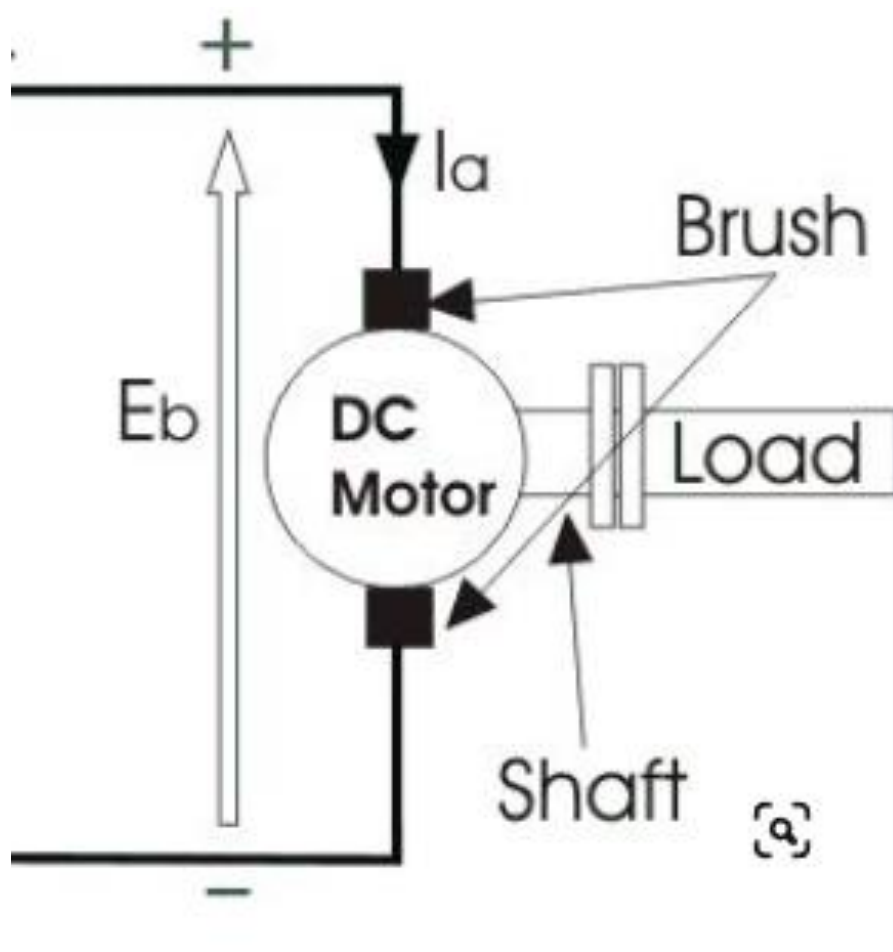
$$SR = \frac{\omega_{nl} - \omega_{fl}}{\omega_{fl}} 100\%$$

με τους δείκτες  $nl$  και  $fl$  να υποδεικνύουν, αντίστοιχα λειτουργία υπό μηδενικό και υπο πλήρες φορτίο. Θετική τιμή της  $SR$  υποδεικνύει μείωση της ταχύτητας του κινητήρα κατά την αύξηση του φορτίου, ενώ αρνητική τιμή της  $SR$  υποδεικνύει αύξηση της ταχύτητας κατά την αύξηση του φορτίου.[7]

Το μέγεθος αυτό εκφράζει προφανώς την ικανότητα ενός κινητήρα να διατηρεί την ταχύτητά του σταθερή, όταν μεταβάλεται το εφαρμοζόμενο φορτίο ( μικρότερη απόλυτη τιμή της  $SR$  υποδουλώνει μεγαλύτερη σταθερότητα ).

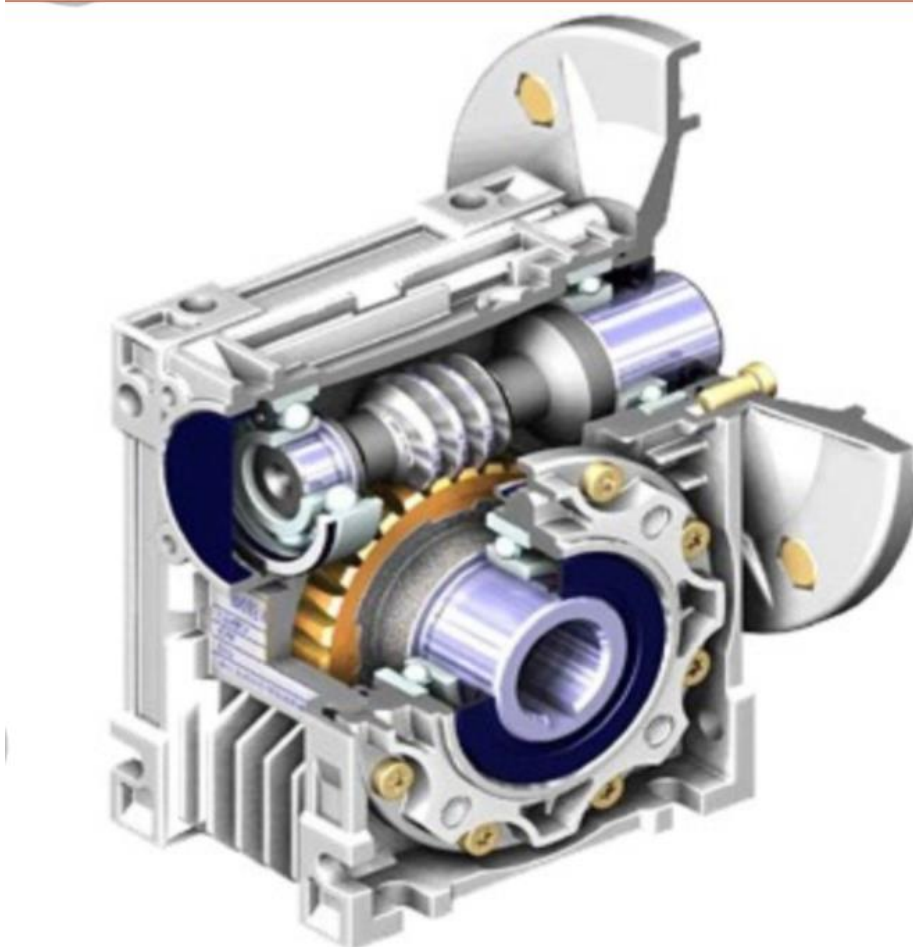
Όπως είναι γνωστό, ένας ηλεκτρικός κινητήρας παρέχει μηχανική ισχύ σε μια μηχανή η οποία αποτελεί το “φορτίο” του.

Όταν ο κινητήρας περιστρέφεται χωρίς να υπάρχει κάποιο φορτίο συνδεδεμένο, τότε η λειτουργία του χαρακτηρίζεται ως εν “κενό”[\[7\]](#)



Εικόνα 2.3 Ηλεκτρικό σχήμα DC κινητήρα [8].

### 2.3.1 Ηλεκτρομειωτήρας στροφών



Εικόνα 2.4 Ηλεκτρομειωτήρας στροφών NMRV030 1:20 [\[9\]](#).

Η Μηχανολογία αποτελείται από διάφορους τομείς μελέτης, με πιο αξιοσημείωτο εκείνον της μετάδοσης κίνησης. Η ιδιαίτερη σημασία της μπορεί να εντοπιστεί σε πολλά **συστήματα μετάδοσης κίνησης**, από την πιο απλή μορφή, όπως το σύστημα αλυσοκίνησης στα ποδήλατα, μέχρι την πιο περίπλοκη, όπως αυτή στα κιβώτια ταχυτήτων για τα αυτοκίνητα.

Με τη χρήση τους, μπορούν να συνδέσουν την πηγή κινητικής ενέργειας με το σύστημα παραγωγής ωφέλιμου έργου, να μεταφέρουν τη στρεπτική ροπή ενός κινητήρα με τρόπο ώστε να καλύπτονται οι λειτουργικές ανάγκες της μηχανοκατασκευής, ενώ μπορούν να διατηρήσουν ή και να μετατρέψουν την ομαλή περιστροφική κίνηση σε άλλες μορφές κίνησης, όπως πχ. σε ευθύγραμμη, ευθύγραμμη παλινδρομική και περιστροφική. Για την επίτευξη όμως μιας σταθερής και ελεγχόμενης κίνησης σε μια κατασκευή, γίνεται χρήση του **ηλεκτρομειωτήρα**.[\[10\]](#)

### 2.3.2 Τι είναι και πως λειτουργεί ο ηλεκτρομειωτήρας;

Ο **ηλεκτρομειωτήρας** αποτελεί ένα μηχάνημα, που συνδυάζει τον ηλεκτροκινητήρα με τον μειωτήρα στροφών. Χάρη στα χαρακτηριστικά που διαθέτει, μπορεί να μειώσει τον αριθμό των εκάστοτε στροφών που παρέχει ο ηλεκτροκινητήρας ώστε να ελέγχει την ταχύτητα και τη μετάδοση της κίνησης. Χρησιμοποιείται στο **βιομηχανικό αυτοματισμό**, ιδιαίτερα σε εγκαταστάσεις και μηχανήματα, όπου είναι απαραίτητη η διαρκής μεταφορά της απαραίτητης ροπής ώστε να επιτυγχάνεται η βέλτιστη λειτουργία τους.

Ο **μειωτήρας στροφών** είναι ένας μηχανισμός μετάδοσης κίνησης μέσω ζευγών οδοντωτών τροχών (βαθμίδες μείωσης). Αυτές οι βαθμίδες μπορούν να αποτελούνται από συνδυασμό μετωπικό οδοντωτών τροχών, με ελικοειδείς οδοντωτούς τροχούς και κωνικούς οδοντωτούς τροχούς. Με τη λειτουργία τους εντός ειδικού διαμορφωμένου κιβωτίου μέσα σε λουτρό λιπαντικού, επιτυγχάνεται η ομαλή μεταφορά της ισχύος του ηλεκτροκινητήρα καθώς και η μεταφορά της επιτυγχόμενης ροπής ανάλογα με τη σχέση μείωσης του μειωτήρα [\[10\]](#).

## 2.4 Πληκτρολόγιο 1x7



Εικόνα 2.5 Πληκτρολόγιο 1x7

Menu: Επιλογή ρυθμίσεων

^ : Επιλογή up

v : Επιλογή down

< : Επιλογή left

> : Επιλογή right

Enter : Επιλογή εισαγωγής

Del : Επιλογή τέλους ψαρέματος

Το **πληκτρολόγιο** είναι μία συσκευή εισόδου ενός ηλεκτρονικού υπολογιστή. Η βασική λειτουργία για την οποία χρησιμοποιείται το πληκτρολόγιο είναι η εισαγωγή χαρακτήρων ή κειμένου στον υπολογιστή ή τον σταθμό εργασίας από ένα χρήστη πατώντας τα πλήκτρα του με τα δάχτυλά του ή κάποιο άλλο μέρος του σώματός του. Τα πιο συνηθισμένα πληκτρολόγια προορίζονται για χρήση με τα δάχτυλα. Πέρα από τα πλήκτρα που αντιστοιχούν στα γράμματα του αλφαβήτου, τους τόνους ή πνεύματα, τα σημεία στίξης και άλλους χαρακτήρες, περιλαμβάνει αρκετά πλήκτρα που διευκολύνουν τη χρήση του λειτουργικού συστήματος και των διαφόρων προγραμμάτων του υπολογιστή καθώς και την «πλοήγηση» ανάμεσά τους ή ανάμεσα στις διαφορετικές τους λειτουργίες/χρήσεις [\[11\]](#).

## 2.5 Πλακέτα μετατροπέα DC-DC 12v σε 24v.



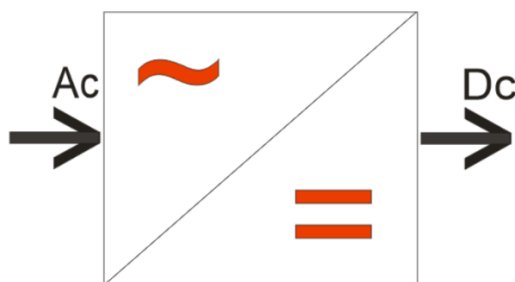
Εικόνα 2.6 Μετατροπέας 150w dc-dc 12 σε 24v [\[12\]](#)

## 2.5.1 Είδη μετατροπών ηλεκτρικής ενέργειας

Οι μετατροπείς ηλεκτρικής ενέργειας (ισχύος) διακρίνονται σε τέσσερις κύριες κατηγορίες, ανάλογα με τη μορφή της ισχύος εισόδου και εξόδου.

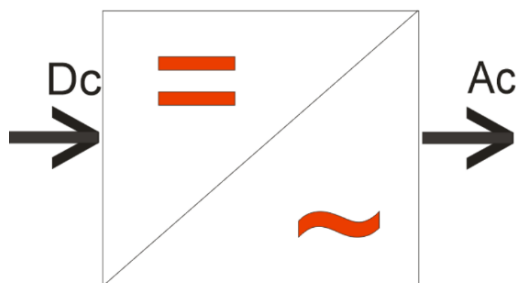
Αυτές είναι:

**α) Μετατροπείς *ac-dc* ή ανορθωτές (*Rectifiers*).** Ανορθωτές ονομάζονται οι διατάξεις ισχύος, οι οποίες μετατρέπουν το εναλλασσόμενο ρεύμα σε συνεχές. Ανάλογα με τη μορφή της εναλλασσόμενης εισόδου, οι ανορθωτές διακρίνονται σε μονοφασικούς και πολυφασικούς(διφασικούς, τριφασικούς, εξαφασικούς). Ακόμη, διακρίνονται σε ελεγχόμενους και σε μη ελεγχόμενους, ανάλογα με το αν η τάση εξόδου είναι μεταβαλλόμενη είτε σταθερή.



Εικόνα 2.7 Γενικό σύμβολο του ανορθωτή AC to DC

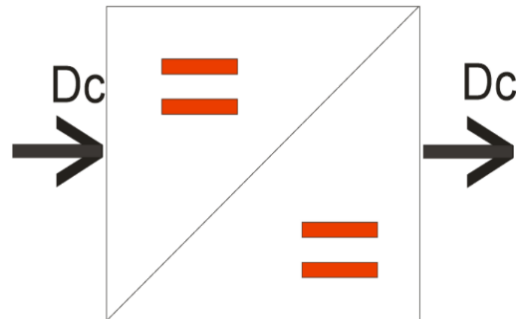
**β) Μετατροπείς *ac- Dc* ή Αντιστροφείς (*Inverters*).** Οι αντιστροφείς μετατρέπουν την ηλεκτρική ενέργεια συνεχούς μορφής σε εναλλασσόμενη. Η λειτουργία τους είναι δηλαδή αντίθετη από εκείνη των ανορθωτών. Η έξοδος των αντιστροφέων είναι μονοφασική είτε πολυφασική(συνήθως τριφασική). Επίσης, η συχνότητα και το πλάτος της τάσης ή του ρεύματος είναι ελεγχόμενα.



Εικόνα 2.8 Γενικό σύμβολο του αντιστροφέα DC to AC

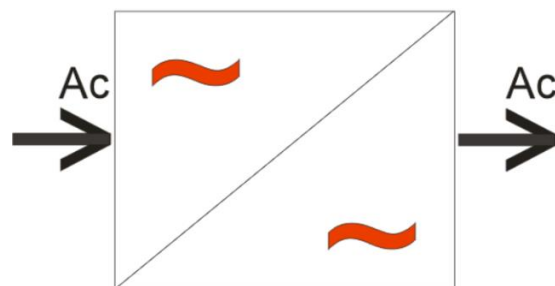
**γ) Μετατροπείς συνεχούς ρεύματος (*dc-dc converters, choppers*).** Οι μετατροπείς συνεχούς ρεύματος μετατρέπουν την συνεχή τάση με ορισμένο πλάτος

και πολικότητα. Διακρίνονται σε μετατροπείς υποβιβασμού (*step down*) και ανύψωσης (*step-up*) της τάσης, ανάλογα με το αν η τάση εξόδου είναι μικρότερη ή μεγαλύτερη της τάσης εισόδου. Ακόμη, διακρίνονται σε μετατροπείς με απομόνωση και χωρίς απομόνωση της εξόδου από την είσοδο τους.



Εικόνα 2.9 Γενικό σύμβολο μετατροπέα συνεχούς ρεύματος DC to DC

**δ) Μετατροπείς εναλλασσόμενου ρεύματος ή κυκλωμετατροπείς (*Cycloconverters*).** Οι κυκλωμετατροπείς μετατρέπουν απευθείας, την εναλλασσόμενη τάση με ρυθμιζόμενο πλάτος και συχνότητα. Ο κυκλωμετατροπέας ονομάζεται υποβιβασμού συχνότητας (*step-down*) όταν η συχνότητα εξόδου είναι μικρότερη της συχνότητας εισόδου. Διαφορετικά χαρακτηρίζεται ως ανυψωτής (*step-up*). Μια ειδική κατηγορία των μετατροπέων εναλλασσόμενου ρεύματος είναι οι ρυθμιστές εναλλασσόμενης τάσης (*ac voltage controllers*). Οι ρυθμιστές εναλλασσόμενης τάσης παρέχουν στην έξοδό τους μια τάση μεταβαλλόμενου πλάτους, η συχνότητα της οποίας είναι σταθερή και ίση με τη συχνότητα της *ac* πηγής εισόδου. [Βιβλίο θεωρίας Ηλεκτρονικά ισχύος Ιορδάνης Κιοσκερίδης σελ.28-30] [13]



Εικόνα 2.10 Γενικό σύμβολο του κυκλωμετατροπέα AC to AC

## 2.5.2 Λειτουργία ανύψωσης της τάσης

Για την κατασκευή χρησιμοποιήθηκε μετατροπέας ανύψωσης της τάσης (*step-up*).

Ο μετατροπέας ανύψωσης της τάσης παρέχει στην έξοδο μια τάση  $V_o$  η οποία είναι μεγαλύτερη της τάσης εισόδου  $V_{dc}$ . Η κυκλωματική δομή του μετατροπέα εικονίζεται στο Σχ.13.10. Όταν ο διακόπτης  $Sw$  είναι σε αγωγή, η πηγή εισόδου παρέχει ενέργεια στην επαγωγή η οποία αποθηκεύεται με τη μορφή μαγνητικού πεδίου. Η δίοδος είναι ανάστροφα πολωμένη και δεν άγει. Έτσι η έξοδος είναι απομονομένη από την είσοδο. Όταν ο διακόπτης οδηγηθεί στη αποκοπή, το ρεύμα της επαγωγής τείνει να μειωθεί, ενώ η τάση  $u_L$  αλλάζει πολικότητα. Μόλις η τάση επαγωγής γίνει ίση με  $V_{dc}-V_o$ , η δίοδος πολώνεται ορθά και η ενέργεια μεταφέρεται από την πηγή και την επαγωγή στο φορτίο.

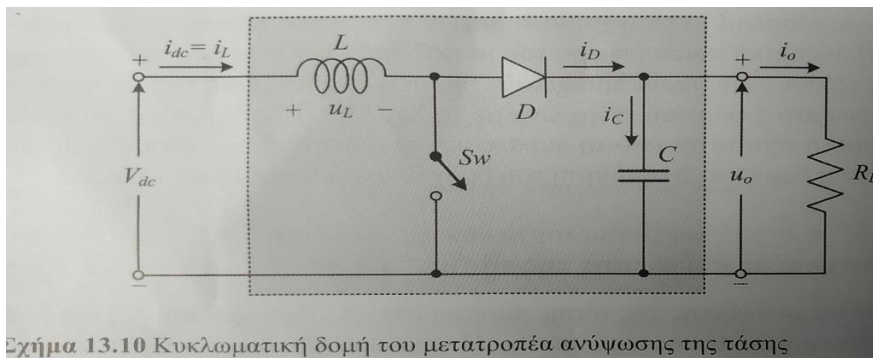
Ο μετατροπέας ανύψωσης της τάσης λειτουργεί με **συνεχή αγωγή** του ρεύματος, όταν το ρεύμα στην επαγωγή ρέει συνεχώς. Όταν η ροή του ρεύματος διακόπτεται σε κάποιο τμήμα της περιόδου, όπου ο διακόπτης είναι σε αποκοπή, ο μετατροπέας λειτουργεί με ασυνεχή αγωγή του ρεύματος.[\[14\]](#)

Ο λόγος της τάσης εξόδου προς την τάση εισόδου, από μηδενική μέση τιμή της τάσης στα άκρα της.

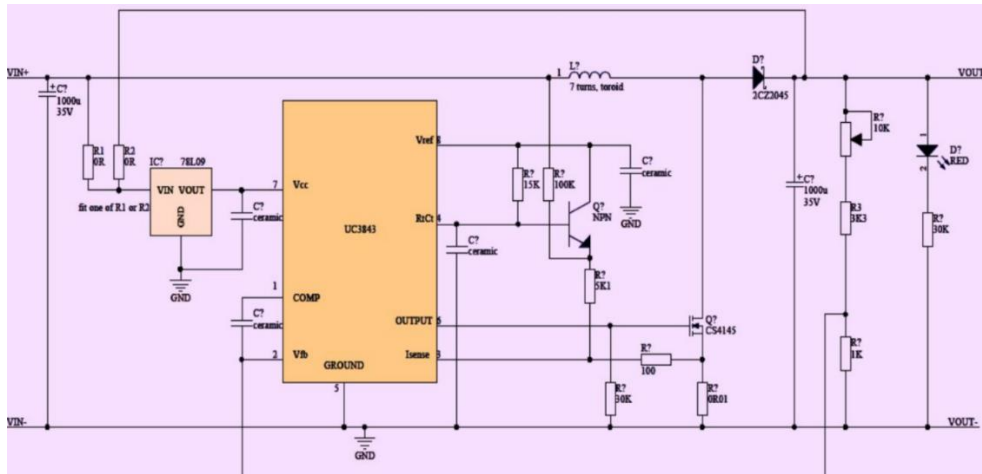
$$V_{dc}DT + (V_{dc} - V_o)(1 - D)T_s = 0$$

από την οποία

$$\frac{V_o}{V_{dc}} = \frac{1}{1-D}$$

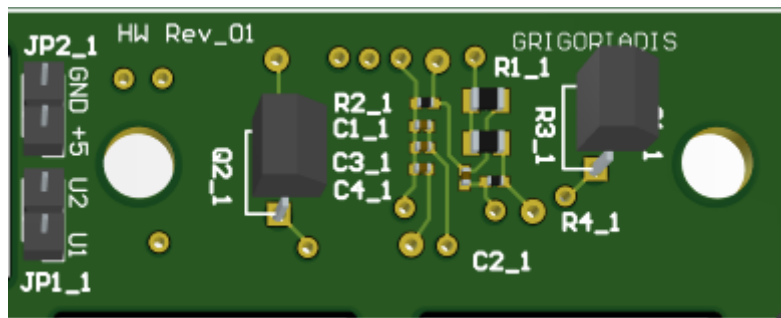


Εικόνα 2.11 Κυκλωματική δομή του μετατροπέα ανύψωσης της τάσης [Βιβλίο θεωρίας Ηλεκτρονικά ισχύος Ιορδάνης Κιοσκερίδης σελ.456] [\[14\]](#)

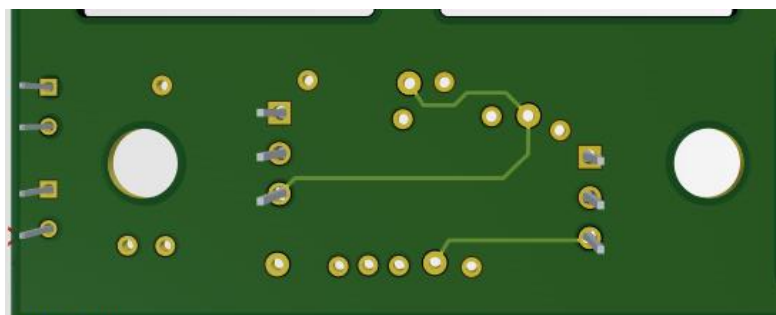


Εικόνα 2.12 Ηλεκτρονικό διάγραμμα 150w dc-dc boost converter [15]

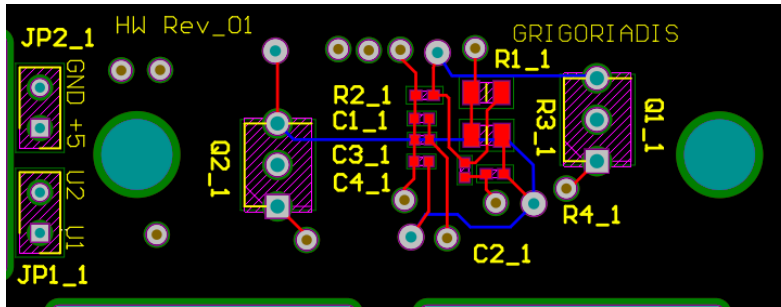
## 2.6 Πλακέτα αισθητήρων.



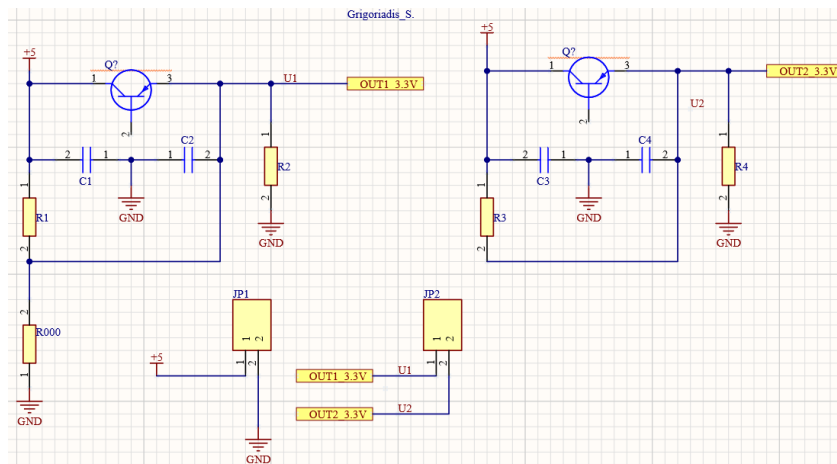
Εικόνα 2.13 Πλακέτα αισθητήρων Hall sensor εμπρός όψη (3D)



Εικόνα 2.14 Πλακέτα αισθητήρων Hall sensor πίσω όψη (3D)



Εικόνα 2.15 Διάγραμμα αγωγών Hall sensor (4 layer)



Εικόνα 2.16 Ηλεκτρονικό διάγραμμα αισθητήρων

### 2.6.1 Αισθητήρας Hall sensor



Εικόνα 2.17 Αισθητήρας TLE4905L [16]

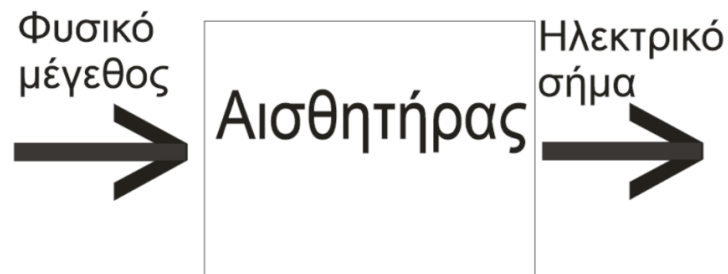
### 2.6.1.1 Τι είναι οι αισθητήρες

Οι αισθητήρες είναι μια διάταξη που χρησιμοποιείται για την μέτρηση ενός φυσικού μεγέθους.

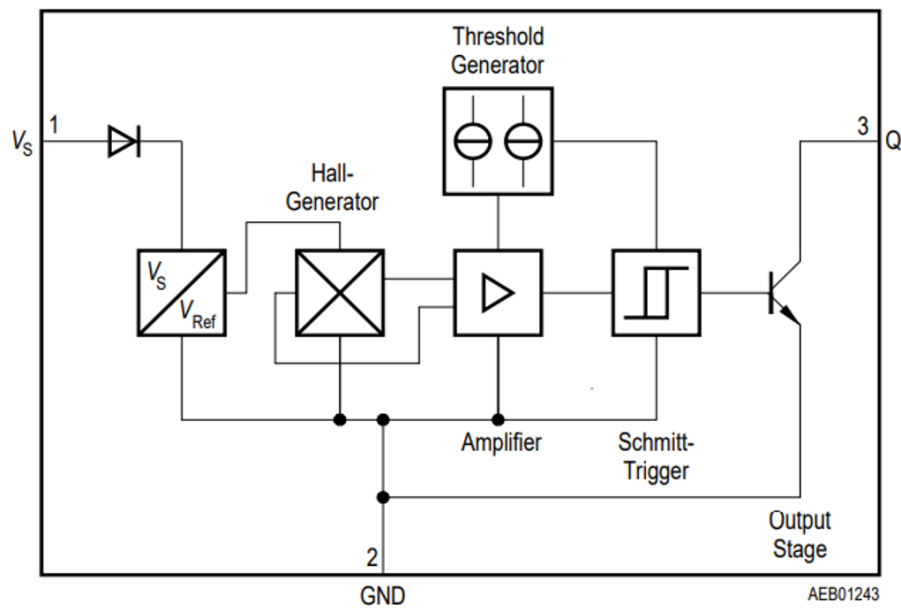
Μετατρέπει το φυσικό μέγεθος σε ηλεκτρικό σήμα.

Φυσικά μεγέθη: Θέση, ταχύτητα, επιτάχυνση, δύναμη, πίεση, θερμοκρασία κλπ. Ειδικοί αισθητήρες μπορούν να ανιχνεύσουν χημικές ουσίες, ήχο, ακτινοβολία κλπ.

Το ηλεκτρικό σήμα εξόδου ενός αισθητήρα είναι είτε τάση είτε ρεύμα. [17]



Εικόνα 2.18 Σχέδιο φυσικού μεγέθους σε ηλεκτρικό



Εικόνα 2.19 Διάγραμμα TLE4905L [18]

### 2.6.1.2 Περιγραφή κυκλώματος tle4905l

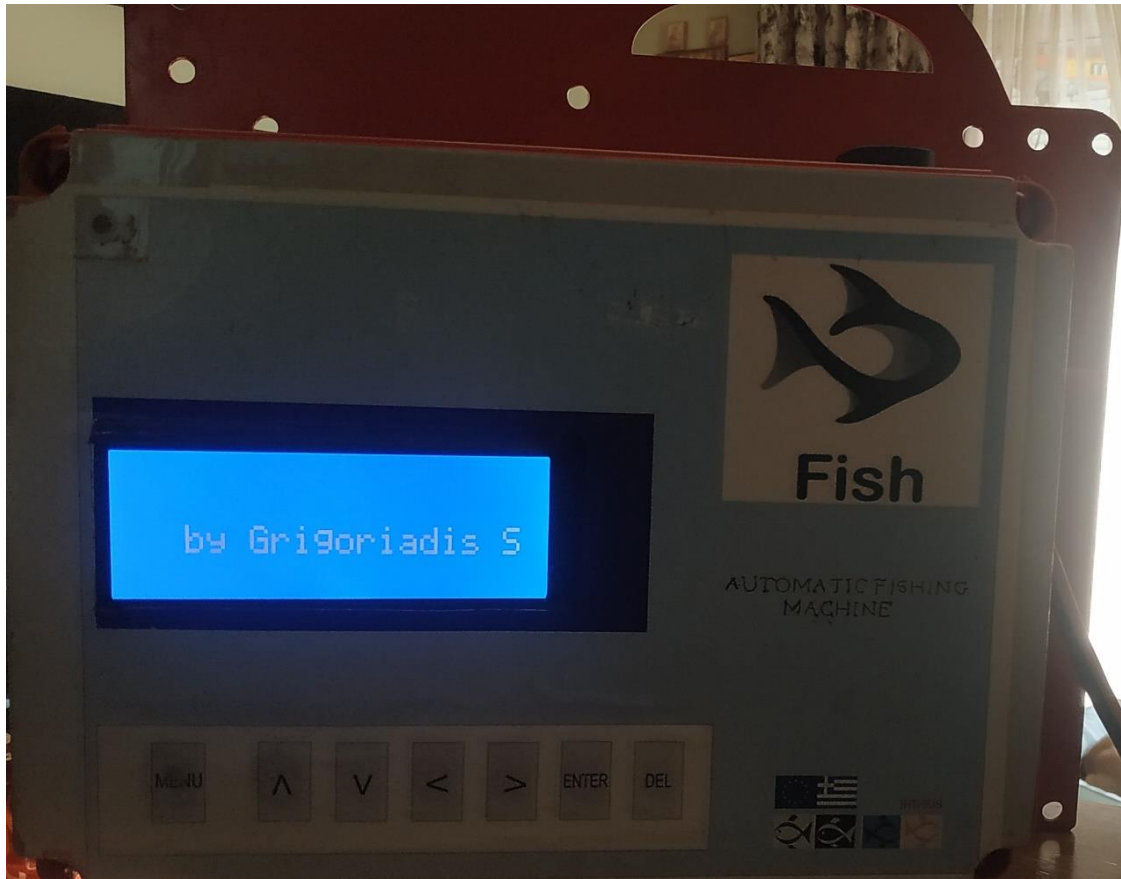
Το κύκλωμα περιλαμβάνει γεννήτρια Hall, ενισχυτή και Schmitt-Trigger σε ένα τσιπ. Το εσωτερικό παρέχει την τάση τροφοδοσίας για τα εξαρτήματα. Ένα μαγνητικό πεδίο κάθετο στην επιφάνεια του τσιπ προκαλεί τάση στον ανιχνευτή του **Hall**. Αυτή η τάση ενισχύεται και ενεργοποιεί ένα Schmitt trigger με έξοδο ανοιχτού συλλέκτη. Η τάση λειτουργίας του ανέρχεται από 3,8 έως 32v [18]

Ο αισθητήρας στην πλακέτα τροφοδοτείται με 5v, ενώ η έξοδος παρέχει 3,3v δια μέσου ενός διαιρέτη τάσης για την οδήγηση του στον επεξεργαστή.

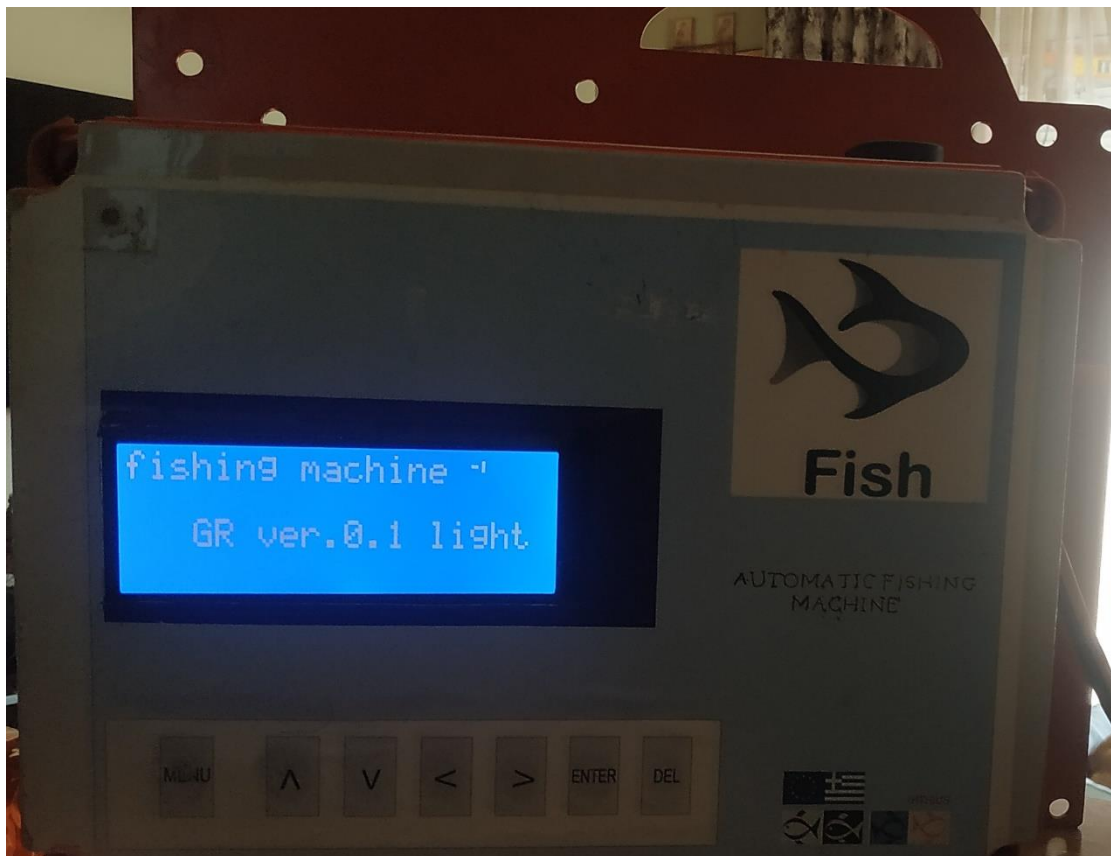
### 2.7 Πλακέτα οθόνης 4x20.



Εικόνα 2.20 Οθόνη lcd 4x20 NHD-0420E2Z-NSW-BBW [19]



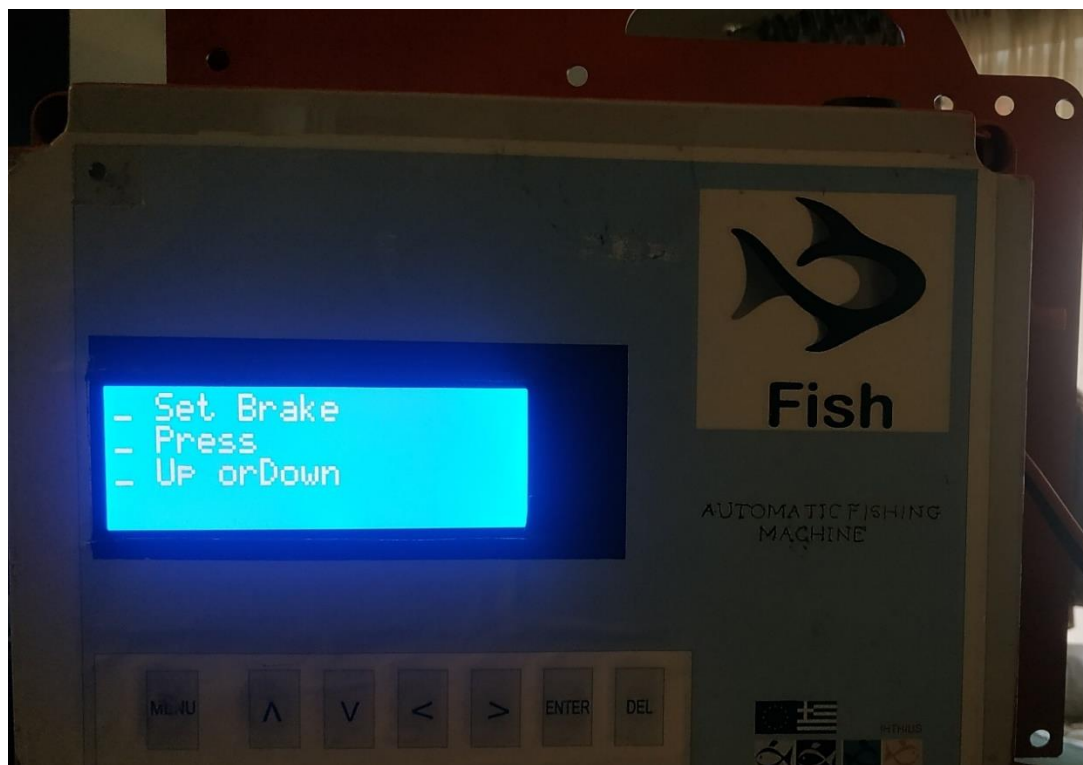
Εικόνα 2.21 Αρχικό πρώτο μήνυμα



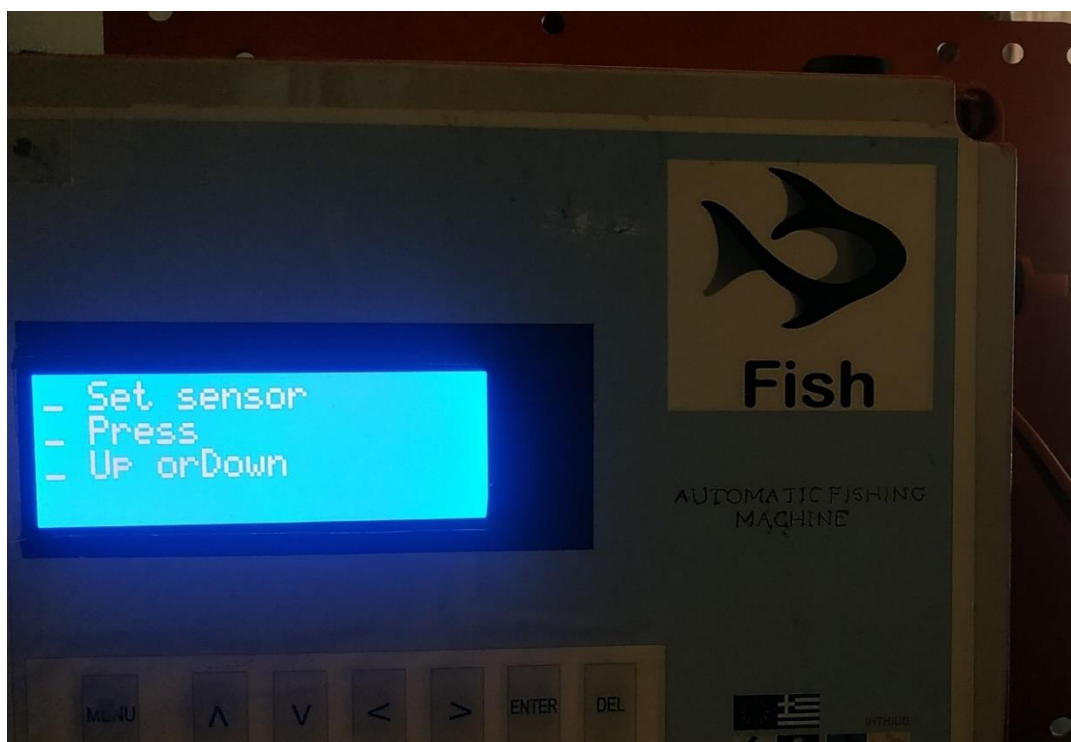
Εικόνα 2.22 Αρχικό δεύτερο μήνυμα



Εικόνα 2.23 Βασικές ενδείξεις οθόνης, μετά από την ρύθμιση του menu



Εικόνα 2.24 Ένδειξη ρύθμισης φρένου



Εικόνα 2.25 Ένδειξη ρύθμισης αισθητήρα



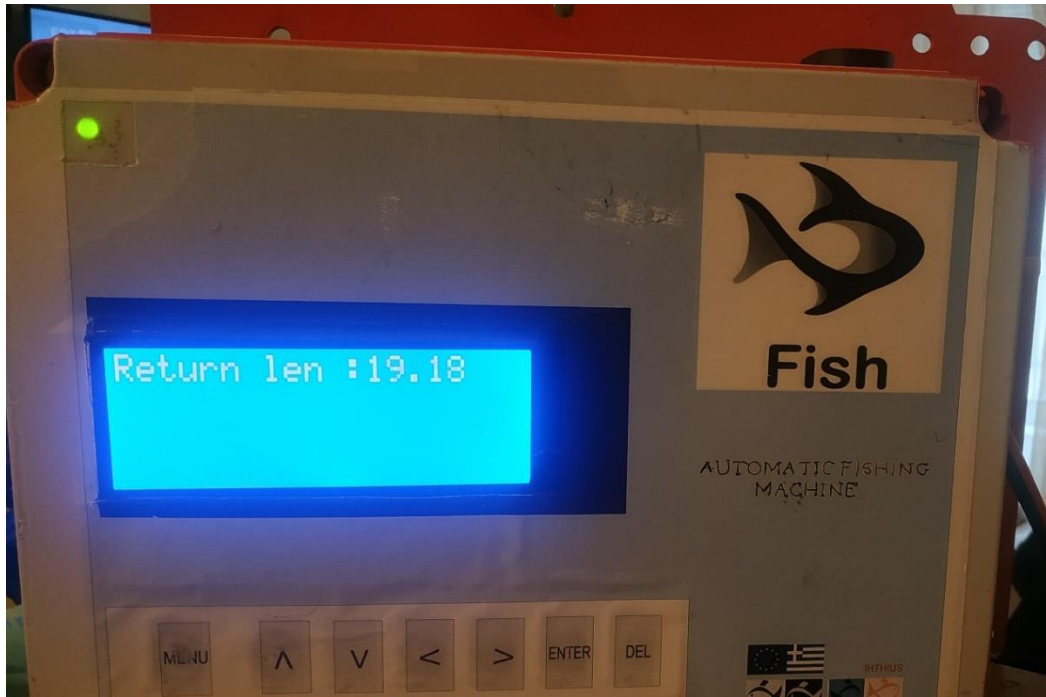
Εικόνα 2.26 Ένδειξη ρύθμισης load or unload thread



Εικόνα 2.27 Ένδειξη ρύθμισης του βάθους ψαρέματος



Εικόνα 2.28 Ένδειξη παρακαλω περιμένεται, μετά από enter, φόρτωση η εκφόρτωση νήματος



Εικόνα 2.29 Ένδειξη επιστροφής νήματος μετά από (delete)



Εικόνα 2.30 Ένδειξη φόρτωσης νήματος



Εικόνα 2.31 Ένδειξη εκφόρτωσης νήματος



Εικόνα 2.32 Ένδειξη ρυθμίσεις της τιμής φρένου



Εικόνα 2.33 Ένδειξη ρυθμίσεις της τιμής φρένου



Εικόνα 2.34 Ένδειξη ρυθμίσεις της τιμής αισθητήρα



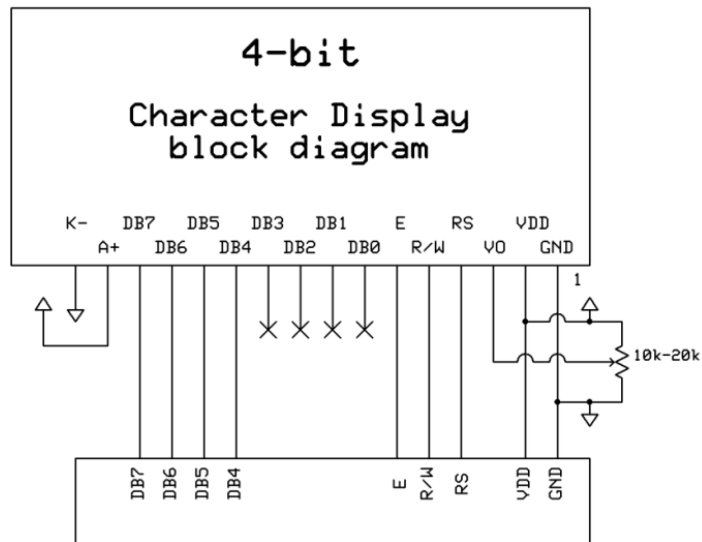
Εικόνα 2.35 Ένδειξη ρυθμίσεις της τιμής αισθητήρα



Εικόνα 2.36 Ένδειξη ρυθμίσεις της τιμής των μέτρων ψαρέματος



Εικόνα 2.37 Ένδειξη ρυθμίσεις της τιμής των μέτρων ψαρέματος



Εικόνα 2.38 Ηλεκτρονικό διαγραμμα σύνδεσης οθόνης 4bit [20]

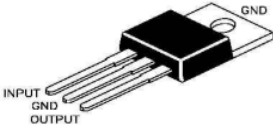
### 2.7.1 Λειτουργία οθόνης

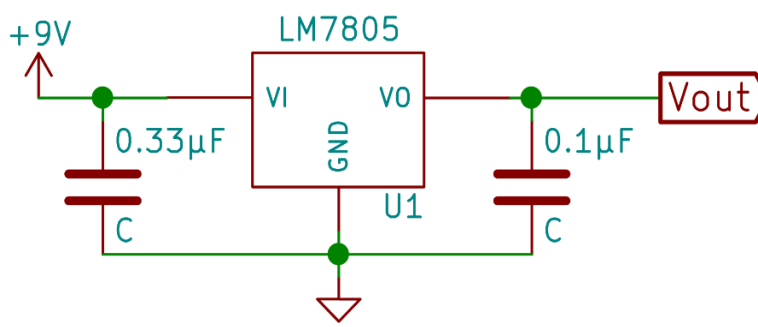
Οι οθόνες LCD 2x16 ή 4x20 είναι πολύ εύκολες στη σύνδεση και στη χρήση τους σε μικροελεγκτές. Χρειάζονται ελάχιστες γραμμές κώδικα για την προετοιμασία τους (initialize) και για τις εντολές λειτουργίας τους. Διαθέτουν 8 bit data bus αλλά είναι δυνατό να προγραμματιστούν για λειτουργία με **4 bit**, ώστε μαζί με τα 3 σήματα ελέγχου να μπορούν να συνδεθούν σε ένα port. Όταν είναι προγραμματισμένες για λειτουργία 4 bit στέλνεται πρώτα το ανώτερο μέρος του byte (upper) και στη συνέχεια το κατώτερο (lower). Έχουν έναν καταχωρητή (DD RAM) για αποθήκευση των δεδομένων που εμφανίζονται, ο οποίος είναι εγγραφής – ανάγνωσης. Στις οθόνες με 2 σειρές, τα 40 πρώτα byte αφορούν την πρώτη σειρά με διευθύνσεις στην DD RAM **0x00** έως **0x27** και τα επόμενα 40 τη δεύτερη με διευθύνσεις **0x40** έως **0x67**. Στις οθόνες με 4 σειρές, τα 20 πρώτα αφορούν την πρώτη σειρά με διευθύνσεις στην DD RAM **0x00** έως **0x13**, τα επόμενα 20 (21 – 40) τη τρίτη σειρά με διευθύνσεις **0x14** έως **0x27**, τα επόμενα (41 – 60) τη δεύτερη σειρά με διευθύνσεις **0x40** έως **0x53** και τα τελευταία 20 (61 – 80) τη τέταρτη με διευθύνσεις **0x54** έως **0x67**. Αν κάθε σειρά έχει 16 θέσεις για εμφάνιση χαρακτήρων, εμφανίζονται τα δεδομένα που είναι αποθηκευμένα στις 16 πρώτες θέσεις του καταχωρητή, ενώ τα υπόλοιπα μπορούν να εμφανιστούν με ολίσθηση χρησιμοποιώντας την αντίστοιχη εντολή της οθόνης. Υπάρχει δυνατότητα να εμφανίζεται ή όχι ο κέρσορας ή να αναβοσβήνει, επίσης υπάρχει δυνατότητα να ολισθαίνει αυτόματα ο κέρσορας ή η οθόνη καθώς στέλνονται χαρακτήρες. Οι οθόνες διαθέτουν, ακόμα, οπίσθιο φωτισμό (back light) στα pin BL+, BL- και ρύθμιση αντίθεσης στο pin Vo.

Τα δεδομένα στέλνονται στην οθόνη σε κωδικοποίηση χαρακτήρων ASCII και εμφανίζονται όλοι οι λατινικοί χαρακτήρες και τα σύμβολα που υπάρχουν στις 128 πρώτες θέσεις. Για τις επόμενες 128 θέσεις του ASCII η ROM της οθόνης περιέχει πληροφορίες για εμφάνιση ειδικών χαρακτήρων και ανάλογα με την έκδοση της ROM μπορούν να εμφανιστούν Ελληνικοί, Κυριλλικοί, Κινέζικοι ή Γιαπωνέζικοι χαρακτήρες και κάποια μαθηματικά σύμβολα. Επίσης υπάρχει η δυνατότητα να δημιουργηθούν pixel – pixel 8 χαρακτήρες, οι οποίοι αποθηκεύονται σε έναν καταχωρητή (CG RAM) και μπορούν να εμφανιστούν, όμως διαγράφονται με απώλεια τροφοδοσίας.

Η οθόνη δέχεται εντολές με **0** στο pin RS. Οι εντολές είναι για τη θέση του κέρσορα, τις ιδιότητες του κέρσορα, εντολές ολίσθησης, καθαρισμού της οθόνης, δημιουργίας χαρακτήρων και ανάγνωσης και έχει διαφορετικό χρόνο εκτέλεσης η κάθε μια. Η ανάγνωση χαρακτήρων γίνεται με **1** στο pin R/W. Οι πληροφορίες λαμβάνονται από την οθόνη με **1** στο pin E είτε αυτές είναι δεδομένα, είτε εντολές[20].

## 2.8 Σταθεροποιητής τάσης LM7805

3-TERMINAL POSITIVE VOLTAGE REGULATOR		LM7805					
		TO-220 Plastic Package					
		<p>The Voltages Available allow these Regulators to be used in Logic Systems, Instrumentation, Hi-Fi Audio Circuits and other Solid State Electronic Equipment</p>					
<b>ABSOLUTE MAXIMUM RATINGS</b>							
DESCRIPTION	SYMBOL	VALUE	UNIT				
Input Voltage	$V_{IN}$	35	V				
Continuous Total Dissipation at $T_c=25^\circ\text{C}$ free air Temperature	$P_D$	2.0	W				
Continuous Total Dissipation at $T_c=25^\circ\text{C}$ case Temperature	$P_D$	15	W				
Operating free-air, case, or Virtual Junction Temperature Range	$T_{OPR}$	0 to 150	$^\circ\text{C}$				
Storage Temperature Range	$T_{stg}$	- 65 to +150	$^\circ\text{C}$				
Lead Temperature 1.6mm (1/16 inch) from Case for 10 seconds	$T_L$	260	$^\circ\text{C}$				
<b>ELECTRICAL CHARACTERISTICS (<math>T_c=25^\circ\text{C}</math> unless specified otherwise)</b>							
$V_i=10\text{V}$ , $I_o=500\text{mA}$							
DESCRIPTION	SYMBOL	TEST CONDITION	MIN	TYP	MAX	UNIT	
Output Voltage	$V_o$	$I_o=5\text{mA} \sim 1\text{A}$ $V_i=7\text{V} \sim 20\text{V}$ , $P \leq 15\text{W}$	$T_c=25^\circ\text{C}$	4.80		5.20	V
			$T_c=0 \sim 125^\circ\text{C}$	4.75		5.25	V
Line Regulation	$R_{EGV}$	$V_i=7.0 \sim 25\text{V}$	$T_c=25^\circ\text{C}$			100	mV
		$V_i=8.0 \sim 12\text{V}$				50	mV
Ripple Rejection	$R_R$	$V_i=8.0 \sim 18\text{V}$ , $f=120\text{Hz}$	$T_c=0 \sim 125^\circ\text{C}$	62			dB
Load Regulation	$R_{EGL}$	$I_o=5\text{mA} \sim 1.5\text{A}$	$T_c=25^\circ\text{C}$			100	mV
		$I_o=250\text{mA} \sim 750\text{mA}$				50	mV
Output Resistance	$R_o$	$f=1\text{KHz}$	$T_c=0 \sim 125^\circ\text{C}$	0.017			$\Omega$
Output Voltage Drift	$\Delta V_o/\Delta T$	$I_o=5\text{mA}$	$T_c=0 \sim 125^\circ\text{C}$	- 1.1			mV/ $^\circ\text{C}$
Output Noise Voltage	$V_{NO}$	$f=10\text{Hz} \sim 100\text{KHz}$	$T_c=25^\circ\text{C}$	40			$\mu\text{V}$
Dropout Voltage	$V_d$	$I_o=1\text{A}$	$T_c=25^\circ\text{C}$	2.0			V
Quiescent Current	$I_Q$		$T_c=25^\circ\text{C}$			8.0	mA
Quiescent Current Change	$\Delta I_Q$	$V_i=7.0 \sim 25\text{V}$	$T_c=0 \sim 125^\circ\text{C}$			1.3	mA
		$I_o=5\text{mA} \sim 1\text{A}$				0.5	mA
Short Circuit Output Current	$I_{SC}$		$T_c=25^\circ\text{C}$	750			mA
Peak Output Current	$I_{PK}$		$T_c=25^\circ\text{C}$	2.2			A

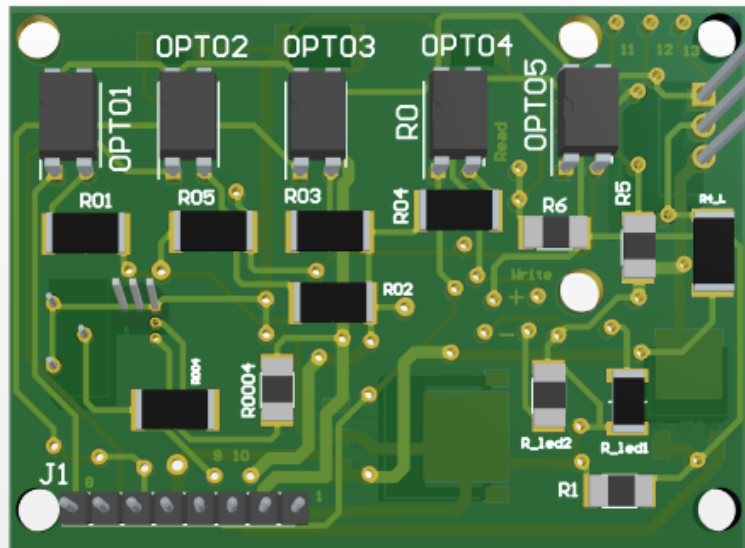


Εικόνα 2.39 Voltage regulator [21] [22].

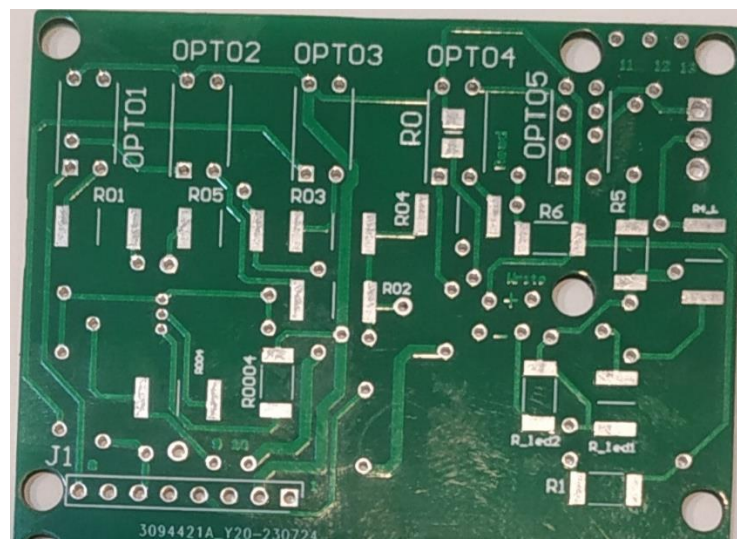
2.7.1 Ο σταθεροποιητής τάσης η **Voltage regulator** είναι ένα κύκλωμα ρυθμιστής τάσης που δημιουργεί και διατηρεί μια σταθερή τάση εξόδου, ανεξάρτητα από τις αλλαγές στην τάση εισόδου ή τις συνθήκες φορτίου.

Το **Voltage regulator** ICs LM7805 έχει τάση εισόδου 7-35v με σταθεροποιημένη την έξοδο στα 5v [23].

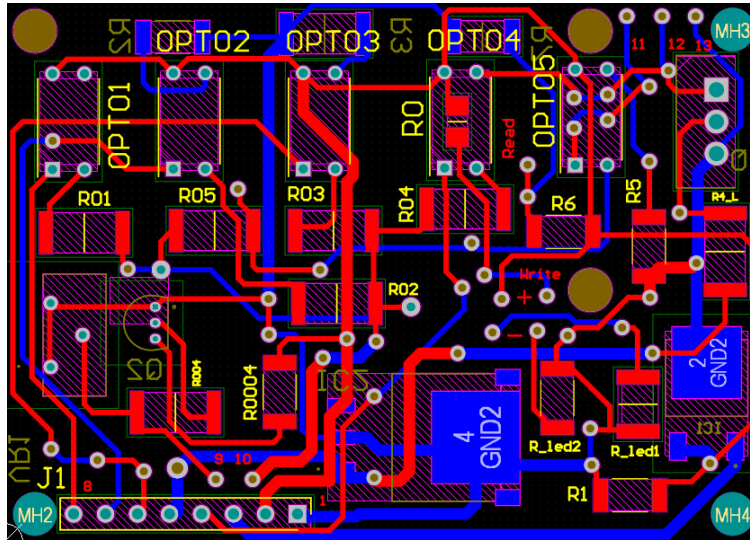
## 2.9 Πλακέτα μονάδας optocoupler



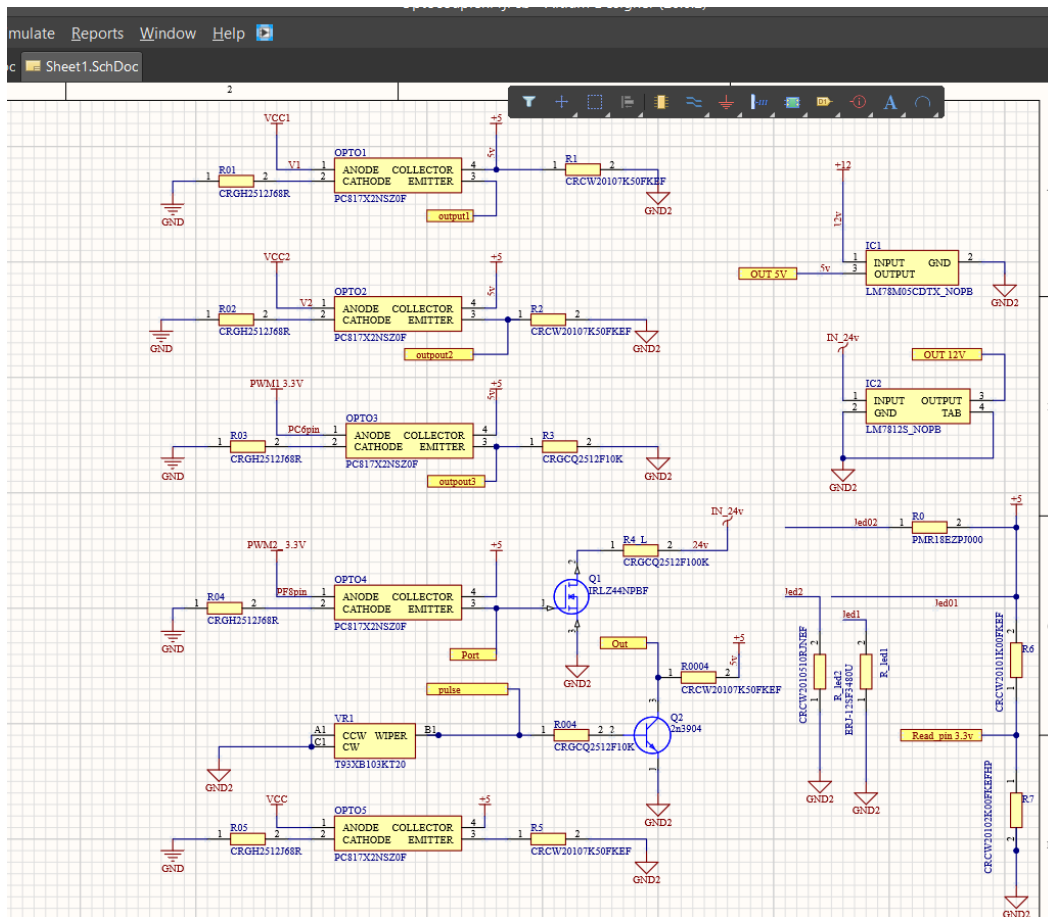
Εικόνα 2.40 optocoupler board 3D



Εικόνα 2.41 optocoupler board κατασκευή από την **JLPCB**



Εικόνα 2.42 Διάγραμμα αγωγών του optocoupler board (2 layer)



Εικόνα 2.43 Ηλεκτρονικό διάγραμμα πλακέτας optocoupler (Altium Designer)

## 2.9.1 Optocoupler

### 2.9.1.1 Opto-isolator

Σε όλα τα κυκλώματα στα οποία χρησιμοποιείται η γαλβανική απομόνωση, χρίζουν οι οπτοζεύκτες.

Οι οπτικοί απομονωτές μεταδίδουν πληροφορίες διαμορφώνοντας το φως. Ο αποστολέας (πηγή φωτός) και ο δέκτης (φωτοευαίσθητη συσκευή) **δεν είναι ηλεκτρικά συνδεδεμένοι**. Συνήθως συγκρατούνται στη θέση τους μέσα σε μια μήτρα από διαφανές, μονωτικό πλαστικό ή μέσα σε ένα ολοκληρωμένο κύκλωμα. Η οπτική απομόνωση είναι γενικά πολύ περιορισμένη σε ισχύ, αλλά μπορεί να μεταφέρει σήματα δεδομένων πολύ υψηλής ταχύτητας. [24]



### 2.9.1.2 Υπολογισμός των τιμών της αντίστασης των Optocoupler

$$VCC1 = 3.3V$$

$$3.3V - 1.2V = 2.1V \text{ για την } R01$$

$$\text{Επομένως } R01 = 2.1V \div 30mA = 68\Omega$$

$$\text{Η ελάχιστη τιμή της } R1 \text{ πρέπει να είναι } 5V \div 30mA = 167\Omega$$

Ο λόγος μεταφοράς ρεύματος ή **CTR**, ο οποίος είναι απλώς ο λόγος του ρεύματος εξόδου προς το ρεύμα εισόδου ( $I_C / I_F$ ) που συνήθως εκφράζεται ως ποσοστό.

Κατά ελάχιστη τιμή CTR=100%

### 2.9.1.3 Mosfet IRLZ44N

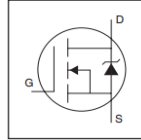
International  
**IR** Rectifier

PD - 94831

## IRLZ44NPbF

HEXFET® Power MOSFET

- Logic-Level Gate Drive
- Advanced Process Technology
- Dynamic dv/dt Rating
- 175°C Operating Temperature
- Fast Switching
- Fully Avalanche Rated
- Lead-Free

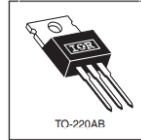


$V_{DS} = 55V$   
 $R_{DS(on)} = 0.022\Omega$   
 $I_D = 47A$

#### Description

Fifth Generation HEXFETs from International Rectifier utilize advanced processing techniques to achieve the lowest possible on-resistance per silicon area. This benefit, combined with the fast switching speed and ruggedized device design that HEXFET Power MOSFETs are well known for, provides the designer with an extremely efficient device for use in a wide variety of applications.

The TO-220 package is universally preferred for all commercial-industrial applications at power dissipation levels to approximately 50 watts. The low thermal resistance and low package cost of the TO-220 contribute to its wide acceptance throughout the industry.



#### Absolute Maximum Ratings

Parameter	Max.	Units
$I_D @ T_C = 25^\circ C$	47	A
$I_D @ T_C = 100^\circ C$	33	A
$I_{DM}$	160	A
$P_D @ T_C = 25^\circ C$	110	W
Linear Derating Factor	0.71	W/°C
$V_{GS}$	±16	V
$E_{AS}$	210	mJ
$I_{AS}$	25	A
$E_{AR}$	11	mJ
di/dt	5.0	V/ns
$T_J$	-55 to +175	°C
$T_{STG}$	300 (1.6mm from case)	°C
Mounting torque, 6-32 or M3 screw.	10 lbf-in (1.1N-m)	

#### Thermal Resistance

Parameter	Min.	Typ.	Max.	Units
$R_{\theta JC}$	—	—	1.4	°C/W
$R_{\theta CS}$	—	0.50	—	°C/W
$R_{\theta JA}$	—	—	62	°C/W

#### Electrical Characteristics @ $T_J = 25^\circ C$ (unless otherwise specified)

Parameter	Min.	Typ.	Max.	Units	Conditions
$V_{BRDSS}$	55	—	—	V	$V_{GS} = 0V, I_D = 250\mu A$
$M_{BRDSS}/T_J$	—	0.070	—	V/°C	Reference to 25°C, $I_D = 1mA$
$R_{DS(on)}$	—	0.022	—	$\Omega$	$V_{GS} = 10V, I_D = 25A @$
	—	0.025	—	$\Omega$	$V_{GS} = 5.0V, I_D = 25A @$
	—	0.035	—	$\Omega$	$V_{GS} = 4.0V, I_D = 21A @$
$V_{GS(th)}$	1.0	—	2.0	V	$V_{DS} = V_{GS}, I_D = 250\mu A$
$g_{fs}$	21	—	—	S	$V_{GS} = 25V, I_D = 25A$
$I_{DSS}$	—	—	25	$\mu A$	$V_{GS} = 55V, V_{DS} = 0V$
	—	—	250	$\mu A$	$V_{GS} = 44V, V_{DS} = 0V, T_J = 150^\circ C$
$I_{GSS}$	—	—	100	nA	$V_{GS} = 16V$
	—	—	100	nA	$V_{GS} = -16V$
$Q_g$	—	—	48	nC	$I_D = 25A$
$Q_{gs}$	—	—	8.6	nC	$V_{GS} = 44V$
$Q_{gd}$	—	—	25	nC	$V_{GS} = 5.0V$ , See Fig. 6 and 13 @
$t_{d(on)}$	—	11	—	ns	$V_{DS} = 28V$
$t_r$	—	84	—	ns	$I_D = 25A$
$t_{d(off)}$	—	26	—	ns	$R_{\theta} = 3.42, V_{GS} = 5.0V$
$t_f$	—	15	—	ns	$R_{\theta} = 1.12$ , See Fig. 10 @
$L_D$	—	4.5	—	nH	Between lead, 6mm (0.25in.) from package and center of die contact
$L_S$	—	7.5	—	nH	Between lead, 6mm (0.25in.) from package and center of die contact
$C_{iss}$	—	1700	—	pF	$V_{GS} = 0V$
$C_{oss}$	—	400	—	pF	$V_{GS} = 25V$
$C_{riss}$	—	150	—	pF	$f = 1.0MHz$ , See Fig. 5

#### Source-Drain Ratings and Characteristics

Parameter	Min.	Typ.	Max.	Units	Conditions
$I_{BS}$	—	—	47	A	MOSFET symbol showing the integral reverse p-n junction diode.
$I_{BM}$	—	—	160	A	
$V_{SD}$	—	—	1.3	V	$T_J = 25^\circ C, I_D = 25A, V_{GS} = 0V @$
$t_{rr}$	—	80	120	ns	$T_J = 25^\circ C, I_D = 25A$
$Q_{rr}$	—	210	320	nC	di/dt = 100A/ $\mu s @$
$t_{on}$	—	—	—	ns	Intrinsic turn-on time is negligible (turn-on is dominated by $L_D + L_S$ )

#### Notes:

- ① Repetitive rating; pulse width limited by max. junction temperature. (See Fig. 11.)
- ②  $V_{DS} = 25V$ , starting  $T_J = 25^\circ C$ ,  $L = 470\mu H$ ,  $R_{\theta} = 252, I_{DS} = 25A$ . (See Figure 12.)
- ③  $I_{SD} \leq 25A$ , di/dt  $\leq 270A/\mu s$ ,  $V_{SD} \leq V_{BRDSS}$ ,  $T_J \leq 175^\circ C$
- ④ Pulse width  $\leq 300\mu s$ , duty cycle  $\leq 2\%$ .

Εικόνα 2.46 Χαρακτηριστικά Mosfet IRLZ44N [26]

Η πλακέτα των Optocoupler ενσωματώνει και ένα mosfet το IRLZ44N το οποίο χρησιμοποιείτε για τον έλεγχο ρύθμισης του ηλεκτρομαγνήτη με συχνότητα 3Khz PWM ( pulse width modulation).

## 2.10 Εξωτερική είσοδος USB.



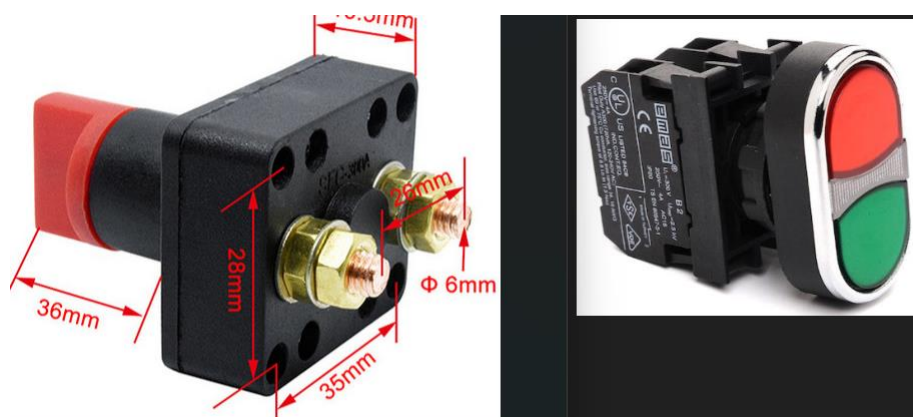
Εικόνα 2.47 Εξωτερική είσοδος USB

Ο **Ενιαίος Σειριακός Διάυλος**, γνωστός και ως **Universal Serial Bus** ή απλά **USB**, είναι ένα σύστημα διαύλου, το οποίο χρησιμοποιείται για την επικοινωνία ενός υπολογιστή και όχι μόνο με περιφερειακά συστήματα.

Για την σύνδεση της αναπτυξιακής πλακέτας με τον Η/Υ χρειάζεται μόνο ένα καλώδιο USB τύπου A σε micro B. Στην κατασκευή χρησιμοποιήθηκε μια μικρή προέκταση usb 10cm, με είσοδο USB η οποία είναι τοποθετημένη εξωτερικά του πλαστικού κιβωτίου. Η χρήση τώρα πλέον γίνεται με καλώδιο USB τύπου A σε A.

Η ίδια θύρα χρησιμοποιείται και για τον προγραμματισμό της εσωτερικής μνήμης του μικροελεγκτή τύπου flash με την χρήση εξωτερικού λογισμικού STM32CubeIDE της εταιρείας ST και την αποσφαλμάτωση της εφαρμογής.[\[27\]](#)

## 2.11 Μπουτόν ελέγχου - Γενικός διακόπτης



Εικόνα 2.48 Γενικός διακόπτης – Διπλό μπουτόν [28] [29]

### 2.11.1 Αρχή λειτουργίας

Οι διακόπτες έχουν σημεία με τα οποία συνδέονται με το κύκλωμα τα οποία ονομάζονται *ακροδέκτες*. Κάθε διακόπτης έχει δύο καταστάσεις, την κατάσταση που είναι *κλειστός* και την κατάσταση που είναι *ανοικτός*. Όταν ένας διακόπτης είναι ανοικτός δεν επιτρέπει τη διέλευση ηλεκτρικού ρεύματος μεταξύ των ακροδεκτών του, ενώ όταν είναι κλειστός επιτρέπει τη διέλευση ηλεκτρικού ρεύματος μεταξύ των ακροδεκτών του. Ο διακόπτης διατηρεί την κατάσταση στην οποία βρίσκεται, ενώ αυτή μεταβάλλεται μόνο από εξωτερικούς του στοιχείου παράγοντες, όπως είναι το πάτημα ενός κουμπιού ή αλλαγή στο ηλεκτρικό πεδίο. Κάθε κλειστός διακόπτης μπορεί να ανοίξει, ενώ κάθε ανοικτός διακόπτης μπορεί να κλείσει.

Η αλλαγή της κατάστασης ενός διακόπτη γίνεται είτε μεταβάλλοντας την αγωγιμότητα ενός τμήματός του που παρεμβάλλεται μεταξύ των ακροδεκτών του είτε αλλάζοντας την απόσταση μεταξύ δύο αγώγιμων μερών του, που ονομάζονται **επαφές**. Συνήθως ο πρώτος τρόπος χρησιμοποιείται σε αυτόματους διακόπτες, ενώ ο δεύτερος σε χειροκίνητους. Σε αυτήν την περίπτωση μία επαφή είναι σταθερή στη θέση της, ενώ η άλλη μετακινείται μηχανικά.

Για να διέλθει ηλεκτρικό ρεύμα μέσω ενός διακόπτη, πρέπει να είναι κλειστός και να εφαρμοστεί στους ακροδέκτες του διαφορά δυναμικού. Για να μη διέλθει ηλεκτρικό ρεύμα αρκεί να είναι ανοικτός, αν και είναι πιθανό όταν είναι κλειστός να μη διαρρέεται από ηλεκτρικό ρεύμα, γιατί δεν υπάρχει τάση.

**Επιπλέον**, οι διακόπτες μεταφέρουν τις στοιχειώδεις πληροφορίες **0 ή ψευδής** όταν είναι ανοικτοί και **1 ή αληθής** όταν είναι κλειστοί, όπως συμβαίνει στους υπολογιστές.[30]

## 2.12 Πλαστικό κιβώτιο



Εικόνα 2.49 Πλαστικό κιβώτιο[31]

Το πλαστικό κιβώτιο το οποίο χρησιμοποιήθηκε για την κάλυψη όλων των ηλεκτρονικών εξαρτημάτων, καλωδίων κλπ.

Οι διαστάσεις του οποίου είναι 310x240x120, στην εικόνα φαίνεται η αρχική κατάσταση καθώς και η μετέπειτα διαμόρφωση.

## 2.13 Πλαστική καρούλα



Εικόνα 2.50 Διαμόρφωση καρούλας [32]

### 2.13.1 Διαμόρφωση καρούλας

Εχει διαμορφωθεί μεγαλύτερη οπή για την θέση του ρουλεμάν, επίσης έχει κατασκευαστεί όπως φαίνεται και στην εικόνα μεταλικός δίσκος ενός χιλιοστού ώστε να έχει περισσότερη αντοχή, και κάποια προδιαγραφή για το φρένο. Να επισημάνω ότι όλα τα μεταλλικά εξαρτήματα έχουν σχεδιαστεί, με το σχεδιαστικό πρόγραμμα corel DRAW 12 , επίσης η κοπή των μετάλλων έγινε με laser από την εταιρία DELIGIANNIS DIMITRIOS A.S.M.P.C.

### 2.14 Μεταλική βάση



Εικόνα 2.51 Μεταλική βάση

2.14.1 Μεταλική πλάκα 400x350x3 σχεδιασμένη με το πρόγραμμα Corel draw 12 και κομμένη με laser για την ακριβή τοποθέτηση των υλικών.

## 2.15 Ηλεκτρομαγνητικό φρένο



Εικόνα 2.52 Ηλεκτρομαγνητικό φρένο [33]

### 2.15.1 Electromagnetic clutch

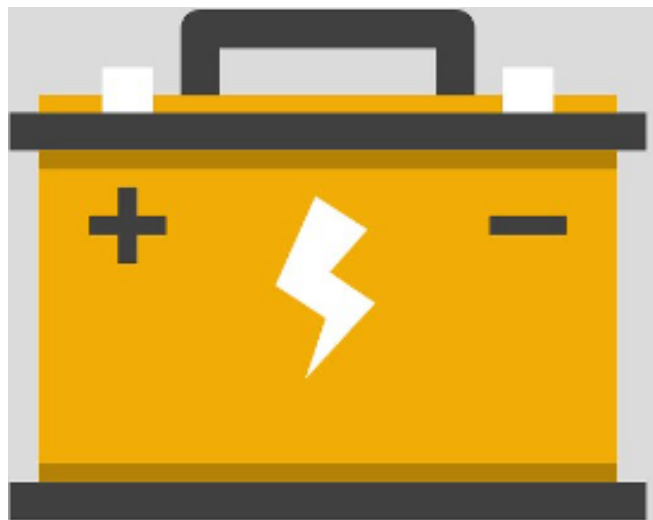
Οι ηλεκτρομαγνητικοί συμπλέκτες λειτουργούν μέσω ηλεκτρικής ενεργοποίησης, αλλά μεταδίδουν τη ροπή μηχανικά. Όταν εφαρμόζεται τάση/ρεύμα στο πηνίο του συμπλέκτη, το πηνίο γίνεται ηλεκτρομαγνήτης και παράγει μαγνητικές γραμμές ροής. Αυτή η ροή στη συνέχεια μεταφέρεται μέσω του μικρού κενού αέρα μεταξύ του πεδίου και του ρότορα.[33]

Η σύμπλεξη πραγματοποιείται μέσω ηλεκτρομαγνητικών φορτίων που δημιουργούνται μεταξύ των δύο μεταλλικών επιφανειών επαφής, από τις οποίες η μία είναι συνδεδεμένη με τον άξονα του κινητήρα (κινητήριο τμήμα).

Στην κατασκευή, ο μηχανισμός που είναι συνδεδεμένος με το κινητήριο τμήμα (ρότορας) εμπεριέχει ένα μαγνήτη ο οποίος όταν τροφοδοτηθεί από ρεύμα, δημιουργεί ένα ηλεκτρομαγνητικό πεδίο το οποίο προσελκύει τον σπλισμό (καρούλα) στη μεταξύ τους επαφή. Με αυτή την επαφή επιτυγχάνεται σύμπλεξη, οπότε πραγματοποιείται η μετάδοση της κίνησης. Όταν επιθυμούμε αποσύμπλεξη, αυτό γίνεται με την διακοπή παροχής ρεύματος στο μαγνήτη ώστε να εξαλειφθεί το μαγνητικό πεδίο.

Στο ηλεκτρομαγνητικό φρένο, ανάμεσα στις επιφάνειες επαφής υπάρχει λάδι εμπλουτισμένο με ρινίσματα σιδήρου ή απλά ρινίσματα σιδήρου. Η εφαρμογή ενός ηλεκτρομαγνητικού πεδίου μεταξύ των επιφανειών έχει ως αποτέλεσμα τον προσανατολισμό των ρινισμάτων και την έλξη τους. Με την κίνηση αυτή, το κινητήριο τμήμα παρασύρει το κινούμενο και μεταφέρει την ροπή από τον κινητήρα στην(καρούλα). Ο έλεγχος της σύμπλεξης γίνεται με τη μεταβολή του ηλεκτρικού ρεύματος που παρέχεται και δημιουργεί το ηλεκτρομαγνητικό πεδίο.[33]

## 2.16 Τροφοδοσία συστήματος



Εικόνα 2.53 Σχήμα μπαταρία αυτοκινήτου [34]

### 2.16.1 Μπαταρία 12v / 60Ah

#### Περιγραφή

Ο συσσωρευτής στην ηλεκτρολογία είναι χημική πηγή ρεύματος, ικανή να αποθηκεύσει ηλεκτρική ενέργεια (αφού τη μετατρέψει σε χημική) και όταν χρειαστεί, να την αποδώσει σε εξωτερικό κύκλωμα. Αποτελείται από δοχείο κατασκευασμένο από μονωτικό υλικό (εβονίτη, πλαστικό, γυαλί) με ηλεκτρολύτη (οξύ ή αλκάλιο), στο οποίο βυθίζονται τα ηλεκτρόδια. Η σύνδεσή τους σε εξωτερικό κύκλωμα προκαλεί σε αυτό διέλευση ρεύματος (εκφόρτιση του ηλεκτρικού συσσωρευτή)..

Ο εκφορτισμένος ηλεκτρικός συσσωρευτής φορτίζεται όταν περάσει από αυτόν συνεχές ρεύμα από άλλη πηγή, ενώ ταυτόχρονα στον ηλεκτρικό συσσωρευτή γίνονται αντίστροφες χημικές διεργασίες, με τις οποίες η ηλεκτρική ενέργεια μετατρέπεται σε χημική. Ο ηλεκτρικός συσσωρευτής χαρακτηρίζεται από τη χωρητικότητα, δηλ. την ποσότητα του ηλεκτρισμού σε αμπερώρια, που μπορεί ο συσσωρευτής να δώσει στο κύκλωμα που τροφοδοτεί, από τη μέση τάση σε volt κατά το χρόνο της φόρτισης και εκφόρτισης, από την ειδική ενέργεια κατά βάρος και όγκο, δηλ. την ενέργεια σε βατώρια που παρέχεται κατά την εκφόρτιση από 1 kg βάρους ή 1 δεκατόμετρο του όγκου του ηλεκτρικού συσσωρευτή, από την απόδοση κατά χωρητικότητα, δηλ. τον λόγο της ποσότητας των αμπερωρίων που αποδίδεται κατά την εκφόρτιση προς την ποσότητα των αμπερωρίων που απορροφάται κατά τη φόρτιση, από την απόδοση κατά ενέργεια (ή βαθμό απόδοσης), δηλ. το λόγο της

ενέργειας που αποδίδεται κατά την εκφόρτιση προς την ενέργεια που απορροφάται κατά τη φόρτιση.

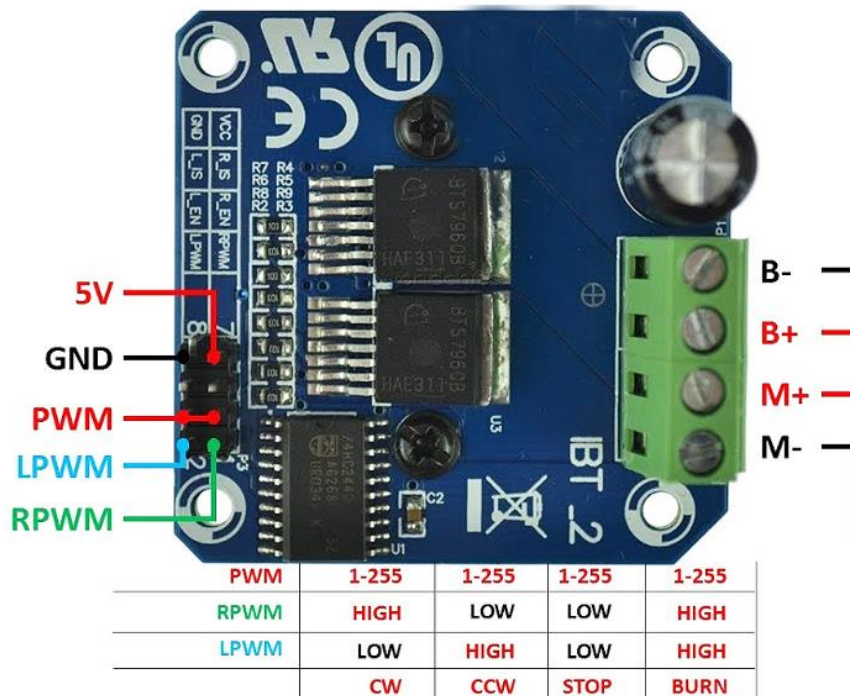
Οι συσσωρευτές (μπαταρίες) αναγράφουν τη χωρητικότητά τους σε Ah (αμπέρ ανά ώρα). Έτσι, ένας συσσωρευτής των 12 volt και 100 Ah παρέχει  $12 \times 100 = 1.200$  watt συνεχούς ρεύματος (DC) για 1 ώρα ή 120 watt για 10 ώρες ή 12 watt για 100 ώρες. Ένας ακόμη σημαντικός δείκτης είναι αυτός που μας παρέχει την πληροφορία σχετικά με τον ρυθμό εκφόρτισης με βάση τον οποίο ο συσσωρευτής μπορεί να δώσει τις αναγραφόμενες Ah. Έτσι, μια μπαταρία που γράφει ότι έχει χωρητικότητα 100 Ah σε C20 σημαίνει ότι οι 100 Ah επιτυγχάνονται όταν η σταδιακή εκφόρτιση διαρκεί 20 ώρες. Για λιγότερες ώρες (π.χ. C10, 10 ώρες) παίρνουμε λιγότερες Ah, ενώ σε σταδιακή εκφόρτιση περισσότερων ωρών (π.χ. C100, 100 ώρες) παίρνουμε σημαντικά περισσότερες Ah.

Ο δείκτης C10, C20 και C100 δεν είναι αυθαίρετος. Περιγράφεται από συγκεκριμένες προδιαγραφές και είναι τυποποιημένος. ΟΛΕΣ οι μπαταρίες (όλες οι μπαταρίες μολύβδου δηλαδή) έχουν να δώσουν διαφορετική χωρητικότητα σε ρυθμό εκφόρτισης 10 ωρών (C10), μεγαλύτερη σε C20 και ακόμη μεγαλύτερη σε C100. Είναι προτιμότερο κατά τη λειτουργία τους να παρέχουν λίγα watt για περισσότερες ώρες παρά πολλά watt για λίγες, επειδή στη δεύτερη περίπτωση μειώνεται δραστικά ο χρόνος ζωής τους. Ποτέ δεν εκφορτίζουμε τελείως τους συσσωρευτές γιατί αυτό μπορεί να τους καταστρέψει.

Υπάρχουν συσσωρευτές διαφόρων τύπων με διαφορετικό βαθμό επιτρεπόμενης εκφόρτισης. Ο γενικός κανόνας είναι κατά τη συνηθισμένη χρήση να μην επιτρέπουμε εκφόρτιση πάνω από 50% περίπου και μόνο σε εξαιρετικές περιπτώσεις ανάγκης να φθάνουμε το 80%.

Για την τροφοδοσία του συστήματος αλιείας, θα υπολογίσουμε, ότι όταν λειτουργεί η μηχανή στην μέγιστη ισχύ δηλαδή στα 250w για 1h, που σημαίνει  $12 \times 20,83 \text{Ah} = 250 \text{w}$ . Εάν χρησιμοποιούμε μπαταρία 12v και 60Ah θα μας καλύψει συνεχούς λειτουργίας, 2.88 ώρες. Αλλά επειδή συνήθως η λειτουργία δεν είναι συνεχόμενη, μεγαλώνει κατά πολύ ο χρόνος αποφόρτισης, και έτσι ο χρόνος στο ψάρεμα είναι μεγαλύτερος. Ανάλογα λοιπόν με τις ανάγκες που έχουμε θα αγοράσουμε και την κατάλληλη μπαταρία σε Ah.[\[35\]](#)

## 2.17 Πλακέτα οδήγησης dc κινητήρα



Εικόνα 2.54 Πλακέτα οδήγησης κινητήρα BTS7960 [36]

### 2.17.1 Χαρακτηριστικά προγράμματος οδήγησης κινητήρα BTS7960

Το BTS7960 είναι μια μονάδα οδήγησης κινητήρα υψηλού ρεύματος πλήρους γέφυρας (H bridge driver).

Τα βασικά χαρακτηριστικά είναι:

- Τάση εισόδου: 6V έως 27V
- Μέγιστο επιτρεπόμενο ρεύμα: 6-11 A, typically 8.5 A.
- Δυνατότητα PWM: έως 25 kHz
- Δύο ακίδες εξόδου PWM για έλεγχο ταχύτητας σε άμεσες και αντίστροφες κατευθύνσεις
- Δύο ακίδες εξόδου EN για τον έλεγχο των κινητήρων
- Δύο ακίδες εισόδου IS για προστασία από υψηλό ρεύμα και θερμότητα

Αυτές οι μονάδες ελέγχουν τους κινητήρες DC χρησιμοποιώντας την τεχνική PWM (Pulse Width Modulation). Αυτές οι μονάδες μετατρέπουν μια σταθερή τάση εισόδου σε μια μεταβλητή τάση για τον κινητήρα. Η ταχύτητα μπορεί να ελεγχθεί αλλάζοντας την τάση του κινητήρα DC. Τα PWM έχουν συνήθως μια σταθερή συχνότητα και μπορούν να ελεγχθούν ελέγχοντας το χρόνο που ο παλμός είναι ΥΨΗΛΟΣ (Κύκλος λειτουργίας).

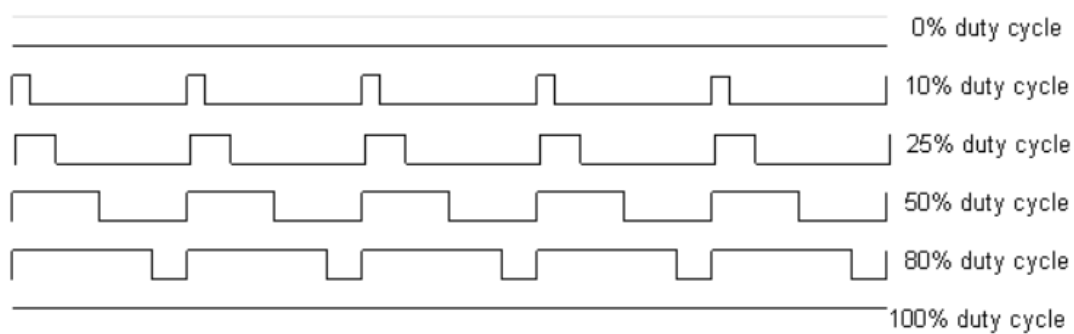
Ο κύκλος λειτουργίας ορίζεται ως ο λόγος του εύρου του παλμού ( $t_w$ ) προς την περίοδο ( $T$ ) του και εκφράζεται ως ποσοστό.

$$DC = \frac{t_w}{T} * 100\%$$

Ο τύπος από την τιμή του TIM8 για την οδήγηση του κινητήρα είναι:

$$\frac{APB2}{x * \text{Counter Period}} = \text{Presc} \quad x=3016 \text{ Hz}$$

$$\frac{100 * 10^6}{x * 255} = 131 - 1$$



Εικόνα 2.55 Διαμόρφωση εύρους παλμού (PWM)[37]

Pin οδήγησης κινητήρα

- **VCC** : Τροφοδοσία μονάδας +5V
- **GND** : Γείωση
- **Channel 1**
- **IS-R**: Σήμα εισόδου για ανίχνευση υψηλού ρεύματος – δεξιά περιστροφή
- **IS-L**: Σήμα εισόδου για ανίχνευση υψηλού ρεύματος – αριστερή περιστροφή
- **Channel 2**

- **EN-R:** Σήμα εξόδου για έλεγχο κατεύθυνσης κινητήρα – δεξιά περιστροφή
- **EL-L:** Σήμα εξόδου για έλεγχο κατεύθυνσης κινητήρα – αριστερή περιστροφή
- **WM-R:** Σήμα PWM για τον έλεγχο της ταχύτητας του κινητήρα – δεξιά περιστροφή
- **PWM-L:** Σήμα PWM για τον έλεγχο της ταχύτητας του κινητήρα – αριστερή περιστροφή

#### **Pin κινητήρα (Υψηλό ρεύμα):**

- **M+:** Θετικός πόλος κινητήρα
- **M-:** Αρνητικό πόλος κινητήρα
- **B+:** Θετικός πόλος μπαταρίας
- **B-:** Αρνητικός πόλος μπαταρίας

Επισήμανση ότι στην κατασκευή του συστήματος δεν χρησιμοποιείται το μέγιστο PWM.

Εως (165 dec ) τιμή στην οποία αντιστοιχί ποσοστό 64.7%

Τα σήματα ενεργοποιησείς εισόδου για τον έλεγχο δεξιά η αριστερη κίνηση, τροφοδοτούνται με 5V καθώς επίσης και είσοδος PWM [36].

## 2.18 Μικροελεγκτής

### 2.18.1 Εισαγωγή

Σε συστήματα τα οποία έχουν κρισιμότητα ως προς τον χρόνο (Real time) και όχι μόνο, οι μικροελεγκτές προσφέρουν την κατάλληλη απάντηση.

Το υλικό που βασίζεται σε μικροελεγκτή μπορεί να χρησιμοποιηθεί χωρίς μετατροπές (με παραμετροποίηση του προγράμματος) σε ποικιλία εφαρμογών, ενώ ένα ψηφιακό σύστημα που κατασκευάζεται με πύλες χρησιμοποιείται μόνο σε μια εφαρμογή. Έτσι, με τους μικροεπεξεργαστές το πρόβλημα της σχεδίασης ψηφιακών συστημάτων μετατοπίστηκε από το υλικό στο λογισμικό και η σχεδίαση απαλλάχθηκε από την ακαμψία του υλικού[38].-> ΔΟΜΗ & ΛΕΙΤΟΥΡΓΙΑ ΜΙΚΡΟΥΠΟΛΟΓΙΣΤΩΝ 2<sup>ου</sup> ΚΥΚΛΟΥ σελ.71

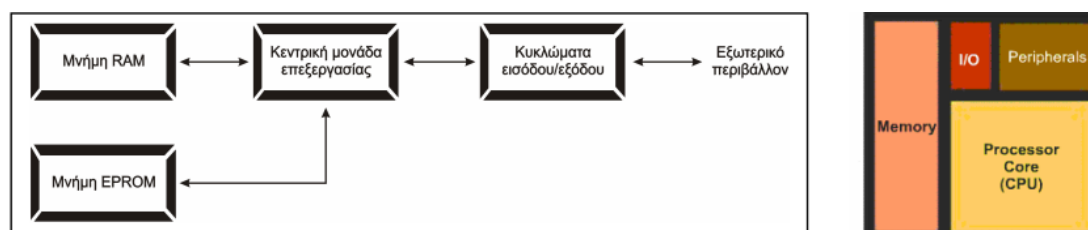
Ένας μικροελεγκτής είναι ένα μικρό υπολογιστικό κύκλωμα, σχεδιασμένο σε ένα και μόνο ολοκληρωμένο κύκλωμα υψηλής κλίμακας ολοκλήρωσης. Όπως κάθε υπολογιστικό κύκλωμα, περιέχει κεντρική μονάδα επεξεργασίας, έναν αριθμό καταχωρητών, κυκλώματα μνήμης και κυκλώματα ελέγχου περιφερειακών συσκευών. Κάθε μικροελεγκτής είναι λοιπόν ικανός να ανταλλάξει σήματα με το εξωτερικό περιβάλλον, να εκτελέσει πράξεις ανάμεσα σε μεταβλητές και να καταχωρήσει κάποιες τιμές στη μνήμη RAM που διαθέτει.

Κάθε μικροελεγκτής περιέχει μέσα σε ένα και μοναδικό ολοκληρωμένο κύκλωμα τα παρακάτω στοιχεία:

Έναν αριθμό από καταχωρητές ειδικού σκοπού (συσσωρευτή, καταχωρητή κατάστασης, μετρητή προγράμματος, καταχωρητή εντολών, καταχωρητή δείκτη), εσωτερικούς χρονιστές - απαριθμητές αριθμητική και λογική μονάδα (ALU), μονάδα αποκωδικοποίησης εντολών.

Βασικά στοιχεία ενός μικροελεγκτή αποτελούν:

Η μνήμη προγράμματος (ROM ή EPROM) και η μνήμη καταχωρητών / μεταβλητών (RAM).



Εικόνα 2.56 Βασική δομή ενός μικροελεγκτή[39]

Στους μικροελεγκτές διακρίνουμε επίσης τα κυκλώματα χρονισμού και ελέγχου. Τέλος, βασικά μέρη ενός μικροελεγκτή είναι παράλληλες θύρες εισόδου/εξόδου αλλά περιφερειακά κυκλώματα (UART, A/D μετατροπείς κλπ.).

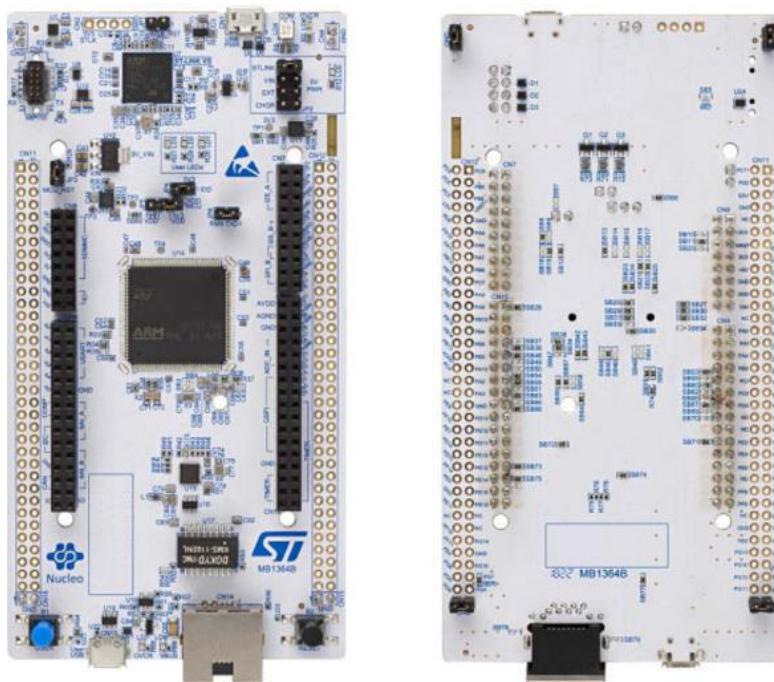
Μέσα από τις θύρες I/O ένας μικροελεγκτής μπορεί να δέχεται σήματα εισόδου με τη μορφή λογικών ψηφιακών καταστάσεων, χαρακτήρες ή bytes δεδομένων με την τεχνική της ασύγχρονης ή της σύγχρονης σειριακής επικοινωνίας, σήματα διακοπών, ή σε ορισμένες περιπτώσεις και αναλογικά σήματα, τα οποία στη συνέχεια μετατρέπονται σε ψηφιακά. Επίσης μπορεί να αποστέλλει σήματα σε άλλες συσκευές μέσα από θύρες εξόδου, να οδηγεί ηλεκτρονόμους, διόδους LED και άλλα κατάλληλα κυκλώματα, που συνήθως περιλαμβάνονται σε κάθε μορφής αυτοματισμό.[39]

## Κεφαλαίο 3<sup>ο</sup>: Προγραμματισμός μικροελεγκτή

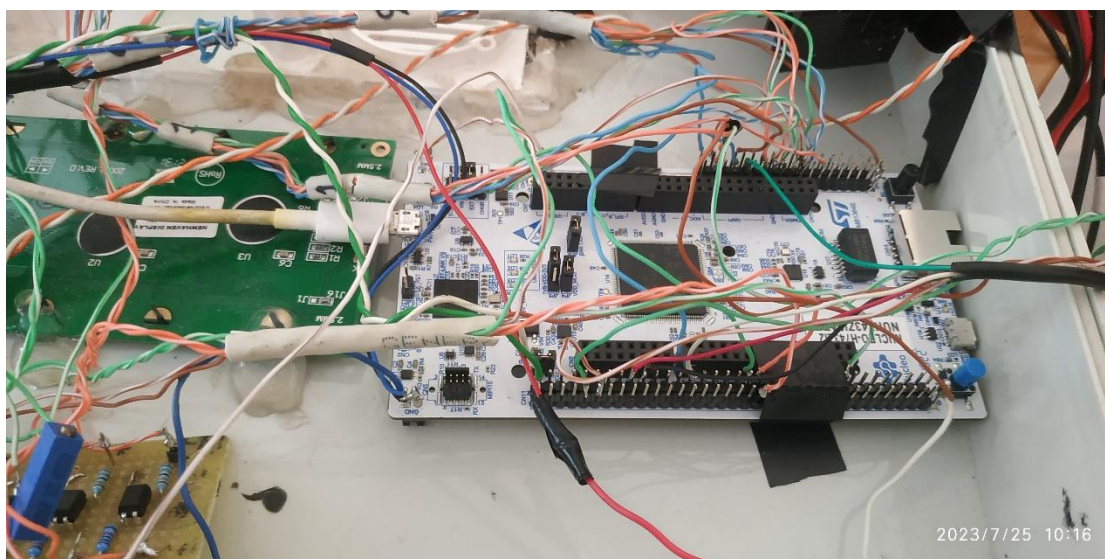
### 3.1 STM32h743zit6u

Η υλοποίηση της παρούσας πτυχιακής επιτεύχθηκε με τον μικροελεγκτή STM32H743ZIT6U της εταιρίας ST microelectronics.

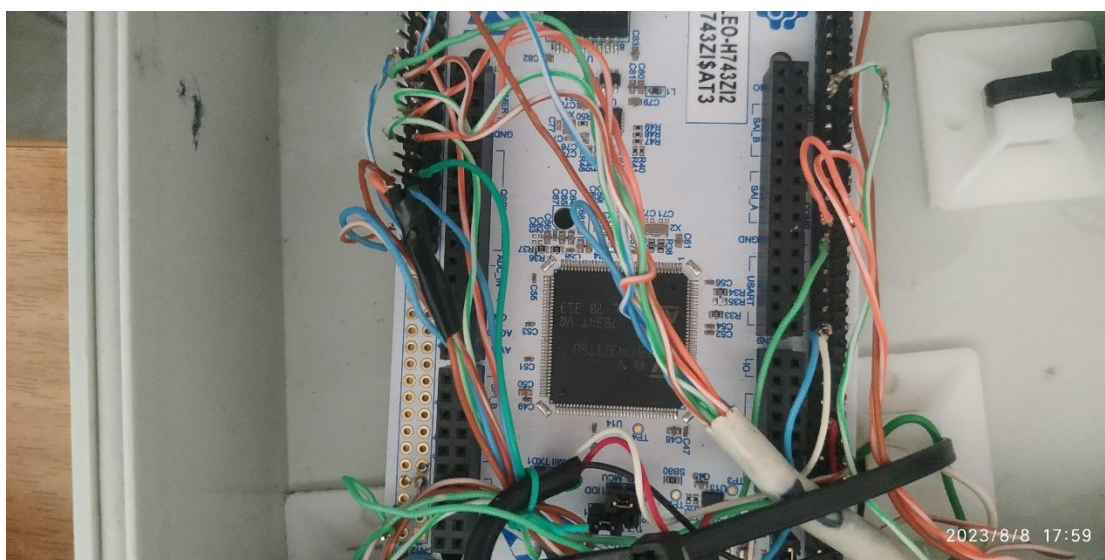
Ο πυρήνας επεξεργαστή **Arm® Cortex®-M7 32-bit** προσφέρει την καλύτερη απόδοση μεταξύ της σειράς Cortex-M. Διαθέτει αποκλειστικά **μπλοκ IP Επεξεργασίας Ψηφιακού Σήματος Digital signal processing (DSP)**, συμπεριλαμβανομένης μιας προαιρετικής **μονάδας κινητής υποδιαστολής διπλής ακρίβειας (FPU)**. Τα χαρακτηριστικά υψηλής απόδοσης του πυρήνα Arm Cortex-M7 αντιμετωπίζουν τέλεια τις απαιτητικές εφαρμογές ελέγχου ψηφιακού σήματος, οι οποίες απαιτούν αποτελεσματικό, εύχρηστο έλεγχο, χωρίς την ανάγκη περίπλοκων λειτουργικών συστημάτων. Τυπικά παραδείγματα εφαρμογών περιλαμβάνουν το IoT, τον έλεγχο κινητήρα, τη διαχείριση ισχύος, τον ενσωματωμένο ήχο, συμπεριλαμβανομένης της αναγνώρισης φωνής, τον βιομηχανικό και οικιακό αυτοματισμό, την υγειονομική περίθαλψη και τις εφαρμογές ευεξίας.[40]



Εικόνα 3.1 Πλακέτα Nucleo- STM32H743zi2 [41]



Εικόνα 3.2 Συνδέσεις καλωδίων με επεξεργαστή



Εικόνα 3.3 Συνδέσεις καλωδίων με επεξεργαστή



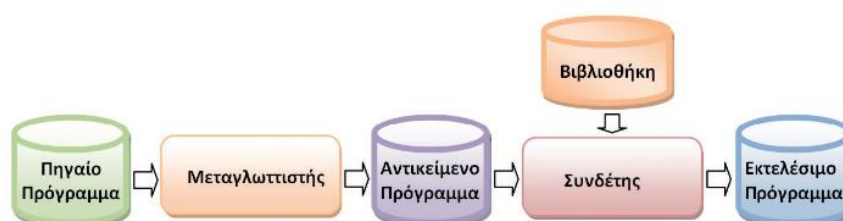
Εικόνα 3.4 Ολική φωτογραφία κατασκευής



Η αναπτυξιακή πλακέτα STM32H743zi2 Nucleo-144 διαθέτει εργαλείο προγραμματισμού και εντοπισμού σφαλμάτων STLINK-V3E. Οι debuggers είναι εργαλεία λογισμικού που επιτρέπουν στον προγραμματιστή να παρακολουθεί την εκτέλεση του προγράμματος, να τη σταματά, να την επανεκκινεί, να ορίζει σημεία διακοπής (breakpoints) και να αλλάζει τιμές στη μνήμη [43]. Υπάρχουν δύο διαφορετικοί τρόποι προγραμματισμού ή εντοπισμού σφαλμάτων του ενσωματωμένου STM32H743zi2 MCU: • Χρήση του ενσωματωμένου STLINK-V3E • Χρήση εξωτερικού εργαλείου εντοπισμού σφαλμάτων συνδεδεμένο στην υποδοχή MIPI-10 (CN5). Το ενσωματωμένο STLINK-V3E υποστηρίζει μόνο SWD(serial wire debug) και VCP (virtual com port ) για συσκευές STM32H7 [44].

### 3.2 Ποια η διαδικασία ανάπτυξης προγράμματος

Η διαδικασία προγραμματισμού χρίζει ένα σύνολο εργαλείων, από τον πηγαίο κώδικα έως και την ολοκλήρωση του εκτελέσιμου προγράμματος.



Εικόνα 3.7 Διαδικασία ανάπτυξης προγράμματος [45]

Τα κύρια εργαλεία που χρησιμοποιεί ένας προγραμματιστής για να αναπτύξει μία εφαρμογή σε μία συγκεκριμένη γλώσσα προγραμματισμού υψηλού επιπέδου είναι:

Ενας συντάκτης κειμένων (editor) με τον οποίο και γράφει το αρχικό πρόγραμμα, που ονομάζεται πηγαίο πρόγραμμα ή κώδικας (source code). Το αρχείο που περιέχει τον πηγαίο κώδικα στη C συνήθως έχει επέκταση \*.c. Στη C++ δίνεται συνήθως η επέκταση \*.cpp. ένα μεταφραστικό πρόγραμμα (μεταγλωττιστή ή διερμηνευτή), το οποίο μεταφράζει το πηγαίο πρόγραμμα σε αντικείμενο πρόγραμμα ή κώδικα (object code).

Το μεταφραστικό πρόγραμμα ελέγχει το πηγαίο πρόγραμμα για συντακτικά λάθη, εμφανίζει κατάλληλα διαγνωστικά μηνύματα, εάν βρεθούν λάθη, και μόνο αν δεν υπάρχουν λάθη παράγεται το αντικείμενο πρόγραμμα. Το αντικείμενο πρόγραμμα είναι σε γλώσσα μηχανής, αλλά δεν είναι ακόμη εκτελέσιμο από τον υπολογιστή και πρέπει να περάσει από κάποιες άλλες διαδικασίες ένα ειδικό πρόγραμμα που ονομάζεται συνδέτης (linker), το οποίο πολλές φορές συνδέει το αντικείμενο πρόγραμμα ή ένα σύνολο από αντικείμενα προγράμματα με έτοιμα υποπρογράμματα της βιβλιοθήκης της γλώσσας προγραμματισμού ή του προγραμματιστή. Το τελικό πρόγραμμα που παράγεται είναι το εκτελέσιμο πρόγραμμα ή κώδικας (executable

code), είναι διατυπωμένο σε γλώσσα μηχανής και μπορεί να εκτελεστεί άμεσα από τον επεξεργαστή του υπολογιστή.

Εργαλεία εντοπισμού λαθών (debuggers) με τα οποία ο προγραμματιστής παρακολουθεί τι ακριβώς συμβαίνει στο παρασκήνιο κατά την εκτέλεση ενός προγράμματος. Ένα περιβάλλον (λογισμικό) που περιλαμβάνει τα παραπάνω εργαλεία και χρησιμοποιείται για την ανάπτυξη εφαρμογών ονομάζεται προγραμματιστικό περιβάλλον ή περιβάλλον ανάπτυξης εφαρμογών [45].

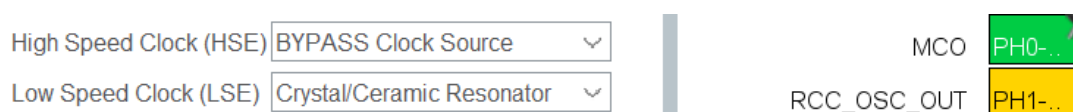
### 3.3 Λειτουργία συστήματος αλιείας

Ο μικροελεγκτής χρησιμοποιεί πυρήνα ARM Cortex-M7 αρχιτεκτονικής 32 bit και μέγιστη λειτουργία ταχύτητας 480Mhz. Στην παρούσα πτυχιακή χρησιμοποιείται λειτουργία ταχύτητας με 200Mhz.

Ο χρονισμός του συστήματος είναι η βασική αρχή στον μικροελεγκτή. Η πλακέτα βασίζεται σε εξωτερικό κρύσταλλο HSE, οπότε ενεργοποιείται το περιφερειακό (Reset and Clock Control) RCC. Καθώς ενεργοποιηθεί ο εξωτερικός ταλαντωτής, μπορούμε να καθορίσουμε την συχνότητα (μέσα στο μπλε πλαίσιο με την ένδειξη «Input Frequency») και για να διαμορφώσετε το κύριο PLL για την επιθυμητή ταχύτητα SYSCLK .

Διαφορετικά, η συχνότητα εισόδου εξωτερικού ταλαντωτή μπορεί να χρησιμοποιείται απευθείας ως ρολόι πηγής.

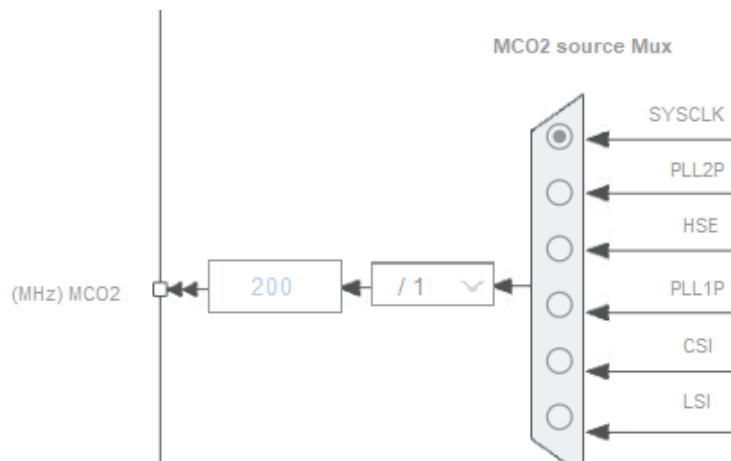
Η ρύθμιση BYPASS Clock Source χρησιμοποιείται ως μια εξωτερική πηγή ρολογιού. Η πηγή ρολογιού δημιουργείται από άλλη ενεργή συσκευή. Αυτό σημαίνει ότι το RCC\_OSC\_OUT μένει αχρησιμοποίητο και είναι δυνατό για να χρησιμοποιηθεί ως κανονικό GPIO.



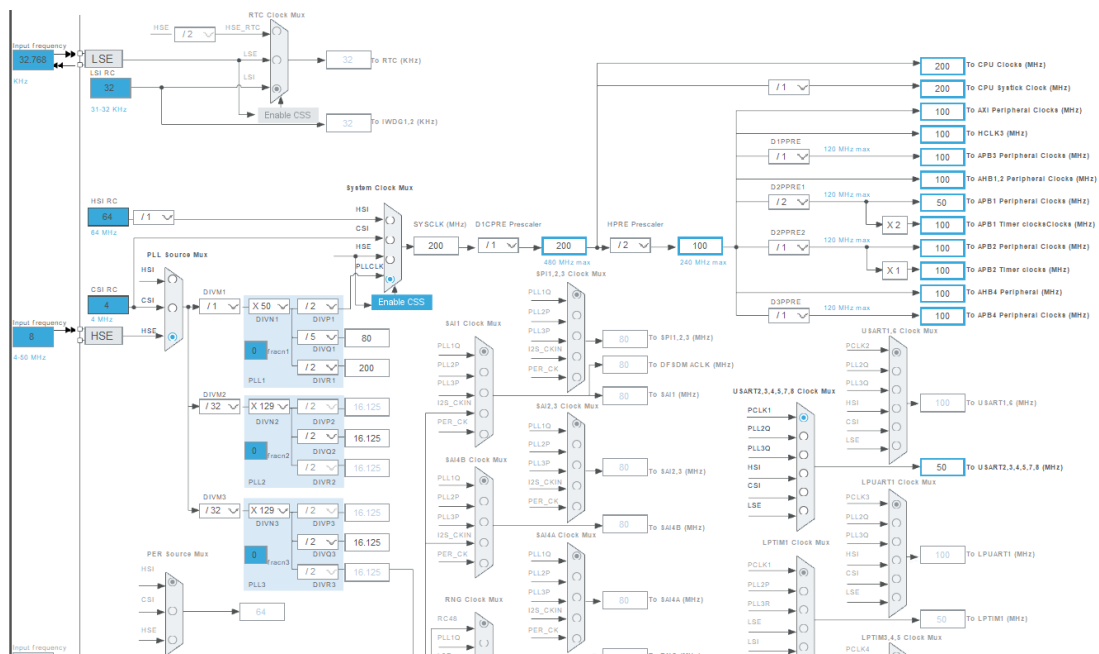
Εικόνα 3.8 Ενεργοποίηση HSE.

Το περιφερειακό RCC επιτρέπει επίσης την ενεργοποίηση της εξόδου Master Clock Output (MCO), η οποία είναι μια ακίδα που μπορεί να συνδεθεί σαν πηγή ρολογιού.

Ο ακροδέκτης εξόδου Master Clock Output (MCO) της διεπαφής ST-LINK χρησιμοποιείται ως εξωτερική πηγή ρολογιού για το STM32 MCU. Αυτή η συχνότητα δεν μπορεί να αλλάξει, είναι σταθερή στα 8 MHz. **Η ενεργοποίηση αυτής της επιλογής επιτρέπει τη χρήση του ST-LINK MCO ως HSE.** [Mastering STM32 Release 0.18 σελ.301-303 ] [46].



Εικόνα 3.9 Επιλογή ακίδας MCO για την πηγή ρολογιού



Εικόνα 3.10 Χρονισμός συστήματος

Η τροφοδοσία του συστήματος αλείας παρέχεται εξωτερικά από την μπαταρία των +12V, η πλακέτα του αναπτυξιακού τροφοδοτείται από εξωτερική πηγή των +5V, η οποία πηγή τροφοδοτείται από την πηγή της μπαταρίας. Η λειτουργία του μικροελεγκτή απαιτεί την τροφοδοσία των +3.3V η οποία παρέχεται από τον ενσωματωμένο σταθεροποιητή της αναπτυξιακής πλακέτας. Η πλακέτα διαθέτει επίσης ακροδέκτες, όπως δείχνουν οι παραπάνω εικόνες, οι οποίες συνδέονται στις πόρτες του μικροελεγκτή με σκοπό την σύνδεση εξωτερικών κυκλωμάτων με τα εσωτερικά περιφερειακά.

### 3.3.1 Λήψη και καταγραφή εισόδου

Με την ενεργοποίηση του παλμού, και αυτό γίνεται όταν η καρούλα περιστραφεί για τουλάχιστον κατά 90 μοίρες, οι μαγνήτες νεοδημίου που είναι τοποθετημένοι επάνω στην καρούλα, ενεργοποιούν με την σειρά τους, τους αισθητήρες, και έτσι έχουμε την λήψη του παλμού στην είσοδο του pin PA0 της αναπτυξιακής πλακέτας. Ο TIM2 έχει οριστεί σε Input Capture .

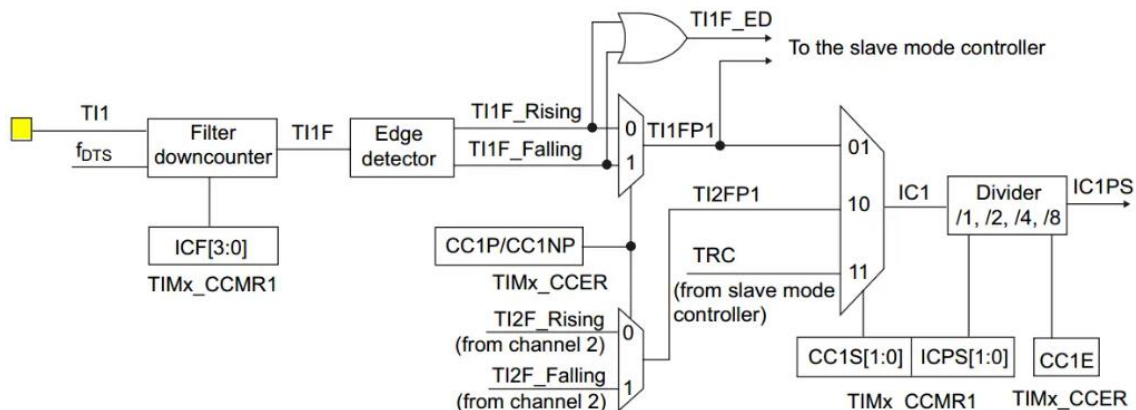
Ο TIM2 είναι συνδεδεμένος στο δίαυλο APB1(Advanced Peripheral Bus), το οποίο λειτουργεί στα 100 MHz, η τιμή του Prescaler είναι στο (100-1), και το ARR (AutoReload Register) στα 4294967295 .

Η ελάχιστη τιμή συχνότητας που θα μπορεί να διαβάσει ο TIM2 θα είναι:

$$TIM2 = 1\text{Mhz}/4294967295 = 2,328 \cdot 10^{-4} \text{ Hz.}$$

Ο TIM2 χρονίζεται από μια εσωτερική πηγή και η τρέχουσα τιμή του καταγράφεται και αποθηκεύεται στον καταχωρητή καταγραφής εισόδου κάθε φορά που συμβαίνει ένα συμβάν στον ακροδέκτη του καναλιού λήψης εισόδου.

Το στάδιο εισόδου για λήψη είναι με ( ψηφιακό φίλτρο, πολυπλεξία και Prescaler) και το στάδιο εξόδου με( σύγκριση και έλεγχο εξόδου). Το στάδιο εισόδου λαμβάνει δείγματα της αντίστοιχης εισόδου TIx για να δημιουργήσει ένα φιλτραρισμένο σήμα TIxF. Στη συνέχεια, ένας ανιχνευτής ακμών με επιλογή πολικότητας παράγει ένα σήμα (TIxFPx) το οποίο μπορεί να χρησιμοποιηθεί ως είσοδος ενεργοποίησης από τον ελεγκτή (To the slave mode controller) ή ως εντολή λήψης. Καθώς έχει προκλιμακωθεί από τον (Prescaler) πριν από τον καταχωρητή καταγραφής (ICxPS)[47] .



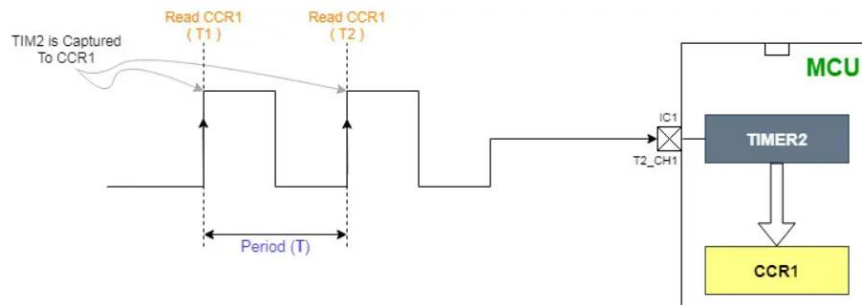
Εικόνα 3.11 Διάγραμμα λήψη/σύγκριση καναλιού [47]

Στη λειτουργία καταγραφής εισόδου, οι καταχωρητές Capture/Compare (TIMx\_CCRx) χρησιμοποιούνται για να κλειδώσουν την τιμή του μετρητή μετά από μια μετάβαση που

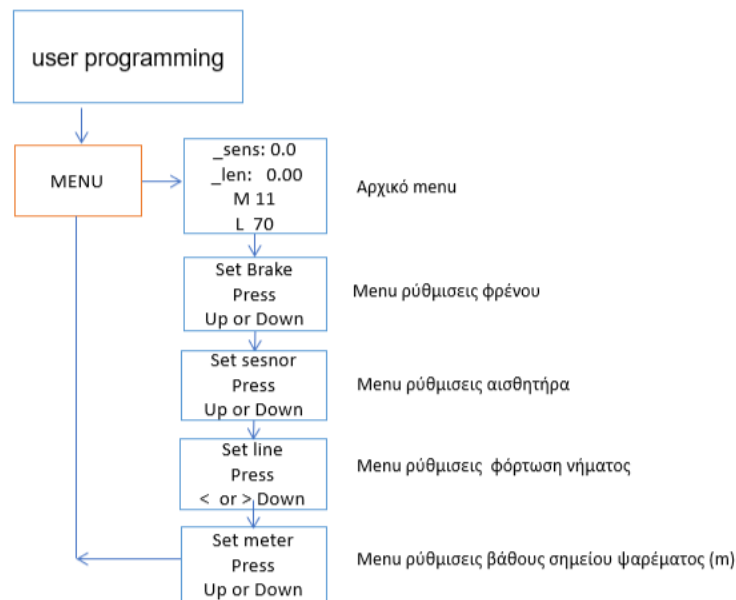
ανιχνεύεται από το αντίστοιχο σήμα ICx. Όταν συμβαίνει μια σύλληψη, ορίζεται η αντίστοιχη σημαία CCXIF (καταχωρητής TIMx\_SR) και μπορεί να σταλεί μια διακοπή ή ένα αίτημα DMA εάν είναι ενεργοποιημένα. Εάν γίνει λήψη ενώ η σημαία CCXIF ήταν ήδη ψηλά, τότε έχει οριστεί η σημαία υπερβολικής λήψης CCxOF (καταχωρητής TIMx\_SR). Το CCXIF μπορεί να διαγραφεί από το λογισμικό γράφοντας το στο 0 ή διαβάζοντας τα δεδομένα που έχουν καταγραφεί που είναι αποθηκευμένα στον καταχωρητή TIMx\_CCRx. Το CCxOF διαγράφεται όταν γράφεται στο 0.

Ο TIM2 χρησιμοποιεί το εσωτερικό ρολόι και διαμορφώνει το CH1 ως λήψη εισόδου σε κάθε ανερχόμενη άκρη.

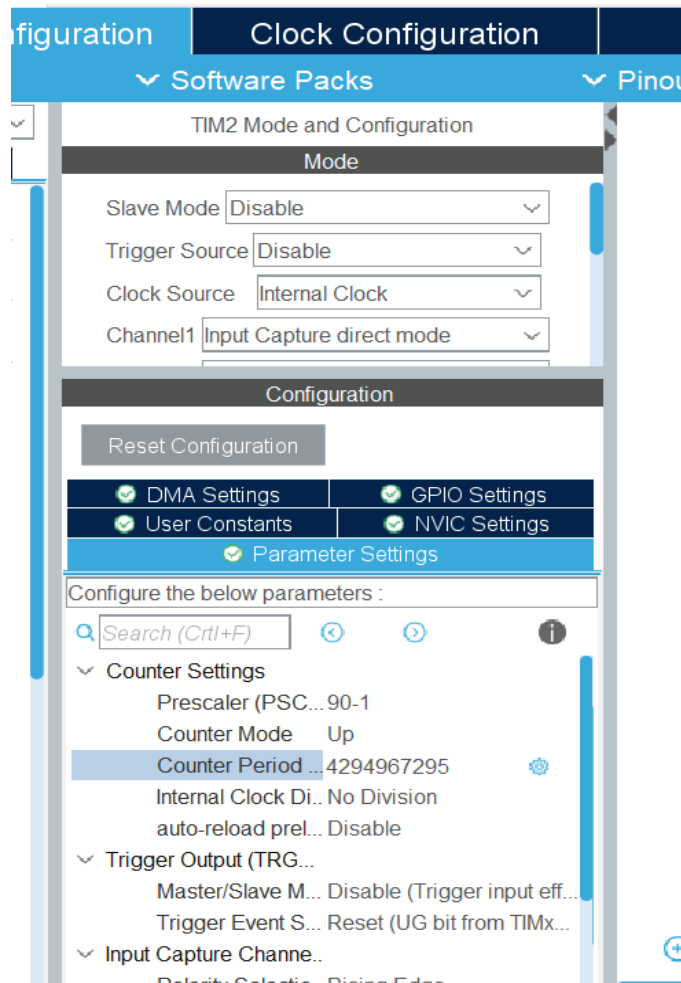
Διαβάζει τον καταχωρητή CCR1 και αποθηκεύει στη μεταβλητή T1 την πρώτη άκρη, στη δεύτερη άκρη διαβάζει πάλι το CCR1 και αποθηκεύει την τιμή στην μεταβλητή στο T2. Η περίοδος του σήματος εισόδου είναι  $T2 - T1$ . [47]



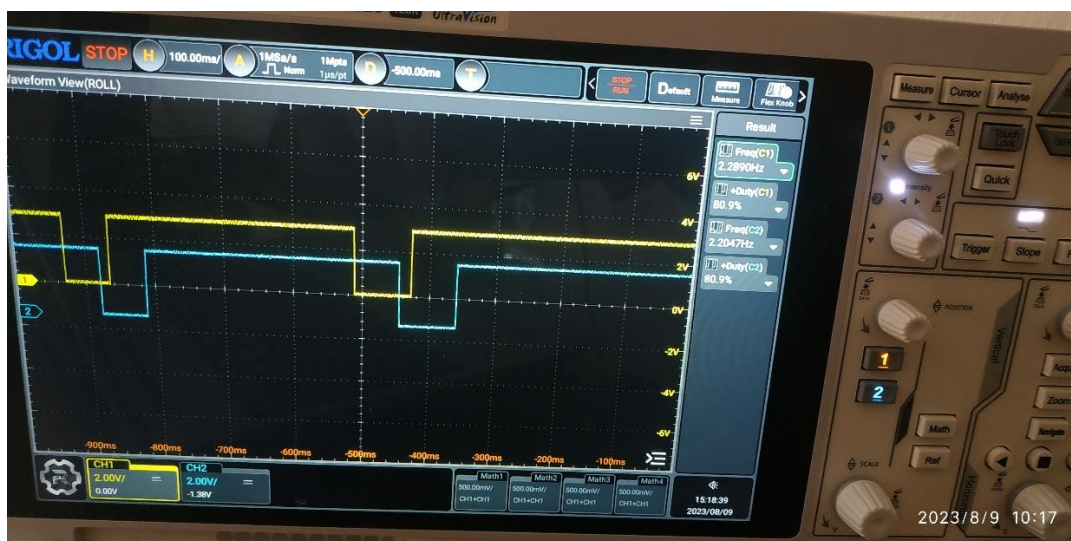
Εικόνα 3.12 Λήψη ακμών σε ανερχόμενο μέτωπο [47]



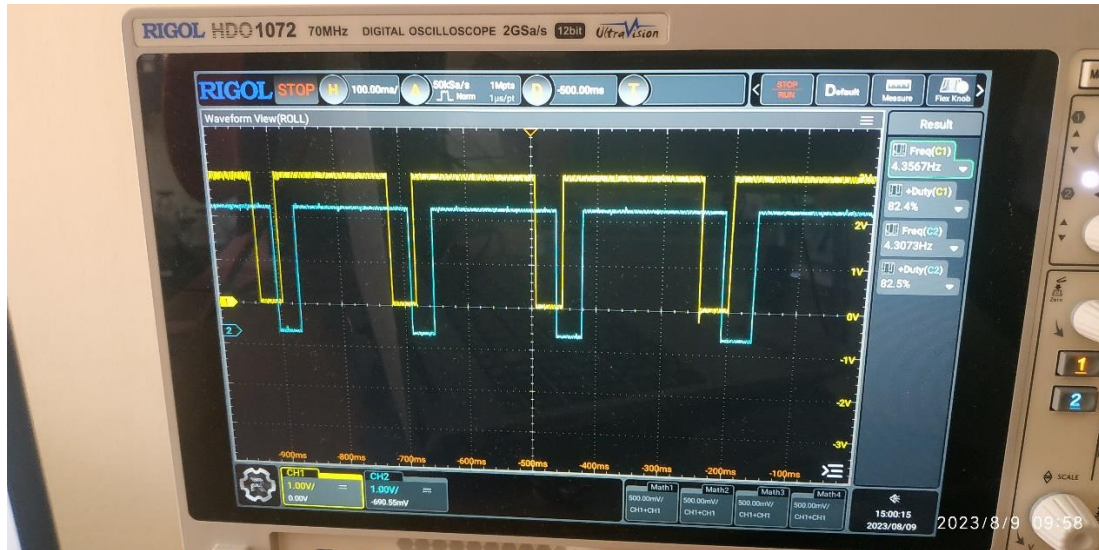
Εικόνα 3.13 Προγραμματισμός χρήστη



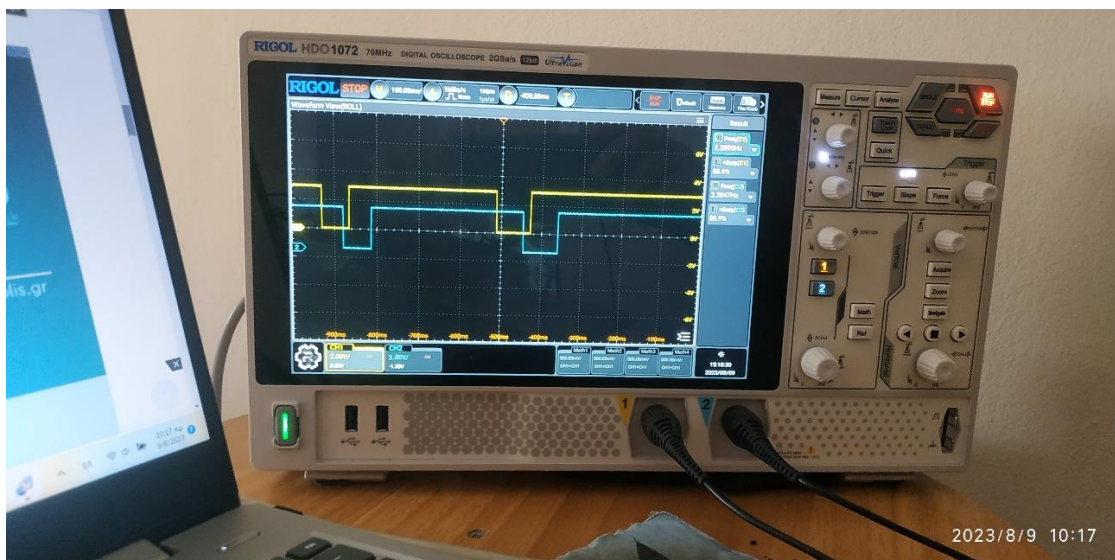
Εικόνα 3.14 Ρύθμιση TIM2 στο STM32CubeIDE



Εικόνα 3.15 Εμφάνιση λήψης παλμού των αισθητήρων από τον παλμογράφο



Εικόνα 3.16 Εμφάνιση λήψης παλμού των αισθητήρων από τον παλμογράφο



Εικόνα 3.17 Εμφάνιση λήψης παλμού των αισθητήρων από τον παλμογράφο

```

//-----
void HAL_TIM_IC_CaptureCallback(TIM_HandleTypeDef *htim)
{
{
    if(State == IDLE)
    {
        T1 = TIM2->CCR1;          // TIM2
        TIM2_OVC = 0;
        State = DONE;          // EA? ΓΙ?EI
    }
    else if(State == DONE)
    {
        T2 = TIM2->CCR1;

        Ticks = (T2 + (TIM2_OVC * 4294967295)) - T1;
        Freq = (F_CLK/Ticks);    // frequency

        if(Freq != 0)
        {
            sec=(Ticks*0.133);    // all time from overflow (NA C
            // sec=(T_ms/1000); // time in sec
        }
    }
}
}
}
//-----

```

Εικόνα 3.18 Λειτουργία του κώδικα λήψης παλμού

## Κεφάλαιο 4ο: Συμπεράσματα – Βελτιώσεις

Παρουσιάστηκε και αναλύθηκε ένας μηχανισμός προγραμματιζόμενου συστήματος αλιείας και υλοποιήθηκε με τον STM32h743 με συνδεδεμένα αισθητήρια για τον βασικό έλεγχο της λήψης του αλιεύματος. Ο κύριος στόχος της εργασίας έχει επιτευχθεί ώστε να υπάρχει σταθερή επικοινωνία πραγματικού χρόνου των αισθητήρων με την αναπτυξιακή πλακέτα. Έτσι ο χρήστης να μην χρειάζεται να έχει την συνεχή επαφή της αίσθησης του νήματος προς το αλίευμα.

Παρουσιάστηκε εκτενέστερα ο κώδικας και ο παλμός για τη λήψη από τους αισθητήρες.

Ο χρήστης αναλαμβάνει αρχικώς τις βασικές ρυθμίσεις, δηλαδή να φορτώσει την ποσότητα του νήματος στην καρούλα, να ρυθμίσει τον αισθητήρα και το φρένο, και να ορίσει σε πόσα μέτρα θέλει να αλιεύσει.

Η κατανάλωση του συστήματος χωρίς βασικά φορτία, του ηλεκτρομαγνήτη και του κινητήρα είναι 390 mA.

Επίσης το κόστος ολόκληρης της κατασκευής ανέρχεται σε 430 ευρώ.

Η πιο σημαντική πρόταση βελτίωσης αφορά την ασφάλεια του συστήματος.

Δεν έχει τοποθετηθεί ασφάλεια, σε περιπτώσεις που εμφανιστεί κάποιο πρόβλημα την ώρα που το νήμα βρίσκεται στον βυθό.

Επίσης, υπάρχει συντονισμός στον ηλεκτρομαγνήτη που δημιουργείται από την συχνότητα των 3Khz την οποία λειτουργεί, και ακούγεται ένα χαμηλό σφήρηγμα.

Ακόμα επίσης η ταχύτητα του κινητήρα 250w δεν είναι στη μέγιστη τιμή του, η πλακέτα οδηγεί σε χαμηλής ισχύος (κινέζικη με κόστος περίπου 8€) και βεβαίως χαμηλής πιστότητας.

Η ακρίβεια των αισθητήρων ως προς την μέτρηση του μήκους του νήματος δεν ενέχει ανοχές, δημιουργούνται όμως ανοχές διότι υπάρχουν πολλά και διαφορετικά είδη ψαρέματος τα οποία θέτουν αλλαγή στο πάχος του νήματος, με αποτέλεσμα να αυξάνει ή να μειώνεται το μήκος του νήματος.

Για την αποφυγή τέτοιων καταστάσεων θα μπορούσε να τοποθετηθούν οι αισθητήρες σε διαφορετικό σημείο της μηχανής και να μετράνε το μήκος ενός μικρού κύκλου και όχι την ποσότητα του νήματος που βρίσκεται επάνω στην καρούλα.

Η ανάλυση ως προς την μικρότερη αύξηση που μπορεί να ανιχνεύσει ο αισθητήρας το μήκος του κύκλου είναι 14,175cm, καθώς ολόκληρος ο κύκλος είναι 56,7cm.

Ακόμη η όλη κατασκευή χρίζει νέο κιβώτιο και νέα κατασκευή πλακέτας με ενσωματωμένες όλες τις μονάδες.

Τέλος μπορούν να γραφούν διαφορετικά προγράμματα για διάφορα είδη αλιείας, το παρόν πρόγραμμα είναι γραμμένο για απλή βασική χρήση (καθετής), καθώς με κάποια παρελκόμενα μπορεί να χειριστεί ψάρεμα συρτής και τσαπαρί.

## BIBΛΙΟΓΡΑΦΙΑ

### Web site

- [1] [https://agrogι.eu/index.php?option=com\\_content&view=article&id=47:%CE%B1%CE%BB%CE%B9%CE%B5%CE%AF%CE%B1&catid=20&Itemid=138](https://agrogι.eu/index.php?option=com_content&view=article&id=47:%CE%B1%CE%BB%CE%B9%CE%B5%CE%AF%CE%B1&catid=20&Itemid=138)
- [2] <https://fish.shimano.com/en-GB/product/reels/electric/a075f00002vmhavqaq.html>
- [3] <https://www.hobbyfishing.gr/product/free-snap-hood-2/>
- [4] <https://w97151.shop.textalk.se/en/ex/jigging-machine-bj5000ex.html>
- [5] <https://ifishing.gr/shop/eidi-alieias/kalami-shimano-technium-xf78/>
- [6] <https://www.roycecrossgroup.com/EC250120/Transtecno-12v-DC-Motor-250W%2C-3000RPM%2C-D63-B14A-Flange%2C-11mm-Shaft%2C-IP44/pd.php>
- [7] [http://eclass.opencourses.teicm.gr/eclass/modules/document/file.php/TMA112/mix\\_hm\\_05\\_DC\\_MOTORS.pdf](http://eclass.opencourses.teicm.gr/eclass/modules/document/file.php/TMA112/mix_hm_05_DC_MOTORS.pdf)
- [8] <https://in.pinterest.com/pin/dc-motor-or-direct-current-motor-what-is-it-diagram-included--762304674435817622/>
- [9] <https://docplayer.gr/56248408-l-ergasia-ayti-afieronetai-ston-horigo-moy-zagora-foteino-gia-tin-ypostirixi-kai-tin-ypomoni-toy-kata-ti-diarkeia-ton-spoydon-moy.html>
- [10] <https://www.boznos.gr/etaireia/nea/item/42-meiotiras-ti-einai>
- [11] <https://el.wikipedia.org/wiki/%CE%A0%CE%BB%CE%B7%CE%BA%CF%84%CF%81%CE%BF%CE%BB%CF%8C%CE%B3%CE%B9%CE%BF>
- [12] <https://solderingmind.com/150w-dc-dc-boost-converter-schematic/>
- [13] <https://www.tziola.gr/book/ilektronika-ischyos-2i-ekdosi/> [Βιβλίο θεωρίας Ηλεκτρονικά ισχύος Ιορδάνης Κιοσκερίδης σελ.28-30]
- [14] <https://www.tziola.gr/book/ilektronika-ischyos-2i-ekdosi/> [Βιβλίο θεωρίας Ηλεκτρονικά ισχύος Ιορδάνης Κιοσκερίδης σελ.456]
- [15] <https://solderingmind.com/wp-content/uploads/2023/06/150w-dc-dc-boost-converter-schematics.jpg>
- [16] <https://www.infineon.com/cms/en/product/sensor/magnetic-sensors/magnetic-position-sensors/magnetic-switches/tle4905/>
- [17] [https://eclass.emt.ihu.gr/modules/document/file.php/ED153/2.%20%CE%94%CE%99%CE%91%CE%9B%CE%95%CE%9E%CE%95%CE%99%CE%A3%20%CE%9C%CE%91%CE%98%CE%97%CE%9C%CE%91%CE%A4%CE%9F%CE%A3/%CE%98%CE%95%CE%A9%CE%A1%CE%97%CE%A4%CE%99%CE%9A%CE%9F%20%CE%9C%CE%95%CE%A1%CE%9F%CE%A3/1\\_%CE%95%CE%B9%CF%83%CE%B1%CE%B3%CF%89%CE%B3%CE%AE%20%CF%83%CF%84%CE%BF%](https://eclass.emt.ihu.gr/modules/document/file.php/ED153/2.%20%CE%94%CE%99%CE%91%CE%9B%CE%95%CE%9E%CE%95%CE%99%CE%A3%20%CE%9C%CE%91%CE%98%CE%97%CE%9C%CE%91%CE%A4%CE%9F%CE%A3/%CE%98%CE%95%CE%A9%CE%A1%CE%97%CE%A4%CE%99%CE%9A%CE%9F%20%CE%9C%CE%95%CE%A1%CE%9F%CE%A3/1_%CE%95%CE%B9%CF%83%CE%B1%CE%B3%CF%89%CE%B3%CE%AE%20%CF%83%CF%84%CE%BF%)

[CF%85%CF%82%20%CE%91%CE%B9%CF%83%CE%B8%CE%B7%CF%84%CE%AE%CF%81%CE%B5%CF%82.pdf](#)

[18]

[https://www.mouser.com/datasheet/2/196/Data Sheet TLE49x5L Family V1 5-57396.pdf](https://www.mouser.com/datasheet/2/196/Data_Sheet_TLE49x5L_Family_V1_5-57396.pdf)

[19] <https://eu.mouser.com/ProductDetail/Newhaven-Display/NHD-0420E2Z-NSW-BBW?qs=3vk7fz9CmNwAEidaKnp9zQ%3D%3D>

[20] <https://www.porlidas.gr/AVR/LCD2x16Gr.htm>

[21] <https://www.tme.eu/Document/8aa8ed83dc2f8e8a5f3ad4a71fd201bc/lm7805.pdf>

[22] [https://en.m.wikipedia.org/wiki/File:LM7805\\_with\\_Decoupling\\_Capacitor.svg](https://en.m.wikipedia.org/wiki/File:LM7805_with_Decoupling_Capacitor.svg)

[23] <https://www.electronicsforu.com/technology-trends/learn-electronics/7805-ic-voltage-regulator>

[24] [https://en.wikipedia.org/wiki/Galvanic\\_isolation](https://en.wikipedia.org/wiki/Galvanic_isolation)

[25]

[https://global.sharp/products/device/lineup/data/pdf/datasheet/PC817XxNSZ1B\\_e.pdf](https://global.sharp/products/device/lineup/data/pdf/datasheet/PC817XxNSZ1B_e.pdf)

[26]

<https://www.infineon.com/dgdl/irlz44npbf.pdf?fileId=5546d462533600a40153567217c3272>

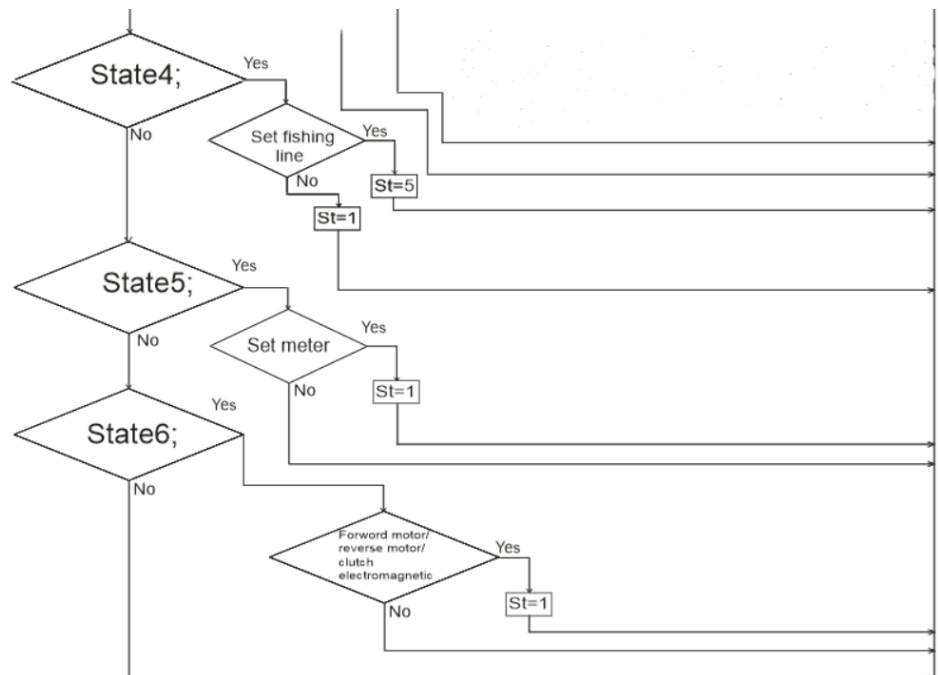
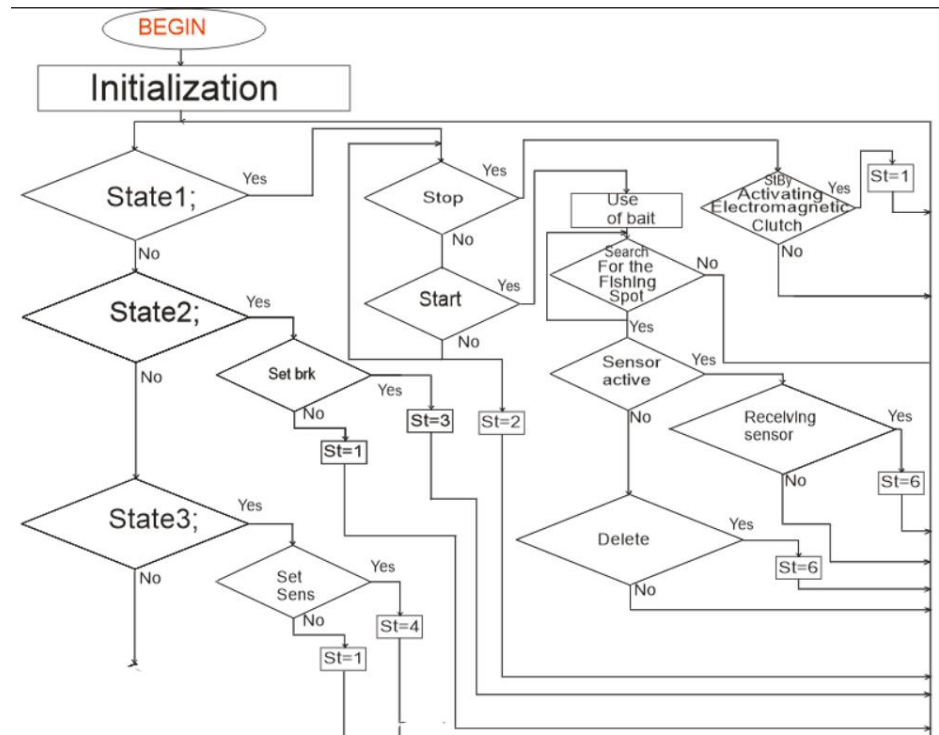
[27] <https://el.wikipedia.org/wiki/USB>

[28] <https://www.skroutz.gr/s/29652162/Mpouton-diplo-F22-START-STOP-NO-NC-4A-B102K20KY-EMAS.html>

[29] <https://badu.gr/%CE%BA%CF%8D%CF%81%CE%B9%CE%BF%CF%82-%CE%B4%CE%B9%CE%B1%CE%BA%CF%8C%CF%80%CF%84%CE%B7%CF%82-%CE%BC%CF%80%CE%B1%CF%84%CE%B1%CF%81%CE%AF%CE%B1%CF%82-%CE%B1%CF%85%CF%84%CE%BF%CE%BA%CE%B9%CE%BD%CE%AE%CF%84%CE%BF%CF%85-%CE%B1%CF%80%CE%BF%CF%83%CF%8D%CE%BD%CE%B4%CE%B5%CF%83%CE%B7-%CF%80%CE%B5%CF%81%CE%B9%CF%83%CF%84%CF%81%CE%BF%CF%86%CE%B9%CE%BA%CF%8C%CF%82-%CE%B4%CE%B9%CE%B1%CE%BA%CF%8C%CF%80%CF%84%CE%B7%CF%82-%CF%86%CE%BF%CF%81%CF%84%CE%B7%CE%B3%CF%8C-%CE%B8%CE%B1%CE%BB%CE%AC%CF%83%CF%83%CE%B9%CE%BF%CF%85-%CF%83%CE%BA%CE%AC%CF%86%CE%BF%CF%85%CF%82-cut-off-isolator-kill-switch-300a-p-674257.html>

- [33] <http://www.eureka.teithe.gr/jspui/bitstream/123456789/13752/1/%CE%91%CE%93%CE%93%CE%95%CE%9B%CE%91%CE%9A%CE%9F%CE%A3%20%CE%93%CE%95%CE%A9%CE%A1%CE%93%CE%99%CE%9F%CE%A3.pdf>
- [34] <https://depositphotos.com/gr/similar-vectors/336725254.html>
- [35] <https://technolysis-hts.gr/%CE%B2%CE%B1%CF%83%CE%B7-%CE%B3%CE%BD%CF%89%CF%83%CE%B5%CF%89%CE%BD/%CE%B1%CF%85%CF%84%CF%8C%CE%BD%CE%BF%CE%BC%CE%B1-%CF%86%CF%89%CF%84%CE%BF%CE%B2%CE%BF%CE%BB%CF%84%CE%B1%CF%8A%CE%BA%CE%AC/>
- [36] <https://www.mybotic.com.my/bts7960-motor-driver-module-43a>
- [37] <https://docs.arduino.cc/tutorials/generic/secrets-of-arduino-pwm>
- [38] <http://ebooks.edu.gr/ebooks/handle/8547/3864> ΔΟΜΗ & ΛΕΙΤΟΥΡΓΙΑ ΜΙΚΡΟΥΠΟΛΟΓΙΣΤΩΝ 2<sup>ου</sup> ΚΥΚΛΟΥ σελ.71
- [39] [http://teachers.cm.ihu.gr/kalomiros/Mtptx/e-books/Embedded\\_PIC\\_new.pdf](http://teachers.cm.ihu.gr/kalomiros/Mtptx/e-books/Embedded_PIC_new.pdf)
- [40] [https://www.st.com/content/st\\_com/en/arm-32-bit-microcontrollers/arm-cortex-m7.html](https://www.st.com/content/st_com/en/arm-32-bit-microcontrollers/arm-cortex-m7.html)
- [41] [https://www.st.com/resource/en/user\\_manual/um2407-stm32h7-nucleo144-boards-mb1364-stmicroelectronics.pdf](https://www.st.com/resource/en/user_manual/um2407-stm32h7-nucleo144-boards-mb1364-stmicroelectronics.pdf)
- [42] [https://www.st.com/resource/en/user\\_manual/um2407-stm32h7-nucleo144-boards-mb1364-stmicroelectronics.pdf](https://www.st.com/resource/en/user_manual/um2407-stm32h7-nucleo144-boards-mb1364-stmicroelectronics.pdf)
- [43] <https://el.wikipedia.org/wiki/%CE%91%CF%80%CE%BF%CF%83%CF%86%CE%B1%CE%BB%CE%BC%CE%AC%CF%84%CF%89%CF%83%CE%B7>
- [44] [https://www.st.com/resource/en/user\\_manual/um2407-stm32h7-nucleo144-boards-mb1364-stmicroelectronics.pdf](https://www.st.com/resource/en/user_manual/um2407-stm32h7-nucleo144-boards-mb1364-stmicroelectronics.pdf)
- [45] [http://ebooks.edu.gr/ebooks/v/html/8547/2714/Pliroforiki\\_A-Lykeiou\\_html-empl/index2\\_6.html](http://ebooks.edu.gr/ebooks/v/html/8547/2714/Pliroforiki_A-Lykeiou_html-empl/index2_6.html)
- [46] <https://leanpub.com/mastering-stm32> [Mastering STM32 Release 0.18 σελ.301-303 ]
- [47] [https://deepbluembedded.com/stm32-input-capture-frequency-measurement-example-timer-input-capture-mode/#google\\_vignette](https://deepbluembedded.com/stm32-input-capture-frequency-measurement-example-timer-input-capture-mode/#google_vignette)

Παρουσίαση σχηματικού διαγράμματος ροής του κώδικα



## ΠΑΡΑΡΤΗΜΑ Β

Παρουσίαση διαγράμματος ροής του κώδικα

```
main.c
19 /* USER CODE END Header */
20 /* Includes -----
21 #include "main.h"
22 #include "string.h"
23
24 /* Private includes -----
25 /* USER CODE BEGIN Includes */
26 //#include "i2c-lcd.h"
27 #include "tm_stm32f4_hd44780.h"
28 #include "string.h"
29 #include "stm32h7xx_hal.h"
30 #include "stdio.h"
31 #include "FLASH_SECTOR_H7.h"
32 #include "keypad.h"
33 #include <stdlib.h>
34
35 /* USER CODE END Includes */
36
37 /* Private typedef -----
38 /* USER CODE BEGIN PTD */
39 #define KEYPAD_NO_PRESSED          0xFF
40 #define IDLE      0
41 #define DONE      1
42 #define F_CLK 100000000UL // from 200.....UL
43
44 #define ROW_1_Pin GPIO_PIN_3
45 #define ROW_1_GPIO_Port GPIOA
46 #define COL_1_GPIO_Port GPIOF // define port F
47 #define COL_1_Pin GPIO_PIN_5 // define number pin 5
48 #define COL_2_Pin GPIO_PIN_10
49 #define COL_2_GPIO_Port GPIOF
50 #define COL_3_Pin GPIO_PIN_12
51 #define COL_3_GPIO_Port GPIOF
52 #define COL_4_Pin GPIO_PIN_15
53 #define COL_4_GPIO_Port GPIOD
54 #define COL_5_Pin GPIO_PIN_3
55 #define COL_5_GPIO_Port GPIOF
56 #define COL_6_Pin GPIO_PIN_4
57 #define COL_6_GPIO_Port GPIOF
58 #define COL_7_Pin GPIO_PIN_0
59 #define COL_7_GPIO_Port GPIOC
```

```

main.c
64 #define IN1_D1_PIN          GPIO_PIN_1
65 #endif
66 #ifndef IN2_D2_PIN
67 #define IN2_D2_PORT          GPIOD
68 #define IN2_D2_PIN          GPIO_PIN_2
69 #endif
70 #ifndef IN3_D3_PIN
71 #define IN3_D3_PORT          GPIOD
72 #define IN3_D3_PIN          GPIO_PIN_3
73 #endif
74 #ifndef IN4_D4_PIN
75 #define IN4_D4_PORT          GPIOD
76 #define IN4_D4_PIN          GPIO_PIN_4
77 #endif
78
79 char c;
80 char buf18;
81 char buf [20];
82 char buf0 [20];
83 char buf1 [30];
84 char buf2 [20];
85 char buf3 [20];
86 char buf4 [20];
87 char buf5 [20];
88 char buf6 [20];
89 char str2 [20];
90 char arr0 [20]={"*"};
91 char arr1 [20]={"Stb"};
92 char arr13 [20]={" "};
93 char arr14 [20]={" "};
94
95
96 char arr2 [15] [20]={
97     "_ Set line",
98     "_ press ",
99     "_ < or >"
100
101 };
102 char arr2_1 [15] [20]={
103     "Load",
104     "m"

```

```

main.c ✖
112
113 char arr3 [15] [20]={
114     "_ Set sensor ",
115     "_ Press",
116     "_ Up orDown"
117 };
118 char arr3_1 [15] [20]={
119     "_ Sensor up"
120 };
121 char arr3_2 [15] [20]={
122
123     "_ Sensor down"
124
125 };
126 char arr4 [15] [20]={
127     "_ Set Brake",
128     "_ Press",
129     "_ Up orDown"
130 };
131 char arr4_1 [15] [20]={
132     "_ Brake up"
133
134 };
135 char arr4_2 [15] [20]={
136     "_ Brake down"
137
138
139 };
140 char arr5 [15] [20]={
141     "_ P1",
142     "Press START"
143 };
144
145 char arr6 [15] [20]={
146     "_ Batt"
147 };
148
149 char arr8 [15] [20]={
150     "_ Insert Thread",
151     "_ Press Menu"
152
153
154 };

```

```

main.c
154 };
155 char arr9 [15] [20]={
156     "_ Meter up "
157 };
158 char arr9_1 [15] [20]={
159     "_ Meter down "
160 };
161 char arr9_2 [15] [20]={
162     "_ Set meter",
163     "_ Press",
164     "_ Up orDown"
165 };
166
167 char arr11 [15] [20]={
168     "_ SetP2",
169     "_ Press",
170     "_ Up orDown"
171 };
172 char arr12 [15] [20]={
173     "_ delete"
174
175 };
176 char arr15 [15] [20]={
177     "_ PressMenu"
178
179 };
180
181 char arr16 [15] [20]={
182     "_ Please Wait"
183
184 };
185 char arr17 [16] [20]={
186     "_ Thread is over",
187     "_ Press delete"
188
189 };
190 ETH_DMADescTypeDef DMATxDscrTab[ETH_TX_DESC_CNT] __attribute__((section(".TxDecripSection")));
191

```

```

main.c
196
197 #define FLASH_USER_START_ADDR ADDR_FLASH_SECTOR_7_BANK2 /* Start @ of user Flash area Bank2
198 #define FLASH_USER_END_ADDR (ADDR_FLASH_SECTOR_7_BANK2 - 1) /* End @ of user Flash area Bank2
199
200 /* USER CODE END PD */
201
202 /* Private macro -----*/
203 /* USER CODE BEGIN PM */
204
205 /* USER CODE END PM */
206
207 /* Private variables -----*/
208 #if defined ( __ICCARM__ ) /*!< IAR Compiler */
209
210 #pragma location=0x30040000
211 ETH_DMADescTypeDef DMARxDscrTab[ETH_RX_DESC_CNT]; /* Ethernet Rx DMA Descriptors */
212 #pragma location=0x30040060
213 ETH_DMADescTypeDef DMATxDscrTab[ETH_TX_DESC_CNT]; /* Ethernet Tx DMA Descriptors */
214 #pragma location=0x30040200
215 uint8_t Rx_Buff[ETH_RX_DESC_CNT][ETH_MAX_PACKET_SIZE]; /* Ethernet Receive Buffers */
216
217 #elif defined ( __CC_ARM ) /* MDK ARM Compiler */
218
219 __attribute__((at(0x30040000))) ETH_DMADescTypeDef DMARxDscrTab[ETH_RX_DESC_CNT]; /* Ethernet Rx
220 __attribute__((at(0x30040060))) ETH_DMADescTypeDef DMATxDscrTab[ETH_TX_DESC_CNT]; /* Ethernet Tx
221 __attribute__((at(0x30040200))) uint8_t Rx_Buff[ETH_RX_DESC_CNT][ETH_MAX_PACKET_SIZE]; /* Ethernet
222
223 #elif defined ( __GNUC__ ) /* GNU Compiler */
224
225 ETH_DMADescTypeDef DMARxDscrTab[ETH_RX_DESC_CNT] __attribute__((section(".RxDecripSection"))); /*
226 ETH_DMADescTypeDef DMATxDscrTab[ETH_TX_DESC_CNT] __attribute__((section(".TxDecripSection"))); /*
227 uint8_t Rx_Buff[ETH_RX_DESC_CNT][ETH_MAX_PACKET_SIZE] __attribute__((section(".RxArraySection")));
228
229 #endif
230
231 ETH_TxPacketConfig TxConfig;
232
233 ETH_HandleTypeDef heth;
234
235 TIM_HandleTypeDef htim2;
236 TIM_HandleTypeDef htim4;
237 TIM_HandleTypeDef htim8;
238 TIM_HandleTypeDef htim13;

```

```
main.c ✕
238 TIM_HandleTypeDef htim13;
239 TIM_HandleTypeDef htim15;
240
241 UART_HandleTypeDef huart3;
242
243 /* USER CODE BEGIN PV */
244 //uint32_t flash_Address=0x081E0000;
245
246 uint32_t max=0;
247 uint32_t min=0;
248 uint8_t State = IDLE;
249 uint32_t T1 = 0;
250 uint32_t T2 = 0;
251 uint32_t Ticks = 0;
252 uint16_t TIM2_OVC=0;
253 uint16_t TIM4_OVC=0;
254 uint16_t TIM13_OVC=0;
255 uint32_t Freq = 0;
256 uint32_t Freq2=0;
257 uint32_t Down=0;
258
259 float sensor=0;
260 float RxVal;
261 float RxVal1;
262 //float RxVal2=0;
263 float flag19=0;
264 float a1=0;
265 float du=0;
266 float dt=0;
267 float u3=0;
268 float u1=0;
269 float u2=0;
270 float u=0;
271 float t=0;
272 float m=0;
273 float v=0;
274 float vKgr=0;
275 float P=0;
276 float g=9.81;
277 float TIME;
278 float sec=0;
279 float cycle1=56.00;
280 float cycle2=58.09;
```

```

main.c
280 float cycle2=58.09;
281 float cycle3=64.37;
282 float point1=9.158333333;
283 float point2=14.00;
284 float threadLoading=0;
285 float right=0;
286 float left=0;
287 float SensC=0;
288 float zero;
289 float countUp=0;
290 float countDown=0;
291 float Readflash;
292 float value=0;
293 float sum1;
294 float sum2;
295 float Time=0;
296 float TurnOn=0;
297 volatile float F=0;
298 volatile float B=0;
299 volatile int loadLR;
300 volatile float leng1=0;
301 volatile float leng2=0;
302 volatile float leng3=0;
303 volatile float count=0;
304 volatile float count1=0;
305 volatile float count2=0;
306 volatile float count3=0;
307 volatile float Up=0;
308
309 int scan=0;
310 int flag00=0;
311 int tsapari=0;
312 int Bazzar=0;
313 int Enable_Kpd_On=1;
314 int Unenable_Kpd_Off=0;
315 int Ctrl_Enter=1;
316 int pwm1;
317 int pwm2;
318 int PE0;
319 int PE1;
320 int PF1;
321 int IN1=0;
322 int IN2=0;

```

```
main.c 88
322 int IN2=0;
323 int ENA=0;
324 int ENB=0;
325 int enc_value;
326 int StartL=0;
327 int TestS=0;
328 int buzzer=0;
329 int sum3;
330 int sum4;
331 int Safe=0;
332 int SafeB2=0;
333 int SafeB3=0;
334 int SafeB4=0;
335 int SafeB5=0;
336 int SafeB6=0;
337 int SafeB7=0;
338 int SafeB8=0;
339 int SafeB9=0;
340 int SafeB10=0;
341 int SafeB11=0;
342 int SafeB12=0;
343 int SafeB13=0;
344 int SafeB14=0;
345 int SafeB15=0;
346 int SafeB16=0;
347 int flag50=0;
348 int flag51=0;
349 int menu=1;
350 int newload=0;
351 int prevload=0;
352 int menu1=0;
353 int menu2=0;
354 int menu3=0;
355 int menu4=0;
356 int menu5=0;
357 int menu6=0;
358 int menu7=0;
359 int menu8=0;
360 int sens=0;
361 int brk=0;
362 int stop=0;
363 int loadR=0;
364 int loadL=0;
```

```
main.c ✕
364 int loadL=0;
365 int i=0;
366 int metritis=0;
367 int flag100=0;
368 int flag200=0;
369 int flag201=0;
370 int flag202=1;
371 int flag203=0;
372 int flag204=0;
373 int flag205=0;
374 int S1=0;
375 int S2=0;
376 int pwmD=0;
377 int pwmD1=0;
378 int pwmM0=0;
379 int pwmM=1;
380 int pwmM1=0;
381 int pwmM5=0;
382 int pwmM10=0;
383 int pwmM20=0;
384 int pwmM25=0;
385 int pwmM50=0;
386 int pwmM100=0;
387 int pwmD100=0;
388 int pwmD0=0;
389 int pwmD5=0;
390 int pwmD10=0;
391 int pwmD20=0;
392 int pwmD25=0;
393 int pwmD50=0;
394 int pwm1;
395 int PWM=0;
396 int PWM2=0;
397 int PWM3=0;
398
399 float test1=0;
400 float x=0;
401 float y=0;
402 float rate=0;
403 float spd=0;
404 float spd1=0;
405 float spd2=0;
406 float spd3=0;
```

```
main.c ✕
406 float spd3=0;
407 float spd4=0;
408 float spd5=0;
409 float spd6=0;
410 float spd7=0;
411 float spd8=0;
412 float spd9=0;
413 float spd10=0;
414 float spd11=0;
415 float NetM=0;
416 float R1=100;
417 float R2=90;
418 float sum1=0;
419 float sum2=0;
420 float sum0=0;
421 int f1=0;
422 int f2=0;
423 int f3=0;
424 int f4=0;
425 int f5=0;
426
427 int flag01=0;
428 int lcd_flag=0;
429 int val=0;
430 int speedM=0;
431 int speedD=0;
432
433
434 int pwm2stp=0;
435 int flag=0;
436 int flag0;
437 int flag1=0;
438 int flag2=0;
439 int flag3=0;
440 int flag4=0;
441 int flag5=0;
442 int flag6=0;
443 int flag7=0;
444 int flag8=0;
445 int flag9=0;
446 int flag10=0;
447 int flag11=0;
448 int flag12=0;
```

```
main.c ✖
448 int flag12=0;
449 int flag13=0;
450 int flag17=0;
451 int flag18=0;
452 int flag20=0;
453 int flag21=0;
454 int flag23=0;
455 int flag24=0;
456 int flag25=0;
457 int flag26=0;
458 int flag27=1;
459 int flag28=0;
460 int flag30=0;
461 int flag31=0;
462 int flag32=0;
463 int flag33=0;
464 int flag34=0;
465 int flag35=0;
466 int flag40=0;
467 int flag41=0;
468 int flag42=0;
469 int clear=0;
470 int write1=0;
471 int M=0;
472
473 int flag001=0;
474 int CLR;
475 int memory1=0;
476 int memory2=0;
477
478 int MtrForward=0;
479 int MtrBuck=0;
480 int MtrStop=0;
481 int Magnetic=0;
482
483 int meter=0;
484 int LOAD=0;
485 int UNLOAD=0;
486 int P1=0;
487 int Start=0;
488 int StBy=0;
489 int empty=0;
490 int full=0;
```

```
main.c
490 int full=0;
491 int delete;
492 int b;
493 int mess1=0;
494 int flag1000=0;
495 int flag101=0;
496 int flag102=0;
497 int sos=0;
498 int reset=0;
499
500 double T_ms=0;
501
502 /* USER CODE END PV */
503
504 /* Private function prototypes -----
505 void SystemClock_Config(void);
506 static void MX_GPIO_Init(void);
507 static void MX_ETH_Init(void);
508 static void MX_USART3_UART_Init(void);
509 static void MX_USB_OTG_FS_USB_Init(void);
510 static void MX_TIM4_Init(void);
511 static void MX_TIM2_Init(void);
512 static void MX_TIM8_Init(void);
513 static void MX_TIM13_Init(void);
514 static void MX_TIM15_Init(void);
515 /* USER CODE BEGIN PFP */
516
517 /* USER CODE END PFP */
518
519 /* Private user code -----
520 /* USER CODE BEGIN 0 */
521
522 static uint16_t newCount;
523 static uint16_t prevCount;
524
525
526 //char string[100];
527
528 // float RxVal;
529
530
531 //-----
532 /*
```

```
main.c ✕
532 /*
533 void delay(uint16_t delay)
534 {
535   __HAL_TIM_SET_COUNTER(&htim15,0);
536   while(__HAL_TIM_GET_COUNTER(&htim15) < delay);
537 }
538 */
539 /* USER CODE END 0 */
540
541 /**
542  * @brief The application entry point.
543  * @retval int
544  */
545 int main(void)
546 {
547   /* USER CODE BEGIN 1 */
548
549   /* USER CODE END 1 */
550
551   /* Enable I-Cache-----
552   SCB_EnableICache();
553
554   /* Enable D-Cache-----
555   SCB_EnableDCache();
556
557   /* MCU Configuration-----
558
559   /* Reset of all peripherals, Initializes the Flash
560   HAL_Init();
561
562   /* USER CODE BEGIN Init */
563
564   /* USER CODE END Init */
565
566   /* Configure the system clock */
567   SystemClock_Config();
568
569   /* USER CODE BEGIN SysInit */
570
571   /* USER CODE END SysInit */
572
573   /* Initialize all configured peripherals */
574   MX_GPIO_Init();
```

```

573 /* initialize all configured peripherals */
574 MX_GPIO_Init();
575 MX_ETH_Init();
576 MX_USART3_UART_Init();
577 MX_USB_OTG_FS_USB_Init();
578 MX_TIM4_Init();
579 MX_TIM2_Init();
580 MX_TIM8_Init();
581 MX_TIM13_Init();
582 MX_TIM15_Init();
583 /* USER CODE BEGIN 2 */
584
585
586     HAL_TIM_Base_Start_IT(&htim2);
587     HAL_TIM_IC_Start_IT(&htim2, TIM_CHANNEL_1);
588     HAL_TIM_Base_Start(&htim15);
589     HAL_TIM_PWM_Start(&htim15, TIM_CHANNEL_1);
590     HAL_TIM_Base_Start_IT(&htim8);
591     HAL_TIM_PWM_Start(&htim8, TIM_CHANNEL_1);
592     HAL_TIM_Encoder_Start_IT(&htim4, TIM_CHANNEL_ALL);
593     HAL_TIM_PWM_Start(&htim13, TIM_CHANNEL_1);
594     // TM_HD44780_Init(0,0);
595
596
597     TM_HD44780_CLEAR();
598     TM_HD44780_Init(20,4);
599     sprintf(buf, "by Grigoriadis S");
600     TM_HD44780_Puts (3,2,buf);
601     HAL_Delay(1500);
602     TM_HD44780_CLEAR();
603     sprintf(buf, "fishing machine %c");
604     TM_HD44780_Puts (3,4,buf);
605     sprintf(buf1, "GR ver.0.1 light %c");
606     TM_HD44780_Puts (3,2,buf1);
607     HAL_Delay(500);
608 //-----
609
610 //-----
611     flag18=1;
612     // flag23=1;
613     flag25=1;
614     flag28=1;
615     htim13.Instance->CCR1=150;

```

```

main.c ✖
616     htim13.Instance->CCR1=150;
617     HAL_Delay(1500);
618     htim13.Instance->CCR1=50;
619     /* USER CODE END 2 */
620
621     /* Infinite loop */
622     /* USER CODE BEGIN WHILE */
623     //-----
624
625     //-----
626     a1= 1.0f;
627
628     while (1)
629     {
630
631         if(flag19==0)
632         {
633
634             if(menu==1)
635             {
636                 //-----
637                 if(flag25==1) // VIEW CLEAR
638                 {
639
640                     TM_HD44780_CLEAR();
641                     flag25=0;
642                 }
643
644                 //-----
645                 sprintf(buf2, "_sens:%3.1f",sensor);
646                 TM_HD44780_Puts (0,4,buf2);
647
648
649                 sprintf(buf4, "_batt:%3.2f ");
650                 TM_HD44780_Puts (0,3,buf4);
651                 sprintf(buf3, "_len :%3.2f", leng1 );
652                 TM_HD44780_Puts (0,1,buf3);
653                 sprintf(buf5, "L%2.1f",RxVal);
654                 TM_HD44780_Puts (14,3,buf5);
655                 sprintf(buf6, "M%1.2d",M);
656                 TM_HD44780_Puts (14,2,buf6);
657
658             }

```

```
main.c ✖
658     }
659     }
660     if(mess1==1) // run leng1
661     {
662
663         TM_HD44780_Puts (3,1,(char*)(arr16 ));
664         sprintf(buf18, "len :%3.2f", leng1 );
665         TM_HD44780_Puts (2,3,buf18);
666
667     }
668
669 //-----
670
671     if(RxVal>0)
672     {
673         sum1=RxVal-leng1;
674
675
676
677         if(sum1<=2)
678         {
679             htim13.Instance->CCR1=240;
680
681         }
682     }
683
684 //-----
685     if(RxVal>loadLR)
686     {
687         spd1=RxVal-loadLR;
688     }
689     else if(RxVal<loadLR)
690     {
691         spd1=-RxVal+loadLR;
692     }
693     x=spd1/R1;
694
695
696 //-----
697     spd5=RxVal-M;
698     NetM=RxVal-spd5;
699     spd6=NetM/R1;
700
```

```
main.c ✕
700
701 //-----
702         if(PWM==1)
703         {
704             if(flag100==1)
705             {
706                 pwmM100=1;
707             }
708         }
709     }
710 }
711 //-----
712         if(PWM2==1)
713         {
714             if(flag200==1)
715             {
716                 pwmD100=1;
717                 htim8.Instance->CCR1=160;
718             }
719         }
720     }
721 }
722 }
723 }
724 }
725 //-----
726 }
727 //-----
728 // LED FLASHER HERE
729 }
730         if(loadR==1)
731         {
732             if(LOAD==1)
733             {
734                 HAL_GPIO_WritePin(GPIOC, GPIO_PIN_11, GPIO_PIN_SET);
735             }
736         }
737     }
738 }
739         if(loadL==1)
740         {
741             if(LOAD==1)
742             {
```

```

| *main.c &&
743         HAL_GPIO_WritePin(GPIOC, GPIO_PIN_10, GPIO_PIN_SET);
744
745     }
746 }
747 //-----
748
749     if(Start==1)
750     {
751
752
753         if(TestS==1)
754         {
755             sensor=0*sensor;
756             HAL_GPIO_WritePin(GPIOD, GPIO_PIN_3, GPIO_PIN_RESET);
757             HAL_GPIO_WritePin(GPIOD, GPIO_PIN_4, GPIO_PIN_RESET);
758             htim13.Instance->CCR1=0;
759             htim8.Instance->CCR1=0;
760 //-----
761
762         if (leng1>=M)
763         {
764             PWM=1;
765             flag202=0;
766             TestS=0;
767
768         }
769     }
770
771
772
773
774
775
776
777
778
779
780
781
782
783
784

```

```

main.c
784
785
786 //-----
787
788
789 //-----
790
791         if (leng1>=M)
792         {
793             scan=0;
794             PWM=1;
795             flag202=0;
796             TestS=0;
797         }
798
799
800
801
802     }
803
804 //-----
805         if(sensor>sens)
806         {
807             PWM=0;
808             pwmM100=1;
809             flag100=0;
810             flag202=1;
811             htim13.Instance->CCR1=0;
812             PWM3=1;
813             flag=1;
814         }
815
816         if(sensor>1 && sensor<sens)
817         {
818             HAL_GPIO_WritePin(GPIOC, GPIO_PIN_10, GPIO_PIN_SET);
819             HAL_Delay(3);
820             HAL_GPIO_WritePin(GPIOC, GPIO_PIN_10, GPIO_PIN_RESET);
821
822             // buzzer=0;
823             HAL_GPIO_WritePin(GPIOC, GPIO_PIN_12, GPIO_PIN_SET);
824             HAL_Delay(300);
825             HAL_GPIO_WritePin(GPIOC, GPIO_PIN_12, GPIO_PIN_RESET);
826

```

main.c

```
826         HAL_GPIO_WritePin(GPIOC, GPIO_PIN_12, GPIO_PIN_RESET);
827     }
828
829     //-----
830     if (sensor==0.000)
831     {
832         if(flag202==0)
833         {
834
835
836
837             if(brk==1)
838
839             {
840                 htim13.Instance->CCR1=20;
841
842
843             }
844             if (brk==2)
845             {
846                 htim13.Instance->CCR1=23; // 68,40
847             }
848             if (brk==3)
849             {
850                 htim13.Instance->CCR1=27; // 70,45
851             }
852             if (brk==4)
853             {
854                 htim13.Instance->CCR1=30; // 75,49
855             }
856             if (brk==5)
857             {
858                 htim13.Instance->CCR1=33; // 80,52
859             }
860     //-----
861
862     //-----
863
864     HAL_GPIO_WritePin(GPIOC, GPIO_PIN_12, GPIO_PIN_RESET);
865     if (leng1<=1.5)
866     {
867         htim13.Instance->CCR1=0;
868     }
```

```

main.c
868     }
869     }
870
871     }
872
873     }
874
875
876 //-----
877
878 //-----
879     if(flag==1)
880     {
881
882
883         sensor=0*sensor;
884         HAL_GPIO_WritePin(GPIOC, GPIO_PIN_10, GPIO_PIN_SET);
885         // buzzer=1;
886         HAL_GPIO_WritePin(GPIOC, ((uint16_t)0x0400), GPIO_PIN_SET);
887         HAL_Delay(1000);
888         HAL_GPIO_WritePin(GPIOC, GPIO_PIN_12, GPIO_PIN_RESET);
889         Start=0;
890
891
892
893         if( PWM3==1)
894         {
895         for (pwm2 = 0; pwm2 <= 252; pwm2 +=1)
896         {
897             __HAL_TIM_SET_COMPARE(&htim13, TIM_CHANNEL_1, pwm2);
898             HAL_Delay(7);
899
900             if(pwm2<=252)
901             {
902
903                 htim13.Instance->CCR1=254;
904
905                 PWM3=0;
906             }
907         }
908     }
909
910

```

```

main.c ✖
910
911         htim8.Instance->CCR1=160;
912         HAL_GPIO_WritePin(GPIOD, GPIO_PIN_3, GPIO_PIN_SET);
913         HAL_GPIO_WritePin(GPIOD, GPIO_PIN_4, GPIO_PIN_RESET);
914
915 //-----
916         TM_HD44780_CLEAR();
917         sprintf(buf3, "Return len :%3.2f", leng1 );
918         TM_HD44780_Puts (3,1,buf3);
919         flag41=0;
920         flag42=0;
921         flag19=1;
922 //-----
923         if(leng1<=1.50)
924
925         {
926             htim13.Instance->CCR1=180;
927             htim8.Instance->CCR1=0;
928
929             sensor=0*sensor;
930             TM_HD44780_CLEAR();
931             flag19=0;
932
933             pwmM100=0;
934             flag202=1;
935
936
937             HAL_GPIO_WritePin(GPIOC, GPIO_PIN_12, GPIO_PIN_RESET);
938             HAL_GPIO_WritePin(GPIOC, GPIO_PIN_10, GPIO_PIN_RESET);
939             HAL_GPIO_WritePin(GPIOD, GPIO_PIN_3, GPIO_PIN_RESET);
940             HAL_GPIO_WritePin(GPIOD, GPIO_PIN_4, GPIO_PIN_RESET);
941
942             flag=0;
943
944
945
946
947         }
948     }
949 //-----
950
951         if(LOAD==1)
952     {

```

```
main.c ✖
952     {
953
954         if(flag101==1)
955         {
956             htim13.Instance->CCR1=200;
957             for (pwm1 = 0; pwm1 <= 165; pwm1 +=3)
958             {
959                 __HAL_TIM_SET_COMPARE(&htim8, TIM_CHANNEL_1, pwm1);
960                 HAL_Delay(40);
961
962                 if(pwm1>=165)
963                 {
964
965
966                     htim8.Instance->CCR1=165;
967                     flag101=0;
968                 }
969             }
970         }
971
972         if(leng1<=0)
973         {
974             LOAD=0;
975
976             htim8.Instance->CCR1=0;
977             htim13.Instance->CCR1=230;
978             HAL_Delay(10);
979             htim13.Instance->CCR1=0;
980
981         }
982     }
983
984
985 //-----
986
987         if(speedM==1)
988     {
989         if(flag101==1)
990         {
991             htim13.Instance->CCR1=200;
992             for (pwm1 = 0; pwm1 <= 162; pwm1 +=3)
993             {
994                 __HAL_TIM_SET_COMPARE(&htim8, TIM_CHANNEL_1, pwm1);
```

```

main.c
994         __HAL_TIM_SET_COMPARE(&htim8, TIM_CHANNEL_1, pwm1);
995         HAL_Delay(60);
996
997         if(pwm1>=162)
998         {
999
1000
1001             htim8.Instance->CCR1=162;
1002             flag101=0;
1003         }
1004     }
1005 }
1006     if(leng1<=0)
1007     {
1008         LOAD=0;
1009
1010         htim8.Instance->CCR1=0;
1011         htim13.Instance->CCR1=230;
1012         HAL_Delay(10);
1013         htim13.Instance->CCR1=0;
1014     }
1015 }
1016 }
1017 //-----
1018     if(flag24==1)
1019     {
1020
1021         {
1022             flag0=0;
1023             HAL_FLASH_Unlock();
1024             Flash_Write_NUM(0x080E0000 ,meter);
1025             HAL_FLASH_Lock();
1026             menu=1;
1027
1028             enc_value=0;
1029             flag24=0;
1030         }
1031     }
1032
1033 //-----
1034
1035     if(flag50==1)
1036

```

```

main.c ✖
1036
1037     {
1038         flag24=0;
1039         HAL_FLASH_Unlock();
1040         Flash_Write_NUM( 0x081E0000,loadLR);
1041         HAL_FLASH_Lock();
1042         enc_value=0;
1043         LOAD=0;
1044         flag0=0;
1045         sum0=0;
1046         mess1=0;
1047         stop=0;
1048
1049         TM_HD44780_Clear();
1050         menu=1;
1051         flag50=0;
1052     }
1053
1054 //-----
1055         pwm();
1056
1057 //-----
1058
1059         if(flag32==1)
1060         {
1061             if(leng1>=sum0)
1062
1063             {
1064
1065                 loadL=0;
1066
1067                 HAL_GPIO_WritePin(GPIOD, GPIO_PIN_3, GPIO_PIN_RESET);
1068                 HAL_GPIO_WritePin(GPIOD, GPIO_PIN_4, GPIO_PIN_RESET);
1069                 HAL_GPIO_WritePin(GPIOC, GPIO_PIN_10, GPIO_PIN_RESET);
1070
1071                 htim13.Instance->CCR1=230;
1072                 HAL_Delay(100);
1073                 htim13.Instance->CCR1=0;
1074                 htim8.Instance->CCR1=0;
1075                 leng1=0;
1076                 enc_value=0;
1077                 volatile loadLR;
1078

```

```

1078     volatile    loadLR;
1079                zero=0;
1080                LOAD=0;
1081
1082                flag19=0;
1083
1084                if( flag0==1)
1085                {
1086                    flag50=1;
1087                }
1088                flag32=0;
1089            }
1090        }
1091
1092    //-----
1093
1094                if(flag34==1)
1095        {
1096            if(leng1>=sum0)
1097            {
1098                loadR=0;
1099
1100                HAL_GPIO_WritePin(GPIOD, GPIO_PIN_3, GPIO_PIN_RESET);
1101                HAL_GPIO_WritePin(GPIOD, GPIO_PIN_4, GPIO_PIN_RESET);
1102                HAL_GPIO_WritePin(GPIOC, GPIO_PIN_11, GPIO_PIN_RESET);
1103
1104                htim13.Instance->CCR1=230;
1105                HAL_Delay(100);
1106                htim13.Instance->CCR1=0;
1107                htim8.Instance->CCR1=0;
1108                LOAD=0;
1109                enc_value=0;
1110                leng1=0;
1111
1112                if(flag0==1)
1113                {
1114                    flag50=1;
1115                }
1116                flag34=0;
1117            }
1118        }
1119    }
1120

```

```
main.c
1120
1121
1122 //-----
1123
1124     HAL_FLASH_Unlock();
1125
1126     RxVal = Flash_Read_NUM(0x081E0000);
1127     HAL_FLASH_Lock();
1128
1129
1130 //-----
1131
1132     HAL_FLASH_Unlock();
1133     M = Flash_Read_NUM(0x080E0000 );
1134     HAL_FLASH_Lock();
1135
1136
1137
1138 //-----
1139
1140         if(LOAD==1)
1141         {
1142
1143             if(flag32==1)
1144             {
1145
1146                 stop=0;
1147                 HAL_GPIO_WritePin(GPIOD, GPIO_PIN_3, GPIO_PIN_SET);
1148                 HAL_GPIO_WritePin(GPIOD, GPIO_PIN_4, GPIO_PIN_RESET);
1149             }
1150
1151             if(flag34==1)
1152             {
1153
1154                 stop=0;
1155                 HAL_GPIO_WritePin(GPIOD, GPIO_PIN_3, GPIO_PIN_RESET);
1156                 HAL_GPIO_WritePin(GPIOD, GPIO_PIN_4, GPIO_PIN_SET);
1157             }
1158         }
1159
1160 //-----
1161
1162         if (StBy==1)
```

```
main.c ✖
1162         if (StBy==1)
1163
1164     {
1165         sensor=0*sensor; // IN 23-5-23
1166         HAL_GPIO_WritePin(GPIOD, GPIO_PIN_4,GPIO_PIN_SET );
1167         HAL_Delay(500);
1168         HAL_GPIO_WritePin(GPIOD, GPIO_PIN_4,GPIO_PIN_RESET );
1169
1170         HAL_GPIO_WritePin(GPIOC, GPIO_PIN_11, GPIO_PIN_SET);
1171         HAL_Delay(300);
1172         HAL_GPIO_WritePin(GPIOC, GPIO_PIN_11, GPIO_PIN_RESET);
1173         stop=1;
1174         Start=0;
1175         if(loadL==1)
1176     {
1177         if(menu==1)
1178         {
1179             LOAD=0;
1180             loadL=0;
1181         }
1182     }
1183     else if(loadR==1)
1184     {
1185         if(menu==1)
1186         {
1187             LOAD=0;
1188             loadR=0;
1189         }
1190     }
1191     }
1192
1193     tsapari=0;
1194
1195 //-----
1196
1197     if(leng1<=1.5)
1198     {
1199         htim13.Instance->CCR1 =200;
1200     }
1201
1202     TM_HD44780_Puts (16,4,(char*)(arr1 ));
1203     delay(10);
1204 //-----
```

```
main.c ✕
1204 // -----
1205         if(stop=1)
1206         {
1207             LOAD=0;
1208             htim8.Instance->CCR1 =0;
1209
1210             HAL_GPIO_WritePin(GPIOD, GPIO_PIN_3, GPIO_PIN_RESET);
1211             HAL_GPIO_WritePin(GPIOD, GPIO_PIN_4, GPIO_PIN_RESET);
1212
1213         }
1214     }
1215
1216         delay(2000);
1217 //-----
1218
1219
1220 //-----
1221     c = KeypadGetKey();
1222
1223     if (c != KEYPAD_NO_PRESSED)
1224     {
1225
1226 //-----
1227         switch (c)
1228 //-----
1229     {
1230         case '1':
1231
1232         {
1233
1234             if(menu==3)
1235             {
1236                 sens+=5;
1237                 HAL_Delay(150);
1238             }
1239             if(sens>100)
1240             {
1241
1242                 sens=100;
1243             }
1244
1245             if (menu==3 )
1246         {
```

```

main.c ✖
1246     {
1247         TM_HD44780_CLEAR();
1248
1249         TM_HD44780_Puts (2,1,(char*)(arr3_1 ));
1250
1251         sprintf(buf, "%3.3d",sens);
1252         TM_HD44780_Puts (14,4,buf);
1253     }
1254 //-----
1255
1256     if(menu==2)
1257     {
1258
1259         brk+=1;
1260         HAL_Delay(100);
1261         pwmM=brk;
1262
1263     }
1264
1265     if(brk>5)
1266     {
1267         brk=0;
1268     }
1269
1270     if(menu==2)
1271     {
1272
1273         TM_HD44780_CLEAR();
1274         TM_HD44780_Puts (2,1,(char*)(arr4_1));
1275
1276
1277         sprintf(buf, "%3.3d", brk);
1278         TM_HD44780_Puts (14,4,buf);
1279     }
1280
1281 //-----
1282
1283     if(menu==5)
1284     {
1285
1286
1287         meter+=1;
1288         HAL_Delay(100);

```

```

main.c
1288     HAL_Delay(100);
1289     zero=meter;
1290
1291     }
1292
1293     if(meter>990)
1294     {
1295     meter=990;
1296     }
1297
1298     if(menu==5)
1299     {
1300
1301
1302     TM_HD44780_CLEAR();
1303     TM_HD44780_Puts (2,1,(char*)(arr9 ));
1304     sprintf(buf, "%3.3d",meter);
1305     TM_HD44780_Puts (14,4,buf);
1306     }
1307     break;
1308     }
1309 //-----
1310
1311     case '2':
1312     {
1313
1314
1315     if(menu==3)
1316     {
1317         sens--5;
1318         HAL_Delay(150);
1319     }
1320
1321     if(sens<0)
1322     {
1323     sens=0;
1324     }
1325
1326     if(menu==3)
1327     {
1328     TM_HD44780_CLEAR();
1329     TM_HD44780_Puts (2,1,(char*)(arr3_2 ));
1330     sprintf(buf, "%3.3d",sens);

```

```

main.c ✖
1330     sprintf(buf, "%3.3d",sens);
1331     TM_HD44780_Puts (14,4,buf);
1332     }
1333
1334 //-----
1335
1336     if(menu==2)
1337     {
1338
1339         brk-=1;
1340         HAL_Delay(100);
1341         pwmM=brk;
1342
1343         if(brk<=0)
1344         {
1345             brk=0;
1346         }
1347
1348     if(menu==2)
1349     {
1350
1351         TM_HD44780_CLEAR();
1352         TM_HD44780_Puts (2,1,(char*)(arr4_2 )
1353
1354
1355         sprintf(buf, "%3.3d",brk);
1356         TM_HD44780_Puts (14,4,buf);
1357     }
1358
1359     }
1360 //-----
1361     if(menu==5)
1362     {
1363
1364         meter-=1;
1365         HAL_Delay(100);
1366         zero=meter;
1367
1368     }
1369
1370     if(meter<0)
1371     {
1372         meter=0;

```

```

main.c ✖
1372     meter=0;
1373
1374     }
1375
1376     if(menu==5)
1377     {
1378
1379
1380
1381     TM_HD44780_CLEAR();
1382     TM_HD44780_Puts (2,1,(char*)(arr9_1 ));
1383     sprintf(buf, "%3.3d",meter);
1384     TM_HD44780_Puts (14,4,buf);
1385     }
1386
1387     break;
1388     }
1389
1390 //-----
1391     case '3':
1392     {
1393     CLR=menu+=1;
1394
1395     TM_HD44780_CLEAR();
1396
1397     if(menu>5)
1398     {
1399     menu=1;
1400
1401     HAL_Delay(150);
1402     }
1403 //-----
1404
1405     if (menu==2)
1406     {
1407
1408     TM_HD44780_CLEAR();
1409     TM_HD44780_Puts (0,4,(char*)(arr4 ));
1410     TM_HD44780_Puts (0,1,(char*)(arr4 +1));
1411     TM_HD44780_Puts (0,2,(char*)(arr4 +2));
1412     lcd_flag=0;
1413     }
1414

```

```

1414
1415
1416     if (menu==3)
1417     {
1418
1419
1420         TM_HD44780_CLEAR();
1421         TM_HD44780_Puts (0,4,(char*)(arr3 ));
1422         TM_HD44780_Puts (0,1,(char*)(arr3+1 ));
1423         TM_HD44780_Puts (0,2,(char*)(arr3+2 ));
1424     }
1425
1426
1427     if(menu==4)
1428     {
1429
1430
1431         TM_HD44780_CLEAR();
1432         TM_HD44780_Puts (0,4,(char*)(arr2 ));
1433         TM_HD44780_Puts (0,1,(char*)(arr2+1 ));
1434         TM_HD44780_Puts (0,3,(char*)(arr2+2 ));
1435
1436     }
1437
1438     if(menu==5)
1439     {
1440
1441
1442         TM_HD44780_CLEAR();
1443         TM_HD44780_Puts (0,4,(char*)(arr9_2 ));
1444         TM_HD44780_Puts (0,1,(char*)(arr9_2+1 ));
1445         TM_HD44780_Puts (0,2,(char*)(arr9_2+2 ));
1446
1447     }
1448
1449     if(menu==8){
1450         TM_HD44780_Puts (0,4,(char*)(arr17 ));
1451         TM_HD44780_Puts (0,1,(char*)(arr17+1 ));
1452     }
1453
1454         if(menu==7)
1455         {
1456             sprintf(buf2, "sens:%3.5f",sensor);
1457             TM_HD44780_Puts (0,4,buf2);

```

```

main.c ✖
1456         TM_HD44780_Puts (0,4,buf2);
1457
1458
1459         sprintf(buf4, "batt:%3.2f ");
1460         TM_HD44780_Puts (0,3,buf4);
1461         sprintf(buf3, "len :%3.2f", leng1 );
1462         TM_HD44780_Puts (0,1,buf3);
1463         sprintf(buf5, "L%3.2f",RxVal);
1464         TM_HD44780_Puts (14,3,buf5);
1465         sprintf(buf6, "M%1.2d",M);
1466         TM_HD44780_Puts (14,2,buf6);
1467
1468     }
1469
1470     break;
1471 }
1472
1473 //-----
1474     case '7':
1475 {
1476     loadLR+=20;
1477
1478     if(menu==4)
1479 {
1480     if(loadLR>RxVal)
1481     {
1482     flag34=0;
1483     flag32=1;
1484     loadL=1;
1485     loadR=0;
1486
1487     sum0=(-RxVal)+loadLR;
1488     }
1489
1490     else if(loadLR<RxVal)
1491     {
1492     flag34=1;
1493     flag32=0;

```

```
main.c ✖
1498         flag32=0;
1499         loadL=0;
1500         loadR=1;
1501         sum0=RxVal-loadLR;
1502     }
1503
1504     if(loadLR<0)
1505     {
1506         loadLR=0;
1507     }
1508
1509     if(loadLR>999)
1510     {
1511         loadLR=999;
1512     }
1513 }
1514 if(menu==4)
1515 {
1516     if(loadLR>RxVal)
1517     {
1518
1519
1520         TM_HD44780_CLEAR();
1521
1522
1523         TM_HD44780_CLEAR();
1524         TM_HD44780_Puts (2,1,(char*)(arr2_1 ));
1525
1526         TM_HD44780_Puts (11,1,(char*)(arr2_1 +1));
1527
1528         sprintf(buf,"%3.3d",loadLR);
1529         TM_HD44780_Puts (8,1,buf);
1530         sprintf(buf5,"%L2.2f",RxVal);
1531         TM_HD44780_Puts (8,3,buf5);
1532     }
1533
1534     else if(loadLR<RxVal)
1535     {
1536         TM_HD44780_CLEAR();
1537         TM_HD44780_CLEAR();
1538         TM_HD44780_Puts (13,1,(char*)(arr2_2 ));
1539         TM_HD44780_Puts (11,1,(char*)(arr2_2 +1));
1540         sprintf(buf5,"%3.3d",loadLR);
```

```

1540         sprintf(buf5,"%3.3d",loadLR);
1541         TM_HD44780_Puts (8,1,buf5);
1542         sprintf(buf5,"L%2.2f",RxVal);
1543         TM_HD44780_Puts (8,3,buf5);
1544     }
1545 }
1546
1547     break;
1548 }
1549 //-----
1550
1551     case '8':
1552     {
1553         loadLR-=20;
1554
1555         if(menu==4)
1556         {
1557             if(loadLR<RxVal)
1558
1559             {
1560                 flag34=1;
1561                 flag32=0;
1562                 loadL=0;
1563                 loadR=1;
1564
1565                 sum0=RxVal-loadLR;
1566             }
1567
1568             else if(loadLR>RxVal)
1569             {
1570                 flag34=0;
1571                 flag32=1;
1572                 loadL=1;
1573                 loadR=0;
1574                 sum0=(-RxVal)+loadLR;
1575             }
1576
1577             if(loadLR<0)
1578             {
1579                 loadLR=0;
1580             }
1581
1582     if(menu==4)

```

```

1582     if(menu==4)
1583     {
1584     if(loadLR<RxVal)
1585         {
1586         TM_HD44780_CLEAR();
1587
1588
1589         TM_HD44780_CLEAR();
1590         TM_HD44780_Puts (13,1,(char*)(arr2_2 ));
1591
1592         TM_HD44780_Puts (11,1,(char*)(arr2_2 +1));
1593         TM_HD44780_Puts (3,1,(char*)(arr2_2 +2));
1594         sprintf(buf5,"%3.3d",loadLR);
1595         TM_HD44780_Puts (8,1,buf5);
1596         sprintf(buf5,"L%2.2f",RxVal);
1597         TM_HD44780_Puts (8,3,buf5);
1598         }
1599
1600     else if(loadLR>RxVal)
1601         {
1602
1603         TM_HD44780_CLEAR();
1604
1605
1606         TM_HD44780_CLEAR();
1607         TM_HD44780_Puts (2,1,(char*)(arr2_1 ));
1608
1609         TM_HD44780_Puts (11,1,(char*)(arr2_1 +1));
1610         TM_HD44780_Puts (13,1,(char*)(arr2_1 +2));
1611         sprintf(buf,"%3.3d",loadLR);
1612         TM_HD44780_Puts (8,1,buf);
1613         sprintf(buf5,"L%2.2f",RxVal);
1614         TM_HD44780_Puts (8,3,buf5);
1615         }
1616
1617     }
1618     break;
1619 }
1620
1621 //-----
1622
1623     case 'A':
1624     {

```

```

1624     {
1625         TM_HD44780_CLEAR();
1626         flag41=1;
1627         htim13.Instance->CCR1 =0;
1628         TM_HD44780_Puts (16,4,(char*)(arr14 ));
1629
1630         if(menu==1)
1631         {
1632             Start=1;
1633         }
1634
1635         TestS=1;
1636
1637         StBy=0;
1638
1639         if(menu==4)
1640         {
1641             LOAD=1;
1642         }
1643
1644
1645         break;
1646     }
1647
1648     delay(100);
1649 //-----
1650
1651
1652     case 'B':
1653     {
1654         TM_HD44780_CLEAR();
1655         if(menu==5)
1656         {
1657             flag24=1;
1658         }
1659
1660
1661         if(menu==4)
1662         {
1663             flag0=1;
1664
1665             mess1=1;
1666             TM_HD44780_CLEAR();

```

```

1666         TM_HD44780_CLEAR();
1667
1668         LOAD=1;
1669         flag101=1;
1670     }
1671
1672     Start=0;
1673     flag18=1;
1674
1675
1676
1677     if(LOAD==1)
1678     {
1679
1680
1681         if (loadL==1)
1682         {
1683             loadR=0;
1684             sensor=sensor*0;
1685             HAL_GPIO_WritePin(GPIOD, GPIO_PIN_3, GPIO_PIN_SET);
1686             HAL_GPIO_WritePin(GPIOD, GPIO_PIN_4, GPIO_PIN_RESET);
1687             flag32=1;
1688         }
1689
1690         //-----
1691
1692         if(loadR==1)
1693         {
1694             loadL=0;
1695             sensor=sensor*0;
1696             HAL_GPIO_WritePin(GPIOD, GPIO_PIN_3, GPIO_PIN_RESET);
1697             HAL_GPIO_WritePin(GPIOD, GPIO_PIN_4, GPIO_PIN_SET);
1698             flag34=1;
1699         }
1700     }
1701 }
1702
1703     if(menu==5)
1704     {
1705         P1=0;
1706
1707     }
1708

```

```
1708
1709 //-----
1710
1711     if(menu==6)
1712     {
1713         menu=1;
1714     }
1715     delay(31000);
1716     break;
1717 }
1718
1719 //-----
1720
1721     case '0':
1722     {
1723         sensor=100;
1724         flag101=1;
1725     }
1726     break;
1727 }
1728 //-----
1729
1730     case '6':
1731     {
1732         Start=0;
1733         flag41=0;
1734         if(flag19==1)
1735         {
1736             StBy=0;
1737         }
1738
1739         if(leng1<=1.50)
1740         {
```

```

1750         {
1751             StBy=1;
1752         }
1753
1754
1755             flag=0;
1756             break;
1757         }
1758     }
1759 }
1760 }
1761 }
1762
1763 //-----
1764
1765     /* USER CODE END WHILE */
1766
1767     /* USER CODE BEGIN 3 */
1768
1769     /* USER CODE END 3 */
1770     /*
1771     * @brief System Clock Configuration
1772     * @retval None
1773     */
1774     void SystemClock_Config(void)
1775     {
1776         RCC_OscInitTypeDef RCC_OscInitStruct = {0};
1777         RCC_ClkInitTypeDef RCC_ClkInitStruct = {0};
1778
1779         /** Supply configuration update enable
1780         */
1781         HAL_PWREx_ConfigSupply(PWR_LDO_SUPPLY);
1782         /** Configure the main internal regulator output voltage
1783         */
1784         __HAL_PWR_VOLTAGESCALING_CONFIG(PWR_REGULATOR_VOLTAGE_SCALE3);
1785
1786         while(!__HAL_PWR_GET_FLAG(PWR_FLAG_VOSRDY)) {}
1787         /** Initializes the RCC Oscillators according to the specified parameters
1788         * in the RCC_OscInitTypeDef structure.
1789         */
1790         RCC_OscInitStruct.OscillatorType = RCC_OSCILLATORTYPE_HSI48|RCC_OSCILLATORTYPE_HSE;
1791         RCC_OscInitStruct.HSEState = RCC_HSE_BYPASS;
1792         RCC_OscInitStruct.HSI48State = RCC_HSI48_ON;

```

```

2370 GPIO_InitStruct.Speed = GPIO_SPEED_FREQ_VERY_HIGH;
2371 HAL_GPIO_Init(GPIOD, &GPIO_InitStruct);
2372
2373 /*Configure GPIO pin : Mgnetic_Pin */
2374 GPIO_InitStruct.Pin = Mgnetic_Pin;
2375 GPIO_InitStruct.Mode = GPIO_MODE_OUTPUT_PP;
2376 GPIO_InitStruct.Pull = GPIO_PULLUP;
2377 GPIO_InitStruct.Speed = GPIO_SPEED_FREQ_LOW;
2378 HAL_GPIO_Init(Mgnetic_GPIO_Port, &GPIO_InitStruct);
2379
2380 }
2381
2382 /* USER CODE BEGIN 4 */
2383 //-----
2384 void HAL_TIM_IC_CaptureCallback(TIM_HandleTypeDef *htim)
2385 {
2386 {
2387     if(State == IDLE)
2388     {
2389         T1 = TIM2->CCR1;
2390         TIM2_OVC = 0;
2391         State = DONE;
2392     }
2393     else if(State == DONE)
2394     {
2395         T2 = TIM2->CCR1;
2396
2397         Ticks = (T2 + (TIM2_OVC * 65536)) - T1;
2398         Freq = (F_CLK/Ticks);
2399
2400
2401         if(Freq != 0)
2402         {
2403
2404             sec=(Ticks*0.133);
2405
2406
2407
2408         }
2409     }
2410 }
2411
2412 //-----

```

```

2451
2452
2453     {
2454     if (enc_value>0 && enc_value<1230 )
2455     {
2456         leng2=((enc_value*point2)/100);
2457         leng1=leng2;
2458     }
2459
2460
2461     else if (enc_value>1230 && enc_value <15000)
2462     {
2463         leng3=((enc_value-1230)*point1)/100);
2464         leng1=leng3;
2465         leng1=(leng2+leng3);
2466     }
2467 }
2468
2469 //-----
2470
2471
2472     {
2473
2474     if (enc_value<0 && enc_value<1230 )
2475     {
2476         leng2=((enc_value*(-point2))/100);
2477         leng1=leng2;
2478     }
2479
2480
2481     else if (enc_value>(-1230) && enc_value <15000)
2482     {
2483         leng3=((enc_value-1230)*(-point1))/100);
2484     }
2485 }
2486 }
2487
2488
2489
2490
2491 }
2492
-----

```

```

2493
2494
2495 //-----
2496 void HAL_TIM_PeriodElapsedCallback(TIM_HandleTypeDef* htim)
2497 {
2498     TIM2_OVC++;
2500
2501     if(TIM2_OVC==700)
2502     {
2503         TIM2_OVC=0,Ticks=0, T_ms=0, Freq=0, T1=0, T2=0, sensor=0, u=0, m=0, F=0;
2504         sec=0;
2505     }
2506 }
2507 }
2508
2509 //-----
2510
2511 /* USER CODE END 4 */
2512
2513 /**
2514  * @brief This function is executed in case of error occurrence.
2515  * @retval None
2516  */
2517 void Error_Handler(void)
2518 {
2519     /* USER CODE BEGIN Error_Handler_Debug */
2520     /* User can add his own implementation to report the HAL error return state */
2521     __disable_irq();
2522     while (1)
2523     {
2524     }
2525     /* USER CODE END Error_Handler_Debug */
2526 }
2527
2528 #ifdef USE_FULL_ASSERT
2529 /**
2530  * @brief Reports the name of the source file and the source line number
2531  * where the assert_param error has occurred.
2532  * @param file: pointer to the source file name
2533  * @param line: assert_param error line source number
2534  * @retval None
2535  */

```

	Writable	Smart Insert	1:1:0
--	----------	--------------	-------

```
2535     */
2536 void assert_failed(uint8_t *file, uint32_t line)
2537 {
2538     /* USER CODE BEGIN 6 */
2539     /* User can add his own implementation to report
2540        ex: printf("Wrong parameters value: file %s\n", file) */
2541     /* USER CODE END 6 */
2542 }
2543 #endif /* USE_FULL_ASSERT */
2544
2545 /***** (C) COPYRIGHT STMicroelectronics *****/
2546
```

```

main.c keypad.c
1  /** Includes -----
2  #include "keypad.h"
3  #include "tm_stm32f4_hd44780.h"
4
5  GPIO_InitTypeDef _GPIO_InitStructKeypad;
6  extern TIM_HandleTypeDef htim15;
7  /** Public functions -----
8  /**
9  *****
10 * @brief Initialize GPIO pins for keypad.
11 * @param None
12 * @retval None
13 *****
14 */
15 /**
16 *****
17 * @brief Get which key is pressed by scanning the columns a
18 * @param None
19 * @retval Pressed key char value.
20 *****
21 *****
22 *****
23 *****
24 */
25
26 /**
27 void delay(uint16_t delay);
28
29 {
30   __HAL_TIM_SET_COUNTER(&htim15,0);
31   while(__HAL_TIM_GET_COUNTER(&htim15) < delay);
32 }
33
34 */
35 extern menu;
36 extern flag19;
37 #define delay;
38 extern LOAD;
39 extern loadLR;
40 extern float leng1;
41 extern S1;
42 extern S2;
43 extern delete;

```

```

main.c keypad.c
43 extern delete;
44 extern StBy;
45 extern sensor;
46 extern sens;
47 uint8_t KeypadGetKey()
48
49
50
51
52 {
53     // Scan column 1 (column 1 pin is grounded, other colu
54
55     HAL_GPIO_WritePin(GPIOF, COL_1_Pin,GPIO_PIN_RESET);
56     HAL_GPIO_WritePin(GPIOF, COL_2_Pin,GPIO_PIN_SET);
57     HAL_GPIO_WritePin(GPIOF, COL_3_Pin,GPIO_PIN_SET);
58     HAL_GPIO_WritePin(GPIOD, COL_4_Pin,GPIO_PIN_SET);
59     HAL_GPIO_WritePin(GPIOF, COL_5_Pin,GPIO_PIN_SET);
60     //HAL_GPIO_WritePin(COL_6_GPIO_Port, COL_6_Pin,GPIO_PI
61     HAL_GPIO_WritePin(GPIOF, COL_6_Pin,GPIO_PIN_SET);
62     HAL_GPIO_WritePin(GPIOC, COL_7_Pin,GPIO_PIN_SET);
63     HAL_GPIO_WritePin(GPIOF, COL_8_Pin,GPIO_PIN_SET);
64     HAL_GPIO_WritePin(GPIOF, COL_9_Pin,GPIO_PIN_SET);
65     // -----
66     HAL_Delay(350);           // this setting here (spe
67
68     // delay(50000);
69     // Read rows
70
71     if (!HAL_GPIO_ReadPin(ROW_1_GPIO_Port, ROW_1_Pin))
72
73         return '3';        // knob 1 (menu)
74 /*
75     if(flag19==1)
76     {
77         return '9';
78     }
79 */
80
81     // Scan column 2 (column 2 pin is grounded, other colu
82     HAL_GPIO_WritePin(GPIOF, COL_1_Pin,GPIO_PIN_SET);
83     HAL_GPIO_WritePin(GPIOF, COL_2_Pin,GPIO_PIN_RESET);
84     HAL_GPIO_WritePin(GPIOF, COL_3_Pin,GPIO_PIN_SET);
85     HAL_GPIO_WritePin(GPIOD, COL_4_Pin,GPIO_PIN_SET);

```

```

main.c keypad.c
85     HAL_GPIO_WritePin(GPIOD, COL_4_Pin,GPIO_PIN_SET);
86     HAL_GPIO_WritePin(GPIOF, COL_5_Pin,GPIO_PIN_SET);
87     //HAL_GPIO_WritePin(COL_6_GPIO_Port, COL_6_Pin,GPIO_PIN_SET);
88     HAL_GPIO_WritePin(GPIOF, COL_6_Pin,GPIO_PIN_SET);
89     HAL_GPIO_WritePin(GPIOC, COL_7_Pin,GPIO_PIN_SET);
90     HAL_GPIO_WritePin(GPIOF, COL_8_Pin,GPIO_PIN_SET);
91     HAL_GPIO_WritePin(GPIOF, COL_9_Pin,GPIO_PIN_SET);
92     HAL_Delay(50);
93     //delay(50000);
94     // Read rows
95
96     if (!HAL_GPIO_ReadPin(ROW_1_GPIO_Port, ROW_1_Pin))
97
98         return '1';
99
100
101
102     // Scan column 3 (column 3 pin is grounded, other column pins
103     HAL_GPIO_WritePin(GPIOF, COL_1_Pin,GPIO_PIN_SET);
104     HAL_GPIO_WritePin(GPIOF, COL_2_Pin,GPIO_PIN_SET);
105     HAL_GPIO_WritePin(GPIOF, COL_3_Pin,GPIO_PIN_RESET);
106     HAL_GPIO_WritePin(GPIOD, COL_4_Pin,GPIO_PIN_SET);
107     HAL_GPIO_WritePin(GPIOF, COL_5_Pin,GPIO_PIN_SET);
108     //HAL_GPIO_WritePin(COL_6_GPIO_Port, COL_6_Pin,GPIO_PIN_SET);
109     HAL_GPIO_WritePin(GPIOF, COL_6_Pin,GPIO_PIN_SET);
110     HAL_GPIO_WritePin(GPIOC, COL_7_Pin,GPIO_PIN_SET);
111     HAL_GPIO_WritePin(GPIOF, COL_8_Pin,GPIO_PIN_SET);
112     HAL_GPIO_WritePin(GPIOF, COL_9_Pin,GPIO_PIN_SET);
113     HAL_Delay(30);
114     //delay(50000);
115     // Read rows
116
117     if (!HAL_GPIO_ReadPin(ROW_1_GPIO_Port, ROW_1_Pin))
118
119         return '2';
120
121 //-----
122
123     // Scan column 4 (column 4 pin is grounded, other column pins
124     HAL_GPIO_WritePin(GPIOF, COL_1_Pin,GPIO_PIN_SET);
125     HAL_GPIO_WritePin(GPIOF, COL_2_Pin,GPIO_PIN_SET);
126     HAL_GPIO_WritePin(GPIOF, COL_3_Pin,GPIO_PIN_SET);
127     HAL_GPIO_WritePin(GPIOD, COL_4_Pin,GPIO_PIN_RESET);

```

```

main.c keypad.c
127     HAL_GPIO_WritePin(GPIOD, COL_4_Pin,GPIO_PIN_RESET);
128     HAL_GPIO_WritePin(GPIOF, COL_5_Pin,GPIO_PIN_SET);
129     //HAL_GPIO_WritePin(COL_6_GPIO_Port, COL_6_Pin,GPIO_PIN_SET);
130     HAL_GPIO_WritePin(GPIOF, COL_6_Pin,GPIO_PIN_SET);
131     HAL_GPIO_WritePin(GPIOC, COL_7_Pin,GPIO_PIN_SET);
132     HAL_GPIO_WritePin(GPIOF, COL_8_Pin,GPIO_PIN_SET);
133     HAL_GPIO_WritePin(GPIOF, COL_9_Pin,GPIO_PIN_SET);
134     HAL_Delay(30);
135     // delay(50000);
136     // Read rows
137
138     if (!HAL_GPIO_ReadPin(ROW_1_GPIO_Port, ROW_1_Pin))
139
140
141         return '7';
142
143
144
145     //-----
146
147     // Scan column 5 (column 5 pin is grounded, other column pins is open
148     HAL_GPIO_WritePin(GPIOF, COL_1_Pin,GPIO_PIN_SET);
149     HAL_GPIO_WritePin(GPIOF, COL_2_Pin,GPIO_PIN_SET);
150     HAL_GPIO_WritePin(GPIOF, COL_3_Pin,GPIO_PIN_SET);
151     HAL_GPIO_WritePin(GPIOD, COL_4_Pin,GPIO_PIN_SET);
152     HAL_GPIO_WritePin(GPIOF, COL_5_Pin,GPIO_PIN_RESET);
153     //HAL_GPIO_WritePin(COL_6_GPIO_Port, COL_6_Pin,GPIO_PIN_SET);
154     HAL_GPIO_WritePin(GPIOF, COL_6_Pin,GPIO_PIN_SET);
155     HAL_GPIO_WritePin(GPIOC, COL_7_Pin,GPIO_PIN_SET);
156     HAL_GPIO_WritePin(GPIOF, COL_8_Pin,GPIO_PIN_SET);
157     HAL_GPIO_WritePin(GPIOF, COL_9_Pin,GPIO_PIN_SET);
158     HAL_Delay(30);
159     // delay(50000);
160     // Read rows
161
162     if (!HAL_GPIO_ReadPin(ROW_1_GPIO_Port, ROW_1_Pin))
163
164
165         return '8';
166
167
168     //-----
169     // Scan column 6 (column 6 pin is grounded, other column pins is open

```

```

main.c keypad.c ✖
169 // Scan column 6 (column 6 pin is grounded, other column pi
170 HAL_GPIO_WritePin(GPIOF, COL_1_Pin,GPIO_PIN_SET);
171 HAL_GPIO_WritePin(GPIOF, COL_2_Pin,GPIO_PIN_SET);
172 HAL_GPIO_WritePin(GPIOF, COL_3_Pin,GPIO_PIN_SET);
173 HAL_GPIO_WritePin(GPIOD, COL_4_Pin,GPIO_PIN_SET);
174 HAL_GPIO_WritePin(GPIOF, COL_5_Pin,GPIO_PIN_SET);
175 //HAL_GPIO_WritePin(COL_6_GPIO_Port, COL_6_Pin,GPIO_PIN_RESE
176 HAL_GPIO_WritePin(GPIOF, COL_6_Pin,GPIO_PIN_RESET);
177 HAL_GPIO_WritePin(GPIOC, COL_7_Pin,GPIO_PIN_SET);
178 HAL_GPIO_WritePin(GPIOF, COL_8_Pin,GPIO_PIN_SET);
179 HAL_GPIO_WritePin(GPIOF, COL_9_Pin,GPIO_PIN_SET);
180 HAL_Delay(30);
181 // delay(50000);
182 // Read rows
183
184 if (!HAL_GPIO_ReadPin(ROW_1_GPIO_Port, ROW_1_Pin))
185
186     return 'B'; //
187
188
189 // Scan column 7 (column 7 pin is grounded, other column pi
190 HAL_GPIO_WritePin(GPIOF, COL_1_Pin,GPIO_PIN_SET);
191 HAL_GPIO_WritePin(GPIOF, COL_2_Pin,GPIO_PIN_SET);
192 HAL_GPIO_WritePin(GPIOF, COL_3_Pin,GPIO_PIN_SET);
193 HAL_GPIO_WritePin(GPIOD, COL_4_Pin,GPIO_PIN_SET);
194 HAL_GPIO_WritePin(GPIOF, COL_5_Pin,GPIO_PIN_SET);
195 //HAL_GPIO_WritePin(COL_6_GPIO_Port, COL_6_Pin,GPIO_PIN_
196 HAL_GPIO_WritePin(GPIOF, COL_6_Pin,GPIO_PIN_SET);
197 HAL_GPIO_WritePin(GPIOC, COL_7_Pin,GPIO_PIN_RESET);
198 HAL_GPIO_WritePin(GPIOF, COL_8_Pin,GPIO_PIN_SET);
199 HAL_GPIO_WritePin(GPIOF, COL_9_Pin,GPIO_PIN_SET);
200 HAL_Delay(30);
201 // delay(50000);
202 // Read rows
203
204 if (!HAL_GPIO_ReadPin(ROW_1_GPIO_Port, ROW_1_Pin))
205
206     return '0';
207
208 /*
209     {
210
211     if(leng1>=1) // condition activated button delete

```

```

main.c *keypad.c
211     if(leng1>=1)        // condition activated button delete
212     {
213
214         return '0';
215     }
216
217 }
218 */
219
220
221 // Scan column 8 (column 8 pin is grounded, other column pins is o
222     HAL_GPIO_WritePin(GPIOF, COL_1_Pin,GPIO_PIN_SET);
223     HAL_GPIO_WritePin(GPIOF, COL_2_Pin,GPIO_PIN_SET);
224     HAL_GPIO_WritePin(GPIOF, COL_3_Pin,GPIO_PIN_SET);
225     HAL_GPIO_WritePin(GPIOD, COL_4_Pin,GPIO_PIN_SET);
226     HAL_GPIO_WritePin(GPIOF, COL_5_Pin,GPIO_PIN_SET);
227     //HAL_GPIO_WritePin(COL_6_GPIO_Port, COL_6_Pin,GPIO_PIN_RE
228     HAL_GPIO_WritePin(GPIOF, COL_6_Pin,GPIO_PIN_SET);
229     HAL_GPIO_WritePin(GPIOC, COL_7_Pin,GPIO_PIN_SET);
230     HAL_GPIO_WritePin(GPIOF, COL_8_Pin,GPIO_PIN_RESET);
231     HAL_GPIO_WritePin(GPIOF, COL_9_Pin,GPIO_PIN_SET);
232     HAL_Delay(30);
233     // delay(50000);
234     // Read rows
235
236     if (!HAL_GPIO_ReadPin(ROW_1_GPIO_Port, ROW_1_Pin))
237
238 // Scan column 9 (column 9 pin is grounded, other column pins is o
239     HAL_GPIO_WritePin(GPIOF, COL_1_Pin,GPIO_PIN_SET);
240     HAL_GPIO_WritePin(GPIOF, COL_2_Pin,GPIO_PIN_SET);
241     HAL_GPIO_WritePin(GPIOF, COL_3_Pin,GPIO_PIN_SET);
242     HAL_GPIO_WritePin(GPIOD, COL_4_Pin,GPIO_PIN_SET);
243     HAL_GPIO_WritePin(GPIOF, COL_5_Pin,GPIO_PIN_SET);
244     //HAL_GPIO_WritePin(COL_6_GPIO_Port, COL_6_Pin,GPIO_PIN_RE
245     HAL_GPIO_WritePin(GPIOF, COL_6_Pin,GPIO_PIN_SET);
246     HAL_GPIO_WritePin(GPIOC, COL_7_Pin,GPIO_PIN_SET);
247     HAL_GPIO_WritePin(GPIOF, COL_8_Pin,GPIO_PIN_SET);
248     HAL_GPIO_WritePin(GPIOF, COL_9_Pin,GPIO_PIN_RESET);
249     HAL_Delay(30);
250     // delay(50000);
251     // Read rows
252
253     if (!HAL_GPIO_ReadPin(ROW_1_GPIO_Port, ROW_1_Pin))

```

```

main.c keypad.c
249 // Scan column 9 (column 9 pin is grounded, other column pins is
250     HAL_GPIO_WritePin(GPIOF, COL_1_Pin,GPIO_PIN_SET);
251     HAL_GPIO_WritePin(GPIOF, COL_2_Pin,GPIO_PIN_SET);
252     HAL_GPIO_WritePin(GPIOF, COL_3_Pin,GPIO_PIN_SET);
253     HAL_GPIO_WritePin(GPIOD, COL_4_Pin,GPIO_PIN_SET);
254     HAL_GPIO_WritePin(GPIOF, COL_5_Pin,GPIO_PIN_SET);
255     //HAL_GPIO_WritePin(COL_6_GPIO_Port, COL_6_Pin,GPIO_PIN_
256     HAL_GPIO_WritePin(GPIOF, COL_6_Pin,GPIO_PIN_SET);
257     HAL_GPIO_WritePin(GPIOC, COL_7_Pin,GPIO_PIN_SET);
258     HAL_GPIO_WritePin(GPIOF, COL_8_Pin,GPIO_PIN_SET);
259     HAL_GPIO_WritePin(GPIOF, COL_9_Pin,GPIO_PIN_RESET);
260     HAL_Delay(30);
261     // delay(50000);
262     // Read rows
263
264     if (!HAL_GPIO_ReadPin(ROW_1_GPIO_Port, ROW_1_Pin))
265     {
266         if(sensor>sens) // command for delete
267         {
268             __NOP();
269         }
270
271
272         if(menu==1) //with menu=1 it works normally, while
273         {
274             return 'A';
275         }
276         else if(menu==4)
277         {
278             __NOP();
279         }
280
281
282
283     }
284
285
286
287
288     return KEYPAD_NO_PRESSED;
289 }
290 /***** END OF FILE *****/
291 /*****

```

```

main.c PWM.c ✕
1  /**Includes -----
2
3  #include "PWM.h"
4
5  GPIO_InitTypeDef _GPIO_PWM;
6
7  extern TIM_HandleTypeDef htim8;
8  extern TIM_HandleTypeDef htim13;
9
10 /** Public functions -----
11
12 /**
13 *****
14 * @brief Initialize GPIO pins for keypad.
15 *
16 * @param None
17 * @retval None
18 *****
19 */
20 /**
21 *****
22 * @brief Get which key is pressed by scanning th
23 * @param None
24 * @retval Pressed key char value.
25 *****
26 */
27
28 extern int pwmM0;
29 extern int pwmM1;
30 extern int pwmM5;
31 extern int pwmM10;
32 extern int pwmM20;
33 extern int pwmM25;
34 extern int pwmM50;
35 extern int pwmM100; // Magnetic pwmM100 = 100%pwm
36
37 extern float leng1;
38 extern float spd4;
39 extern int flag00;
40 extern int flag101;
41 extern int flag102;
42
43 extern int pwmD0; // we don't know values in exter

```

```

main.c PWM.c
43 extern int pwmD0; // we don't know values in external varia
44 extern int pwmD1;
45 extern int pwmD5;
46 extern int pwmD10;
47 extern int pwmD20;
48 extern int pwmD25;
49 extern int pwmD50;
50 extern int pwmD100; // Driver Motor pwmD100 =100%pwm from T
51
52 extern int flag35;
53 extern int flag100;
54 extern int flag200;
55 extern int flag202;
56 extern int flag203;
57 extern int speed0;
58 extern int LOAD;
59 extern int PWM;
60 extern int PWM2;
61 extern int PWM3;
62 extern int pwm1; // for driver motor
63 extern int pwm2; // for driver magnetic
64 extern int pwm2stp;
65
66 extern float spd9;
67 extern float spd8;
68 extern float spd7;
69
70 void pwm(void)
71 {
72     {
73         if (PWM == 1) // condition for pwm magnetic =
74         {
75
76
77             if(pwmM100==0)
78             {
79                 for (pwm2 = 0; pwm2 <= 252; pwm2 +=3) // for pwm
80                 {
81                     __HAL_TIM_SET_COMPARE(&htim13, TIM_CHANNEL_1, pw
82                     HAL_Delay(1);
83                     // pwmM100 = 0;
84                     // LOAD=0;
85                     if(pwm2==252)

```

```
main.c PWM.c x
85     if(pwm2==252)
86     {
87     for (pwm2 = 230; pwm2 <= 0; pwm2 -=3)    // for pwm2 = 0-255
88     {
89         __HAL_TIM_SET_COMPARE(&htim13, TIM_CHANNEL_1, pwm2);
90         HAL_Delay(20);
91         // pwmM100 = 0;
92         // LOAD=0;
93     }
94 }
95     if(pwm2<=3)
96     // if(pwm2>=3)
97     {
98
99         flag100=1;
100    }
101 }
102 }
103 }
104
105
106 if (PWM2 == 1)    // condition for pwm MOTER = 100%
107 {
108
109
110     if(pwmD100==0)
111     {
112         //for (pwm2 = 0; pwm2 <= 252; pwm2 +=3)    // for pwm2 = 0-255
113         for (pwm1 = 0; pwm1 <= 160; pwm1 +=3)
114
115         {
116             __HAL_TIM_SET_COMPARE(&htim8, TIM_CHANNEL_1, pwm1);    // pwm:
117             HAL_Delay(20);
118             // pwmM100 = 0;
119             // LOAD=0;
120             if(pwm1>=160)    // <-----pwm1 !
121             {
122
123                 flag200=1;
124             }
125         }
126     }
127 }
```

```

main.c tm_stm32f4_hd44780.c
1 #include "main.h"
2 #include "tm_stm32f4_hd44780.h"
3 typedef struct {
4     uint8_t DisplayControl;
5     uint8_t DisplayFunction;
6     uint8_t DisplayMode;
7     uint8_t Rows;
8     uint8_t Cols;
9     uint8_t currentX;
10    uint8_t currentY;
11 } HD44780_Options_t;
12
13 /* Private functions */
14 static void TM_HD44780_InitPins(void);
15 static void TM_HD44780_Cmd(uint8_t cmd);
16 static void TM_HD44780_Cmd4bit(uint8_t cmd);
17 static void TM_HD44780_Data(uint8_t data);
18 static void TM_HD44780_CursorSet(uint8_t col, uint8_t row);
19
20 /* Private variable */
21 static HD44780_Options_t HD44780_Opts;
22
23 /* Pin definitions */
24 #define HD44780_RS_LOW HAL_GPIO_WritePin(HD44780_RS_PORT, HD44780_RS_PIN,GPIO_PIN_RESET)
25 #define HD44780_RS_HIGH HAL_GPIO_WritePin(HD44780_RS_PORT, HD44780_RS_PIN,GPIO_PIN_SET)
26 #define HD44780_E_LOW HAL_GPIO_WritePin(HD44780_E_PORT, HD44780_E_PIN,GPIO_PIN_RESET)
27 #define HD44780_E_HIGH HAL_GPIO_WritePin(HD44780_E_PORT, HD44780_E_PIN,GPIO_PIN_SET)
28
29 #define HD44780_E_BLINK HD44780_E_HIGH; delay(30000); HD44780_E_LOW; delay(30000)
30 // #define HD44780_E_BLINK HD44780_E_HIGH; HD44780_Delay(1); HD44780_E_LOW; HD44780_Delay(1)
31
32 #define HD44780_Delay(x) HAL_Delay(x)
33 #define delay(x) delay(x)
34 // #define HD44780_delay(x) HAL_delay(x)
35
36
37 /* Commands*/
38 #define HD44780_CLEARDISPLAY 0x01
39 #define HD44780_RETURNHOME 0x02
40 #define HD44780_ENTRYMODESET 0x04
41 #define HD44780_DISPLAYCONTROL 0x08
42 #define HD44780_CURSORSHIFT 0x10
43 #define HD44780_FUNCTIONSET 0x20

```

```

main.c tm_stm32f4_hd44780.c
43 #define HD44780_FUNCTIONSET      0x20
44 #define HD44780_SETGRAMADDR     0x40
45 #define HD44780_SETDRAMADDR     0x80
46
47 /* Flags for display entry mode */
48 #define HD44780_ENTRYRIGHT      0x00
49 #define HD44780_ENTRYLEFT      0x02
50 #define HD44780_ENTRYSHIFTINCREMENT 0x01
51 #define HD44780_ENTRYSHIFTDECREMENT 0x00
52
53 /* Flags for display on/off control */
54 #define HD44780_DISPLAYON      0x04
55 #define HD44780_CURSORON      0x02
56 #define HD44780_BLINKON       0x01
57
58 /* Flags for display/cursor shift */
59 #define HD44780_DISPLAYMOVE     0x08
60 #define HD44780_CURSORMOVE     0x00
61 #define HD44780_MOVERIGHT      0x04
62 #define HD44780_MOVELEFT      0x00
63
64 /* Flags for function set */
65 #define HD44780_8BITMODE       0x10
66 #define HD44780_4BITMODE       0x00
67 #define HD44780_2LINE          0x08
68 #define HD44780_1LINE          0x00
69 #define HD44780_5x10DOTS      0x04
70 #define HD44780_5x8DOTS       0x00
71
72 extern TIM_HandleTypeDef htim15;
73
74
75
76
77 void TM_HD44780_Init(uint8_t cols, uint8_t rows) {
78     /* Initialize delay */
79     //TM_DELAY_Init();
80
81     /* Init pinout */
82     TM_HD44780_InitPins();
83
84     /* At least 40ms */
85     //HD44780_Delay(40); // here 500

```

```

main.c tm_stm32f4_hd44780.c
43 #define HD44780_FUNCTIONSET      0x20
44 #define HD44780_SETGRAMADDR     0x40
45 #define HD44780_SETDRAMADDR     0x80
46
47 /* Flags for display entry mode */
48 #define HD44780_ENTRYRIGHT      0x00
49 #define HD44780_ENTRYLEFT      0x02
50 #define HD44780_ENTRYSHIFTINCREMENT 0x01
51 #define HD44780_ENTRYSHIFTDECREMENT 0x00
52
53 /* Flags for display on/off control */
54 #define HD44780_DISPLAYON      0x04
55 #define HD44780_CURSORON      0x02
56 #define HD44780_BLINKON       0x01
57
58 /* Flags for display/cursor shift */
59 #define HD44780_DISPLAYMOVE    0x08
60 #define HD44780_CURSORMOVE    0x00
61 #define HD44780_MOVERIGHT     0x04
62 #define HD44780_MOVELEFT      0x00
63
64 /* Flags for function set */
65 #define HD44780_8BITMODE       0x10
66 #define HD44780_4BITMODE      0x00
67 #define HD44780_2LINE         0x08
68 #define HD44780_1LINE         0x00
69 #define HD44780_5x10DOTS     0x04
70 #define HD44780_5x8DOTS      0x00
71
72 extern TIM_HandleTypeDef htim15;
73
74
75
76
77 void TM_HD44780_Init(uint8_t cols, uint8_t rows) {
78     /* Initialize delay */
79     //TM_DELAY_Init();
80
81     /* Init pinout */
82     TM_HD44780_InitPins();
83
84     /* At least 40ms */
85     //HD44780_Delay(40); // here

```

```

main.c tm_stm32f4_hd44780.c
85 //HD44780_Delay(40); // here 500
86 delay(30000);
87 /* Set LCD width and height */
88 HD44780_Opts.Rows = rows;
89 HD44780_Opts.Cols = cols;
90
91 /* Set cursor pointer to beginning for LCD */
92 HD44780_Opts.currentX = 0;
93 HD44780_Opts.currentY = 0;
94
95 HD44780_Opts.DisplayFunction = HD44780_4BITMODE | HD44780_5x8DOTS | HD44780_1LINE;
96 if (rows > 1) {
97     HD44780_Opts.DisplayFunction |= HD44780_2LINE;
98 }
99
100 /* Try to set 4bit mode */
101 TM_HD44780_Cmd4bit(0x03);
102 HD44780_Delay(45); // 45
103 //delay(30000);
104 /* Second try */
105 TM_HD44780_Cmd4bit(0x03);
106 HD44780_Delay(45); //45
107 //delay(30000);
108 /* Third goo! */
109 TM_HD44780_Cmd4bit(0x03);
110 HD44780_Delay(45); //45
111 //delay(30000);
112 /* Set 4-bit interface */
113 TM_HD44780_Cmd4bit(0x02);
114 HD44780_Delay(30); //30
115 //delay(30000);
116 /* Set # lines, font size, etc. */
117 TM_HD44780_Cmd(HD44780_FUNCTIONSET | HD44780_Opts.DisplayFunction);
118
119 /* Turn the display on with no cursor or blinking default */
120 HD44780_Opts.DisplayControl = HD44780_DISPLAYON;
121 TM_HD44780_DisplayOn();
122
123 /* Clear lcd */
124 TM_HD44780_Clear();
125
126 /*CLEAR LCD */
127 TM_HD44780_CLEAR();

```

```

127     TM_HD44780_CLEAR();
128
129     /* Default font directions */
130     HD44780_Opts.DisplayMode = HD44780_ENTRYLEFT | HD44780_ENTRYSHIFTDECREMENT;
131     TM_HD44780_Cmd(HD44780_ENTRYMODESET | HD44780_Opts.DisplayMode);
132
133     /* Delay */
134     HD44780_Delay(30); // here 30ms
135     //delay(30000);
136
137     //HD44780_delay(1000); // 8-2-23
138
139 }
140
141 void TM_HD44780_CLEAR(void){ // 8-2-23 CLEAR
142     TM_HD44780_Cmd(HD44780_CLEARDISPLAY);
143     delay(1000); // here delay(1000);
144 }
145 }
146
147
148
149 void TM_HD44780_Clear(void) { // 8-2-23
150     TM_HD44780_Cmd(HD44780_CLEARDISPLAY);
151     HD44780_Delay(300); // ----->>>>> here 300ms no 0.2
152     //delay(32000);
153 }
154
155 void TM_HD44780_Puts(uint8_t x, uint8_t y, char* str) {
156     TM_HD44780_CursorSet(x, y);
157     while (*str) {
158         if (HD44780_Opts.currentX >= HD44780_Opts.Cols) {
159             HD44780_Opts.currentX = 0;
160             HD44780_Opts.currentY++;
161             TM_HD44780_CursorSet(HD44780_Opts.currentX, HD44780_Opts.currentY);
162         }
163         if (*str == '\n') {
164             HD44780_Opts.currentY++;
165             TM_HD44780_CursorSet(HD44780_Opts.currentX, HD44780_Opts.currentY);
166         } else if (*str == '\r') {
167             TM_HD44780_CursorSet(0, HD44780_Opts.currentY);
168         } else {
169             TM_HD44780_Data(*str);

```

```

169         TM_HD44780_Data(*str);
170         HD44780_Opts.currentX++;
171     }
172     str++;
173 }
174 }
175
176 void delay(uint16_t delay)
177 {
178     __HAL_TIM_SET_COUNTER(&htim15,0);
179     while(__HAL_TIM_GET_COUNTER(&htim15) < delay);
180 }
181
182
183 void TM_HD44780_DisplayOn(void) {
184     HD44780_Opts.DisplayControl |= HD44780_DISPLAYON;
185     TM_HD44780_Cmd(HD44780_DISPLAYCONTROL | HD44780_Opts.DisplayControl);
186 }
187
188 void TM_HD44780_DisplayOff(void) {
189     HD44780_Opts.DisplayControl &= ~HD44780_DISPLAYON;
190     TM_HD44780_Cmd(HD44780_DISPLAYCONTROL | HD44780_Opts.DisplayControl);
191 }
192
193
194
195 void TM_HD44780_BlinkOn(void) {
196     HD44780_Opts.DisplayControl |= HD44780_BLINKON;
197     TM_HD44780_Cmd(HD44780_DISPLAYCONTROL | HD44780_Opts.DisplayControl);
198 }
199
200
201
202 void TM_HD44780_BlinkOff(void) {
203     HD44780_Opts.DisplayControl &= ~HD44780_BLINKON;
204     TM_HD44780_Cmd(HD44780_DISPLAYCONTROL | HD44780_Opts.DisplayControl);
205 }
206
207 void TM_HD44780_CursorOn(void) {
208     HD44780_Opts.DisplayControl |= HD44780_CURSORON;
209     TM_HD44780_Cmd(HD44780_DISPLAYCONTROL | HD44780_Opts.DisplayControl);
210 }
211

```

```

211
212 void TM_HD44780_CursorOff(void) {
213     HD44780_Opts.DisplayControl &= ~HD44780_CURSORON;
214     TM_HD44780_Cmd(HD44780_DISPLAYCONTROL | HD44780_Opts.DisplayControl);
215 }
216
217 void TM_HD44780_ScrollLeft(void) {
218     TM_HD44780_Cmd(HD44780_CURSORSHIFT | HD44780_DISPLAYMOVE | HD44780_MOVELEFT);
219 }
220
221 void TM_HD44780_ScrollRight(void) {
222     TM_HD44780_Cmd(HD44780_CURSORSHIFT | HD44780_DISPLAYMOVE | HD44780_MOVERIGHT);
223 }
224
225 void TM_HD44780_CreateChar(uint8_t location, uint8_t *data) {
226     uint8_t i;
227     /* We have 8 locations available for custom characters */
228     location &= 0x07;
229     TM_HD44780_Cmd(HD44780_SETCGRAMADDR | (location << 3));
230
231     for (i = 0; i < 8; i++) {
232         TM_HD44780_Data(data[i]);
233     }
234 }
235
236 void TM_HD44780_PutCustom(uint8_t x, uint8_t y, uint8_t location) {
237     TM_HD44780_CursorSet(x, y);
238     TM_HD44780_Data(location);
239 }
240
241 /* Private functions */
242 static void TM_HD44780_Cmd(uint8_t cmd) {
243     /* Command mode */
244     HD44780_RS_LOW;
245
246     /* High nibble */
247     TM_HD44780_Cmd4bit(cmd >> 4);
248     /* Low nibble */
249     TM_HD44780_Cmd4bit(cmd & 0x0F);
250 }
251
252 static void TM_HD44780_Data(uint8_t data) {
253     /* Data mode */

```

```

main.c tm_stm32f4_hd44780.c
253 /* Data mode */
254 HD44780_RS_HIGH;
255
256 /* High nibble */
257 TM_HD44780_Cmd4bit(data >> 4);
258 /* Low nibble */
259 TM_HD44780_Cmd4bit(data & 0x0F);
260 }
261
262 static void TM_HD44780_Cmd4bit(uint8_t cmd) {
263     /* Set output port */
264     HAL_GPIO_WritePin(HD44780_D7_PORT, HD44780_D7_PIN, (cmd & 0x08));
265     HAL_GPIO_WritePin(HD44780_D6_PORT, HD44780_D6_PIN, (cmd & 0x04));
266     HAL_GPIO_WritePin(HD44780_D5_PORT, HD44780_D5_PIN, (cmd & 0x02));
267     HAL_GPIO_WritePin(HD44780_D4_PORT, HD44780_D4_PIN, (cmd & 0x01));
268     HD44780_E_BLINK;
269 }
270
271 static void TM_HD44780_CursorSet(uint8_t col, uint8_t row) {
272     uint8_t row_offsets[] = {0x00, 0x40, 0x14, 0x54};
273
274     /* Go to beginning */
275     if (row >= HD44780_Opts.Rows) {
276         row = 0;
277     }
278
279     /* Set current column and row */
280     HD44780_Opts.currentX = col;
281     HD44780_Opts.currentY = row;
282
283     /* Set location address */
284     TM_HD44780_Cmd(HD44780_SETDRAMADDR | (col + row_offsets[row]));
285 }
286
287 static void TM_HD44780_InitPins(void) {
288     /* Init all pins
289     TM_GPIO_Init(HD44780_RS_PORT, HD44780_RS_PIN, TM_GPIO_Mode_OUT, TM_
290     TM_GPIO_Init(HD44780_E_PORT, HD44780_E_PIN, TM_GPIO_Mode_OUT, TM_GP
291     TM_GPIO_Init(HD44780_D4_PORT, HD44780_D4_PIN, TM_GPIO_Mode_OUT, TM_
292     TM_GPIO_Init(HD44780_D5_PORT, HD44780_D5_PIN, TM_GPIO_Mode_OUT, TM_
293     TM_GPIO_Init(HD44780_D6_PORT, HD44780_D6_PIN, TM_GPIO_Mode_OUT, TM_
294     TM_GPIO_Init(HD44780_D7_PORT, HD44780_D7_PIN, TM_GPIO_Mode_OUT, TM_
295

```

```

main.c tm_stm32f4_hd44780.c
262 static void TM_HD44780_Cmd4bit(uint8_t cmd) {
263     /* Set output port */
264     HAL_GPIO_WritePin(HD44780_D7_PORT, HD44780_D7_PIN, (cmd & 0x08));
265     HAL_GPIO_WritePin(HD44780_D6_PORT, HD44780_D6_PIN, (cmd & 0x04));
266     HAL_GPIO_WritePin(HD44780_D5_PORT, HD44780_D5_PIN, (cmd & 0x02));
267     HAL_GPIO_WritePin(HD44780_D4_PORT, HD44780_D4_PIN, (cmd & 0x01));
268     HD44780_E_BLINK;
269 }
270
271 static void TM_HD44780_CursorSet(uint8_t col, uint8_t row) {
272     uint8_t row_offsets[] = {0x00, 0x40, 0x14, 0x54};
273
274     /* Go to beginning */
275     if (row >= HD44780_Opts.Rows) {
276         row = 0;
277     }
278
279     /* Set current column and row */
280     HD44780_Opts.currentX = col;
281     HD44780_Opts.currentY = row;
282
283     /* Set location */
284     TM_HD44780_Cmd(HD44780_SETDDRAMADDR | (col + row_offsets[row]));
285 }
286
287 static void TM_HD44780_InitPins(void) {
288     /* Init all pins
289     TM_GPIO_Init(HD44780_RS_PORT, HD44780_RS_PIN, TM_GPIO_Mode_OUT, TM_G
290     TM_GPIO_Init(HD44780_E_PORT, HD44780_E_PIN, TM_GPIO_Mode_OUT, TM_GPI
291     TM_GPIO_Init(HD44780_D4_PORT, HD44780_D4_PIN, TM_GPIO_Mode_OUT, TM_G
292     TM_GPIO_Init(HD44780_D5_PORT, HD44780_D5_PIN, TM_GPIO_Mode_OUT, TM_G
293     TM_GPIO_Init(HD44780_D6_PORT, HD44780_D6_PIN, TM_GPIO_Mode_OUT, TM_G
294     TM_GPIO_Init(HD44780_D7_PORT, HD44780_D7_PIN, TM_GPIO_Mode_OUT, TM_G
295
296     /* Set pins low */
297     HAL_GPIO_WritePin(HD44780_RS_PORT, HD44780_RS_PIN, GPIO_PIN_RESET);
298     HAL_GPIO_WritePin(HD44780_E_PORT, HD44780_E_PIN, GPIO_PIN_RESET);
299     HAL_GPIO_WritePin(HD44780_D4_PORT, HD44780_D4_PIN, GPIO_PIN_RESET);
300     HAL_GPIO_WritePin(HD44780_D5_PORT, HD44780_D5_PIN, GPIO_PIN_RESET);
301     HAL_GPIO_WritePin(HD44780_D6_PORT, HD44780_D6_PIN, GPIO_PIN_RESET);
302     HAL_GPIO_WritePin(HD44780_D7_PORT, HD44780_D7_PIN, GPIO_PIN_RESET);
303 }
304

```

